



جمهورية العراق

وزارة التعليم العالي والبحث العلمي

جامعة كربلاء \_ كلية الزراعة

قسم المحاصيل الحقلية

تأثير التسميد الفوسفاتي والرش بالمغنيسيوم في صفات النمو والحاصل  
والمادة الفعالة والتعبير الجيني لنبات الداتورة

*Datura Stramonium L.*

رسالة مقدمة الى مجلس كلية الزراعة / جامعة كربلاء وهي جزء من متطلبات نيل شهادة  
الماجستير في العلوم الزراعية/ المحاصيل الحقلية

من قبل

شروق خليفة محمد التميمي

باشراف

م. د. علي ناظم فرهود

ربيع الاول 1444

تشرين الاول 2022

بِسْمِ اللَّهِ الرَّحْمَنِ الرَّحِيمِ

فَتَعَلَى اللَّهِ الْمَلِكُ الْحَقُّ وَلَا تَعْجَلْ بِالْقُرْآنِ مِنْ قَبْلِ  
أَنْ يُقْضَىٰ إِلَيْكَ وَحْيُهُ وَقُلْ رَبِّ زِدْنِي عِلْمًا ﴿١١٤﴾

صَدَقَ اللَّهُ الْعَظِيمُ

سورة طه \_ آية 114

## إقرار المشرف

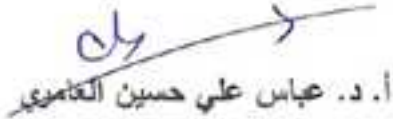
اشهد أن إعداد هذه الرسالة جرى تحت اشرافي في جامعة كربلاء - كلية الزراعة / قسم المحاصيل الحقلية وهي جزء من متطلبات نيل درجة الماجستير في العلوم الزراعية في المحاصيل الحقلية.



المشرف

م. د. علي ناظم فرهود

بناءً على التوصيات المتوافرة، أشرح هذه الرسالة للمناقشة.



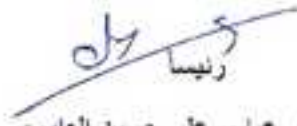
أ. د. عباس علي حسين التميمي

رئيس لجنة الدراسات العليا

قسم المحاصيل الحقلية

بِسْمِ اللَّهِ الرَّحْمَنِ الرَّحِيمِ

نشهد اننا اعضاء لجنة المناقشة اطلعنا على هذه الرسالة وناقشنا الطالبة في محتوياتها وفيما له علاقة بها ، وهي جديرة بالقبول لنيل درجة الماجستير للعلوم الزراعية في المحاصيل الحقلية.

  
رئيساً

ا.د. عباس علي حسين العامري

جامعة كربلاء - كلية الزراعة



عضواً

ا.م.د. سراب عبد الهادي محمد

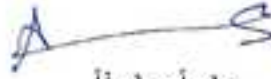
جامعة كربلاء - كلية الزراعة



عضواً

ا.د. منذر خماس جبر

جامعة القاسم الخضراء - كلية الزراعة



عضواً ومشرفاً

م.د. علي ناظم فرهود

جامعة كربلاء - كلية الزراعة

صدقت الرسالة من قبل مجلس كلية الزراعة - جامعة كربلاء.



ا.د. ثامر كريم خضير الجنابي

العميد وكلاءة

## الاهداء

لمن اضاء قناديل العلم والمعرفة في قلبي الى الرجل الطاهر الكريم ولرمز التضحية والعطاء  
والوفاء الى من امدوني بالنصح والتشجيع و اوصلوني لهذه المرحلة بفضل دعاءهم

### ابي وامي حفظهما الله لي

الى من سهر لراحتي وشجعني منذ بدء سفري لرحلة البحث عن المعرفة وكشف ما وراء  
ستارها فكان لي خير السند وخير معين بمتابعته المستمرة فكان له ابلغ الاثر في نفسي رفيق

### دربي زوجي (علاء)

الى من عشت معهم احلى الاوقات عنوان المحبة والاخلاص ورودي الفواحة

### اخواتي زينب بشرى فاطمة مريم تهاني

الى من اشد به عضدي

### اخي حسين

والى جميع العقول المتلهفة للمعرفة والبحث بقصد البناء والتغيير اهدي ثمرة جمدي بكل

حب

شروق

## شكر وتقدير

الحمد لله الذي خلق الإنسان وعلمه البيان وكرمه بالعقل وفضله وكرمه بقوله تعالى اقرأ ووهبه العلم والقلم وتلك اعظم النعم ، وأفضل الصلاة وأتم التسليم على محمد الامين المبعوث رحمة للعالمين وعلى آله وصحبه الطيبين الطاهرين .

وأنتقدم بالشكر الجزيل إلى عمادة كلية علوم الهندسة الزراعية ورئيس قسم المحاصيل الحقلية لإتاحتهم الفرصة لي لإكمال دراستي .

بعد توفيق الله وتيسيره يسرني وأنا انهي كتابة رسالتي ان أنتقدم بجزيل شكري الى مشرفي م د علي ناظم فرهود لإشرافه على هذا الجهد العلمي ومتابعته الميدانية وتوجيهاته القيمة الثمينة طيلة فترة الدراسة فجزاه الله عني خير الجزاء والثناء و حفظه الله و انار دربه و سهل له مقصده ويسر له امره ووفقه لكل خير .

كما أنتقدم بخالص شكري و تقديرني الى رئيس واعضاء لجنة المناقشة و اخص بالذكر الدكتور عباس العامري و الدكتور منذر خماس جبار و الدكتورة سراب عبد الهادي و مشرفي الدكتور علي ناظم فرهود . لتفضلهم بقبول مناقشة هذه الرسالة واعنائها بارانهم القيمة واخراجها بأجل وارق صورة ، و بالتاكيد سيبقى فضل اساتذتي علي كبير ولا يمكن ان أنساه ما حييت فمن علمهم نهلت وبتشجيعهم ودعمهم استطعت ان أخطو خطواتي في هذا الطريق .

ووافر الشكر والتقدير الى السيد رئيس قسم المحاصيل وجميع اساتذة ومنتسبي القسم على الدعم المتواصل .

ووافر شكري وامتناني الى من شجعني على شغف الاطلاع والمعرفة وكاتفوني ونحن نشق الطريق معا نحو النجاح في مسيرتنا العلمية الأخوة زملاني طلبة الدراسات العليا فكل واحد منهم كان اكثر من صديق بل كانوا اكثر من أخوة واخوات أنار الله طريقهم ويسر أمورهم و جزاهم عني خير الجزاء والشكر المتواصل لصديقات عمري الغاليات .

وكما أنتقدم بجزيل الشكر والتقدير الى كل من مد لي يد العون والمساعدة في انجاز هذه الأطروحة و اخص بالذكر د.حميد عبد خشان الفرطوسي و د.عقيل نزال و د.عدنان لطيف و د.عدي حامد وكل من كان له الفضل في تلقيني ولو حرفا واحدا في مسيرتي الدراسية كما لا يسعني الا ان اقدم شكري وامتناني لكل من مد لي يد العون وساعدني وأخص بالذكر عائلتي (جهاد و بتول و صفاء و حسين و مريم و زينب ) ، فأرجو ان تتقبلوا وافر عرفاني وشكري وان يتقبلوا عذري على التقصير نحوهم .

الى كل من اضاء وانار بعلمه عقل غيره و هدى بالجواب الصحيح حيرة سائله فأظهر بسماحته تواضع العلماء وبرحيته سماحة العارفين اقدم شكري وامتناني .

(كن عالما .فإن لم تستطع فكن متعلما ، فإن لم تستطع فأحب العلماء ، فإن لم تستطع ، فلا تبغضهم)

## المستخلص

نُفذت تجربة حقلية اثناء الموسم الزراعي 2021 في احدى حقول التجارب التابعة لاعدادية ابن البيطار المهنية الواقعة في محافظة كربلاء بهدف دراسة تأثير التسميد الفوسفاتي والرش بالمغنيسيوم النانوي في عدد من الجينات المسؤولة عن التحكم في تخليق المادة الفعالة (القلويدات) وصفات نمو وحاصل نبات الداتورة، نُفذت التجربة بثلاثة مكررات حسب تصميم القطاعات الكاملة المعشاة وبعاملين، تضمن العامل الاول اربعة مستويات للسماد الفوسفاتي هي: 0 و 25 و 50 و 75 كغم P هـ<sup>1</sup>، اما العامل الثاني تضمن رش المغنيسيوم النانوي بأربعة تراكيز هي: 0 (ماء مقطر فقط) و 60 و 120 و 180 ملغم لتر<sup>-1</sup>، اظهرت النتائج ما يلي:

1- ان اضافة السماد الفوسفاتي بالمستوى 75 كغم P هـ<sup>1</sup> سبب زيادة معنوية في ارتفاع النبات وعدد الافرع وعدد الاوراق والمساحة الورقية وتركيز كلوروفيل a و b و حاصل الاوراق لنبات الداتورة، متفوقة على بقية المعاملات.

2- ان اضافة السماد الفوسفاتي بالمستوى 50 و 75 كغم P هـ<sup>1</sup> سببت زيادة معنوية في عدد الثمار وعدد البذور وحاصل البذور الكلي لنبات الداتورة، متفوقة على بقية المعاملات .

3- سببت اضافة السماد الفوسفاتي انخفاضاً معنوياً في تركيز الاتروبين و الهبوسامين والسكوبولامين في البذور والاوراق لنبات الداتورة، اذ سببت المعاملة 75 كغم P هـ<sup>1</sup> اقصى انخفاض للاوراق و للبذور .

4- اعطت المعاملة 25 و 50 كغم P هـ<sup>1</sup> اعلى حاصل للقلويدات من اوراق الداتورة ، واعطت المعاملة 25 كغم P هـ<sup>1</sup> اعلى حاصل للقلويدات من البذور .

5- ان رش المغنيسيوم النانوي لم يكن له تأثيراً معنوياً في ارتفاع وعدد افرع الداتورة، بينما اعطى التركيز 180 ملغم لتر<sup>-1</sup> اعلى متوسط لعدد الاوراق والمساحة الورقية وتركيز كلوروفيل a و b و حاصل الاوراق وعدد البذور ووزن 1000 بذرة و حاصل البذور الكلي متفوقة على بقية المعاملات .

6- سبب رش المغنيسيوم النانوي انخفاضاً معنوياً في تركيز الاتروبين و الهبوسامين والسكوبولامين في البذور والاوراق، اذ سببت المعاملة 180 ملغم لتر<sup>-1</sup> اقصى انخفاض للاوراق و للبذور .

7- اعطى التركيز 0 و 120 ملغم Mg لتر<sup>-1</sup> اعلى تركيز للقلويدات من الاوراق، واعطى التركيز 120 ملغم Mg لتر<sup>-1</sup> اعلى تركيز للقلويدات من البذور .

8- سبب اضافة الفسفور الخفاضاً معنوياً في تعبير جينات PMT و TR1 و H6H، بينما اقتصر تأثير رش المغنسيوم النانوي على اختزال تعبير جين H6H، كما ان استجابة تعبير جين H6H سواء للفسفور او المغنيسيوم النانوي في جذور او اوراق الداتورة كان خلال مرحلة الازهار فقط، بينما لم يتأثر في مرحلة 7-8 ورقة.



## قائمة المحتويات

الصفحة	المحتويات	تسلسل
1	المقدمة	1
3	مراجعة المصادر	2
3	الداتورة	
3	الاهمية الطبية لنبات الداتورة	1-2
5	مسار التخليق الحيوي للقلويدات في العائلة الباذنجانية	2-2
7	تشخيص الجينات المسؤولة عن بناء الانزيمات	3-2
8	Polymerase Chain Reaction (PCR) تفاعل البلمرة المتسلسل	1-3-2
10	المكونات الأساسية لتفاعل PCR	1-1-3-2
10	انزيم DNA Polymerase	1-1-1-3-2
10	المحلول المنظم PCR buffer	2-1-1-3-2
11	البداي Primer	3-1-1-3-2
12	تقانة Real-time reverse transcription-PCR (RT qPCR)	2-3-2
13	تحليل بيانات التفاعل اللحظي الكمي-النسخ الرجعي (RT-qPCR)	1-2-3-2
14	تأثير الفسفور في النبات	4-2
15	تأثير الفسفور في بعض صفات النمو الخضري للنبات	1-4-2
16	تأثير الفسفور في صفات حاصل النبات	2-4-2
17	تأثير الفسفور في الصفات النوعية للنبات	3-4-2
18	تأثير التسميد بالمغنيسيوم في النبات	5-2
18	تأثير التسميد بالمغنيسيوم في بعض صفات النمو الخضري للنبات	1-5-2
19	تأثير المغنيسيوم في صفات حاصل النبات	2-5-2
19	تأثير المغنيسيوم في الصفات النوعية للنبات	3-5-2
20	اهمية الاسمدة النانوية	6-2
22	مواد وطرائق العمل	3
22	موقع التجربة وخصائص التربة	1-3
23	تحضير البذور	2-3
23	تحضير الأرض والتصميم التجريبي والمعاملات	3-3
23	ممارسات خدمة المحصول	4-3
24	الاجهزة والمواد الكيميائية المستعملة	5-3
24	الاجهزة	1-5-3
25	المواد والمحاليل الكيميائية	2-5-3
26	النبوداي	3-5-3
27	الصفات المدروسة	6-3
27	تشخيص جينات PMT و TR1 و H6H المسؤولة عن تخليق المادة الفعالة في جذور واوراق الداتورة	1-6-3

27	استخلاص الحمض النووي الريبوزي منقوص الاوكسجين (DNA) من النبات	1-1-6-3
28	خطوات استخلاص الـ DNA	2-1-5-3
29	قياس نقاوة وتركيز الحامض النووي DNA	2-1-6-3
29	استعمال تقنية تفاعل البلمرة المتسلسل ( PCR ) لتضخيم جينات PMT و H6H و TR1	3-1-6-3
32	الترحيل الكهربائي لنتائج PCR باستعمال هلام الاكاروز	4-1-6-3
34	التعبير الجيني لجينات PMT و TR1 و H6H	2-6-3
34	استخلاص الحامض النووي RNA	1-2-6-3
35	خطوات استخلاص الـ RNA	1-1-2-6-3
37	قياس نقاوة الحامض النووي RNA	2-2-6-3
37	تقنية التفاعل التكراري اللحظي لتحديد قيمة التعبير الجيني	3-2-6-3
38	صفات النمو	3-6-3
38	ارتفاع النبات (سم)	1-3-6-3
38	عدد الافرع نبات <sup>1</sup>	2-3-6-3
38	عدد الاوراق نبات <sup>1</sup>	3-3-6-3
39	المساحة الورقية ( سم <sup>2</sup> )	4-3-6-3
39	محتوى كلوروفيل a و b في الاوراق (ملغم غم <sup>1</sup> )	4-6-3
39	تقدير نسبة بعض العناصر في اوراق الداتورة	5-6-3
39	نسبة النتروجين (%) في الاوراق	1-5-6-3
40	نسبة الفسفور (%) في الاوراق	2-5-6-3
40	نسبة البوتاسيوم (%) في الاوراق	3-5-6-3
40	نسبة المغنيسيوم (%) في الاوراق	4-5-6-3
40	تقدير النسبة المئوية للقلويدات في الاوراق والبيذور	6-6-3
40	تشخيص المركبات الفعالة (القلويدات) باستعمال تقانة كروماتوغرافي السائل ذات الاداء العالي High-performance Liquid Chromatography HPLC	7-6-3
43	صفات الحاصل ومكوناته	7-3
43	حاصل الاوراق كغم هـ <sup>1</sup>	1-7-3
43	عدد الثمار نبات <sup>1</sup>	2-7-3
43	عدد البيذور ثمرة <sup>1</sup>	3-7-3
44	وزن 1000 بذرة غم	4-7-3
44	حاصل النبات غم	5-7-3
44	الحاصل الكلي للبيذور كغم <sup>1</sup>	6-7-3
44	حاصل القلويدات من الاوراق (كغم هـ <sup>1</sup> )	7-7-3
44	حاصل القلويدات من البيذور (كغم هـ <sup>1</sup> )	8-7-3
44	التحليل الإحصائي	8-3

45	النتائج و المناقشة	4
45	تشخيص الجينات PMT TR1 DaH6H المسؤولة عن بناء الانزيمات المحفزة على تراكم المواد الفعالة (القلويدات).	1-4
46	تأثير الفسفور والرش بالمغنيسيوم النانوي وتداخلهما في التعبير النسبي لجينات PMT و TR1 و H6H في جذور واوراق الداتورة عند مرحلتى 7-8 ورقة و الازهار	2-4
46	تأثير الفسفور والرش بالمغنيسيوم النانوي وتداخلهما في التعبير النسبي لجينات PMT و TR1 و H6H في جذور الداتورة عند مرحلتى 7-8 ورقة و الازهار.	1-2-4
55	تأثير الفسفور والرش بالمغنيسيوم النانوي وتداخلهما في التعبير النسبي لجينات PMT و TR1 و H6H في اوراق الداتورة عند مرحلة 7-8 ورقة و الازهار.	2-2-4
62	تأثير الفسفور والرش بالمغنيسيوم النانوي وتداخلهما في بعض صفات النمو الخضري للداتورة	3-4
62	ارتفاع النبات (سم)	1-3-4
63	عدد الافرع (فرع نبات <sup>1</sup> )	2-3-4
64	عدد الاوراق (ورقة نبات <sup>1</sup> )	3-3-4
66	المساحة الورقية (سم <sup>2</sup> )	4-3-4
67	تأثير الفسفور والرش بالمغنيسيوم النانوي وتداخلهما في تركيز كلوروفيل a و b في اوراق الداتورة.	4-4
67	تركيز كلوروفيل a في الاوراق (ملغم غم <sup>1</sup> )	1-4-4
69	تركيز كلوروفيل b في الاوراق (ملغم غم <sup>1</sup> )	2-4-4
70	تأثير الفسفور والرش بالمغنيسيوم النانوي وتداخلهما في تركيز بعض العناصر الكيميائية في اوراق الداتورة.	5-4
70	نسبة النتروجين في الاوراق (%)	1-5-4
71	نسبة الفسفور في الاوراق (%)	2-5-4
73	نسبة البوتاسيوم في الاوراق (%)	3-5-4
74	نسبة المغنيسيوم في الاوراق (%)	4-5-4
75	حاصل الاوراق (كغم هـ <sup>1</sup> )	6-4
77	تأثير معاملات اضافة الفسفور والرش بالمغنيسيوم النانوي وتداخلهما في بعض صفات النمو الثمري للداتورة.	7-4
77	عدد الثمار (ثمرة نبات <sup>1</sup> )	1-7-4
78	عدد البذور (بذرة نبات <sup>1</sup> )	2-7-4
79	وزن 1000 بذرة (غم)	3-7-4
80	حاصل البذور الكلي (كغم هـ <sup>1</sup> )	4-7-4
82	تأثير معاملات اضافة الفسفور والرش بالمغنيسيوم النانوي وتداخلهما في بعض الصفات النوعية للداتورة.	8-4

82	تركيز الاتروبين في الاوراق (ملغم. 100 غم <sup>-1</sup> )	1-8-4
83	تركيز الهيوسامين في الاوراق (ملغم. 100 غم <sup>-1</sup> )	2-8-4
84	تركيز السكوبولامين في الاوراق (ملغم. 100 غم <sup>-1</sup> )	3-8-4
86	تركيز الاتروبين في البذور (ملغم. 100 غم <sup>-1</sup> )	4-8-4
87	تركيز الهيوسامين في البذور (ملغم. 100 غم <sup>-1</sup> )	5-8-4
89	تركيز السكوبولامين في البذور (ملغم. 100 غم <sup>-1</sup> )	6-8-4
90	نسبة القلويدات في الاوراق (%).	9-4
92	نسبة القلويدات في البذور (%).	10-4
93	حاصل القلويدات في الاوراق (كغم ه <sup>-1</sup> )	11-4
94	حاصل القلويدات في البذور (كغم ه <sup>-1</sup> )	12-4
95	الاستنتاجات والمقترحات	5
95	الاستنتاجات	1-5
96	الاقتراحات	2-5
97	المصادر	6
97	المصادر العربية	1-6
98	المصادر الاجنبية	1-6
112	الملاحق	7

### قائمة الجداول

الصفحة	عنوان الجدول	رقم الجدول
22	بعض الخصائص الفيزيائية والكيميائية لتربة الحقل وللعمق 0-30 سم	1
24	الاجهزة المستعملة في البحث	2
25	المحاليل والمواد الكيميائية المستعملة في البحث	3
26	البوادئ المتخصصة بتشخيص جينات PMT و TRI و H6H المستعملة في تفاعل البلمرة المتسلسل PCR	4
26	البوادئ المتخصصة لجينات PMT و TRI و H6H والجين المرجعي ACTIN المستعملة في تفاعل البلمرة المتسلسل اللحظي الكمي qPCR	5
29	عدة استخلاص الحامض النووي الريبوزي منقوص الاوكسجين (DNA MiniPrep (ZR Plant	6
31	مكونات عدة تفاعل البلمرة المتسلسل (Maxime™ PCR PreMix (i-Taq (Kat.No 25025	7

32	تراكيز مكونات خليط تفاعل البلمرة المتسلسل PCR	8
31	برنامج ظروف تفاعل البلمرة المتسلسل PCR لتضخيم جين PMT	9
31	برنامج ظروف تفاعل البلمرة المتسلسل PCR لتضخيم جين TR1	10
32	برنامج ظروف تفاعل البلمرة المتسلسل PCR لتضخيم جين H6H	11
35	مكونات عدة استخلاص الحامض النووي الريبوزي RNA المجهزة من شركة Zymo	12
37	مكونات عدة لتحضير التفاعل التكراري اللحظي ( GoTaq® RT-qPCR Master Mix)	13
38	مكونات التفاعل التكراري اللحظي (RT-qPCR)	14
38	برنامج ظروف تفاعل (RT-qPCR) لجين PMT و TR1 و H6H	15
42	زمن الاحتجاز للنماذج القياسية من المركبات المشخصة باستعمال طريقة الفصل الكروماتوگرافي HPLC	16
48	تأثير معاملات اضافة الفسفور والرش بالمغنيسيوم الناتوي في عتبة الدورة (CT) والتعبير النسبي لجين PMT في جذور الداتورة عند مرحلة 7-8 ورقة.	17
49	تأثير معاملات اضافة الفسفور والرش بالمغنيسيوم الناتوي في عتبة الدورة (CT) والتعبير النسبي لجين TR1 في جذور الداتورة عند مرحلة 7-8 ورقة.	18
50	تأثير معاملات اضافة الفسفور والرش بالمغنيسيوم الناتوي في عتبة الدورة (CT) والتعبير النسبي لجين H6H في جذور الداتورة عند مرحلة 7-8 ورقة.	19
52	تأثير معاملات اضافة الفسفور والرش بالمغنيسيوم الناتوي في عتبة الدورة (CT) والتعبير النسبي لجين PMT في جذور الداتورة عند مرحلة الازهار.	20
53	تأثير معاملات اضافة الفسفور والرش بالمغنيسيوم الناتوي في عتبة الدورة (CT) والتعبير النسبي لجين TR1 في جذور الداتورة عند مرحلة الازهار.	21
54	تأثير معاملات اضافة الفسفور والرش بالمغنيسيوم الناتوي في عتبة الدورة (CT) والتعبير النسبي لجين H6H في جذور الداتورة عند مرحلة الازهار.	22
55	تأثير معاملات اضافة الفسفور والرش بالمغنيسيوم الناتوي في عتبة الدورة (CT) والتعبير النسبي لجين PMT في اوراق الداتورة عند مرحلة 7-8 ورقة.	23

56	تأثير معاملات اضافة الفسفور والرش بالمغنيسيوم النانوي في عتبة الدورة (CT) والتعبير النسبي لجين TRI في اوراق الداتورة عند مرحلة 7-8 ورقة.	24
57	تأثير معاملات اضافة الفسفور والرش بالمغنيسيوم النانوي في عتبة الدورة (CT) والتعبير النسبي لجين H6H في اوراق الداتورة عند مرحلة 7-8 ورقة.	25
58	تأثير معاملات اضافة الفسفور والرش بالمغنيسيوم النانوي في عتبة الدورة (CT) والتعبير النسبي لجين PMT في اوراق الداتورة عند مرحلة الازهار.	26
59	تأثير معاملات اضافة الفسفور والرش بالمغنيسيوم النانوي في عتبة الدورة (CT) والتعبير النسبي لجين TRI في اوراق الداتورة عند مرحلة الازهار.	27
61	تأثير معاملات اضافة الفسفور والرش بالمغنيسيوم النانوي في عتبة الدورة (CT) والتعبير النسبي لجين H6H في اوراق الداتورة عند مرحلة الازهار.	28
63	تأثير معاملات اضافة الفسفور والرش بالمغنيسيوم النانوي وتداخلهما في ارتفاع نبات الداتورة (سم)	29
64	تأثير معاملات اضافة الفسفور والرش بالمغنيسيوم النانوي وتداخلهما في عدد الفرع الداتورة (فرع نبات <sup>1</sup> )	30
65	تأثير معاملات اضافة الفسفور والرش بالمغنيسيوم النانوي وتداخلهما في عدد اوراق الداتورة (ورقة نبات <sup>1</sup> )	31
67	تأثير معاملات اضافة الفسفور والرش بالمغنيسيوم النانوي وتداخلهما في المساحة الورقية الداتورة (سم <sup>2</sup> )	32
68	تأثير معاملات اضافة الفسفور والرش بالمغنيسيوم النانوي وتداخلهما في تركيز كلوروفيل a في اوراق الداتورة (ملغم غم <sup>1</sup> )	33
69	تأثير معاملات اضافة الفسفور والرش بالمغنيسيوم النانوي في تركيز كلوروفيل b في اوراق الداتورة (ملغم غم <sup>1</sup> ).	34
71	تأثير معاملات اضافة الفسفور والرش بالمغنيسيوم النانوي وتداخلهما في نسبة النتروجين في اوراق الداتورة (%)	35
72	تأثير معاملات اضافة الفسفور والرش بالمغنيسيوم النانوي وتداخلهما في نسبة الفسفور في نبات الداتورة (%).	36
74	تأثير معاملات اضافة الفسفور والرش بالمغنيسيوم النانوي وتداخلهما في نسبة البوتاسيوم في اوراق الداتورة (%)	37

75	تأثير معاملات اضافة الفسفور والرش بالمغنيسيوم النانوي وتداخلهما في نسبة المغنيسيوم في اوراق الداتورة (%)	38
76	تأثير معاملات اضافة الفسفور والرش بالمغنيسيوم النانوي وتداخلهما في حاصل الاوراق في الداتورة (كغم ه <sup>-1</sup> ).	39
77	تأثير معاملات اضافة الفسفور والرش بالمغنيسيوم النانوي في عدد الثمار في نبات الداتورة (ثمرة نبات <sup>-1</sup> ).	40
79	تأثير معاملات اضافة الفسفور والرش بالمغنيسيوم النانوي وتداخلهما في عدد البذور لنبات الداتورة (بذرة نبات <sup>-1</sup> ).	41
80	تأثير مستويات الفسفور والرش بالمغنيسيوم النانوي وتداخلهما في وزن 1000 بذرة لنبات الداتورة (غم).	42
81	تأثير معاملات اضافة الفسفور والرش بالمغنيسيوم النانوي وتداخلهما في الحاصل الكلي لبذور الداتورة (كغم ه <sup>-1</sup> ).	43
83	تأثير معاملات اضافة الفسفور والرش بالمغنيسيوم النانوي في تركيز الاتروبين في اوراق نبات الداتورة (ملغم. 100 غم <sup>-1</sup> ).	44
84	تأثير معاملات اضافة الفسفور والرش بالمغنيسيوم النانوي وتداخلهما في تركيز الهيوسامين في اوراق الداتورة (ملغم. 100 غم <sup>-1</sup> )	45
86	تأثير معاملات اضافة الفسفور والرش بالمغنيسيوم النانوي وتداخلهما في تركيز السكوبولامين في اوراق الداتورة (ملغم. 100 غم <sup>-1</sup> )	46
87	تأثير معاملات اضافة الفسفور والرش بالمغنيسيوم النانوي وتداخلهما في تركيز الاتروبين في بذور نبات الداتورة (ملغم. 100 غم <sup>-1</sup> )	47
88	تأثير معاملات اضافة الفسفور والرش بالمغنيسيوم النانوي وتداخلهما في تركيز الهيوسامين في بذور نبات الداتورة ( ملغم. 100 غم <sup>-1</sup> )	48
90	تأثير معاملات اضافة الفسفور والرش بالمغنيسيوم النانوي وتداخلهما في تركيز السكوبولامين في بذور الداتورة (ملغم. 100 غم <sup>-1</sup> ).	49
91	تأثير معاملات اضافة الفسفور والرش بالمغنيسيوم النانوي وتداخلهما في نسبة القلويدات في اوراق نبات الداتورة (%).	50
93	تأثير معاملات اضافة الفسفور والرش بالمغنيسيوم النانوي وتداخلهما في نسبة القلويدات في بذور الداتورة (%)	51

94	تأثير معاملات اضافة الفسفور والرش بالمغنيسيوم النانوي وتداخلهما في الحاصل القلويدي في اوراق نبات الداتورة (كغم هـ <sup>-1</sup> )	52
95	تأثير معاملات اضافة الفسفور والرش بالمغنيسيوم النانوي في الحاصل القلويدي للبذور في نبات الداتورة (كغم هـ <sup>-1</sup> )	53

## قائمة الاشكال

الصفحة	عنوان الشكل	رقم الشكل
6	التخليق الحيوي للقلويدات في العائلة الباذنجانية	1
14	مراحل تفاعل RT-Qpcr	2
33	الدليل القياسي للحامض النووي DNA	3
42	منحنى المادة القياسية لمركب Atropine	4
42	منحنى المادة القياسية لمركب Hyosamine	5
43	منحنى المادة القياسية لمركب Scopolamine	6
46	ترحيل نواتج تفاعل PCR لليادى لثلاث من جينات الداتورة سترامونيوم ( PMT , TRI , H6H ) مع معاملة مقارنة (N.C) بدون اضافة DNA الى بقية المكونات المطلوبة لتفاعل البلمرة المتسلسل .بالاضافة الى احجام سلم الحامض النووي (DNA ladder) مثبتة على الجانب الايسر من الشكل.	7

## قائمة الملاحق

الصفحة	عنوان الملحق	رقم الملحق
111	تحليل التباين وفق متوسطات المربعات (M S) لتأثير التسميد الكيماوي الفوسفاتي والرش بالمغنيسيوم النانوي و التداخل بينهما للصفات المدروسة	1
112	تحليل التباين وفق متوسطات المربعات (M S) لتأثير التسميد الكيماوي الفوسفاتي والرش بالمغنيسيوم النانوي و التداخل بينهما للصفات المدروسة	2
113	تحليل التباين وفق متوسطات المربعات (M S) لتأثير التسميد الكيماوي الفوسفاتي والرش بالمغنيسيوم النانوي و التداخل بينهما للصفات المدروسة	3
115	الجينات الداخلة في الدراسة ورمزها الدولي ووظيفتها الفسلجية	4



## 1- المقدمة

الداتورة نبات طبي يتبع العائلة الباذنجانية، اذ يمتلك العديد من المميزات الصيدلانية نظرا لاحتوائه على عدد كبير من المركبات الكيميائية بما في ذلك القلويدات والفلافونويدات و الأحماض الأمينية والثانينات والصابونين والكربوهيدرات والتربينويدات وكلايكوسيدات والستيرويدات والفينولات وغيرها ، اذ تستعمل لعلاج بعض الحالات كاضطراب الجهاز الهضمي و الجهاز التنفسي (AL-Taweel وآخرون، 2019). عالميا تدخل قلويدات الاتروبين و الهبوسامين والسكوبولامين المستخلصة من اوراق وبذور الداتورة كمادة اولية بتحضير عدد كبير من الادوية ، اما في العراق، وفقا للشركة العامة لصناعة الأدوية والمستلزمات الطبية فان تحضير هذه الادوية يعتمد بشكل اساسي على استيراد المواد الاولية من الخارج، الا ان انتاج هذه المواد محليا يواجه عدة عقبات من ضمنها ندني وانخفاض انتاج الداتورة مقارنة بالانتاج العالمي على الرغم من توفر الظروف البيئية الملائمة لزراعتها وانتاجها. ان ندني الانتاجية مع ملائمة الظروف البيئية للزراعة يعود لعدم العناية الكافية بعمليات خدمة التربة والمحصول، ومن اهمها المغذيات. اذ يعد عنصر الفسفور الذي هو احد المغذيات الكبرى و الذي يحتاجه نبات الداتورة لدوره في عمليات ابيضية و فسيولوجية كثيرة فضلا عن انه يساعد في زيادة انقسام الخلايا و تحفيز نمو و تطور الجذور التي يرتبط بها انتاج هذه القلويدات اعلى مما في حالة نقص هذا العنصر (Nasir، 2009).

ان طريقة التغذية الورقية ذات كفاءة عالية بسرعة وصول المغذيات الى النسجة الورقية مع الاخذ بنظر الاعتبار اهمية التغذية من التربة عن طريق الجذور (Kaur و Kaur، 2021)، اذ انها يمكن ان تقلل التضاد بين العناصر التي يمكن ان تعيق امتصاصها من قبل النبات. تمتاز نباتات العائلة الباذنجانية بزيادة احتياجاتها لعنصر المغنيسيوم (Cristofano وآخرون، 2021)، اذ للمغنيسيوم دور رئيسي في تركيب الكلوروفيل والتي تعد اساسية في عملية التركيب الضوئي، اضافة الى عمله في بعض التفاعلات الكيميائية الحيوية كما انه ضروري لتنشيط العديد من الانزيمات النباتية أكثر من أي عنصر مغذٍ آخر (Kinay و Erdem، 2021).

بذل العاملين في مجال البايولوجيا الجزيئية و الكيمياء جهودا لتحديد عدد من الجينات المسؤولة عن تراكم المواد الفعالة في الداتورة، اذ ان عدد من الدراسات ربطت بين تراكم القلويدات وبين تعبير جينات معينة في الجذور او الاوراق، فقد سجلت عدة جينات على انها المسؤولة على زيادة تخليق قلويدات الاتروبين والهوسامين والسكوبولامين، فتعد جينات

Hyoscyamine 6b-hydroxylase و (PMT) putrescine N-methyl transferase و (H6H) Tropinone reductase (TR) على انها اكثر الجينات تحكما في تخليق القلويدات في الداتورة ( Velázquez-Márquez وآخرون، 2021). و حديثاً درس مقدار التعبير الجيني للعديد من الجينات عن طريق تقنية التفاعل التكراري اللحظي (quantitative polymerase chain reaction) qPCR والتي تعتبر اداة مهمة في علم الأحياء الجزيئي، اذ تعتمد على نفس مبدأ تفاعل البلمرة المتسلسل، ولكن يتم تقدير كمية الدنا المتضاعف خلال حدوث التفاعل مباشرة.

بناءً على ما تقدم تهدف الدراسة الى :

- 1- تحديد تأثير السماد الفوسفاتي والرش بالمغنيسيوم النانوي وتداخلهما في نمو و حاصل الداتورة.
- 2- تحديد افضل توليفة من السماد الفوسفاتي و المغنيسيوم النانوي للحصول على اعلى عائد من قلويدات الاتروبين والهيسامين والسكوبولامين .
- 3- دراسة التعبير النسبي لجينات PMT و TR1 و DaH6H المسؤولة عن التحكم بتخليق الانزيمات المحددة لتراكم القلويدات تحت مستويات مختلفة من الفسفور والرش بتركيز مختلفة من المغنيسيوم النانوي.

## 2- مراجعة المصادر

## الداتورة

نبات حولي ذا جذع عشبي ، متفرع ومكثف ذو شعر خفيف . يصل ارتفاعه إلى حوالي متر . سيقانه متفرعة مورقة ، قوية منتصبّة ذات لون أخضر مصفر ، وتتفرع بشكل متكرر بطريقة متشعبة . الأوراق كبيرة ، مشعرة ، مسننة بيضاوية بسيطة ، ذات عروق متقاربة من الأوراق ، طولها 15 – 20 سم ، بيضاوية وخضراء شاحبة ويكون السطح العلوي داكن وأخضر رمادي ، أملس بشكل عام ، السطح السفلي شاحب ، عند الجفاف يكون متجعّدا قليلاً ذو ازهار بيضاء أو أرجوانية على شكل قمع ، لها 5 أسدية ومبيض . يبلغ متوسط طول الزهرة حوالي 6-8 سم تقريباً . الكأس طويل وأنبوبي ومنتفخ إلى حد ما في الأسفل وخمسة زوايا حادة للغاية تعلوها خمسة أسنان حادة. الساق بيضاء مخضرة. البذور سوداء ذا شكل كلوي ومسطحة . الثمار كبيرة مثل الجوز وملينة بالأشواك تحتوي على 4-5 غرف مليئة بالبذور (soni وآخرون 2012) .

Kingdom: Plantae  
 Division: Magnoliophyta  
 Class: Magnoliopsida  
 Order: Solanales  
 Family: Solanaceae  
 Genus: Datura  
 Species: Datura stramonium

## 2-1- الأهمية الطبية لنبات الداتورة

تعد *Datura stramonium* أحد أهم النباتات الطبية التي تتبع العائلة البانجنانية، لها عدة أسماء في دول العالم، إذ أطلق عليها التفاح الشوكية وفتح الشيطان وزهرة القمر وأجراس الجحيم وبوق الشيطان وعشبة الشيطان. وفقاً لـ Luna و Bye (2011) فإن جنس *Datura* يضم ثلاثة عشر نوعاً من النباتات العشبية أو الشجيرية التي تنتشر في المناطق الاستوائية والمناطق المعتدلة والدافئة في العالم، حديثاً تم تسجيل 14 نوعاً من الداتورة (Powo، 2020)، أما في العراق فقد ينتشر ثلاثة أنواع منها هي: *Datura stramonium* L. و *Datura innoxia* L. إن الأهمية الطبية للداتورة تأتي مما تمتلكه من مواد فعالة تدخل في الصناعات الصيدلانية، إذ تحتوي على استرات عضوية تعمل كمضادات تسمى

القلويدات، والتي تستعمل لعلاج بعض الحالات كاضطراب الجهاز الهضمي و الجهاز التنفسي (AL-Taweel وآخرون، 2019). اشارت عدة دراسات للاهمية العلاجية لنبات الداتورة اذ يستعمل مستخلص اوراق الداتورة لتخفيف الصداع و الام الروماتيزم والنقرس ومرهم للحروق ولعلاج تساقط الشعر، وكذلك دخول بعض موادها الفعالة في علاج مرض باركنسون والصرع والاكئاب، سابقا كان يتم استنشاق دخان ورقة الداتورة المحترقة للتخفيف من الربو والتهاب الشعب الهوائية نتيجة لإرخاء العضلات الملساء ( Korkmaz وآخرون، 2019). تحتوي الداتورة على مواد فعالة كالكوبولامين الذي تم استعماله لتهدئة الاشخاص الذين يعانون من مرض الفصام، كذلك ان بذور الداتورة طاردة للديدان ومضادة للالتهابات ومسكنة للالام (Kumar وآخرون، 2012)، وتستعمل البذور مع زيوت النخيل خارجيا لعلاج لدغات الحشرات والسعات ( Al-snafi، 2017 )، تعد مستخلصات او ابخرة الداتورة سامة لدرجة معينة اذا ما استعملت بشكل تقليدي وبكميات كبيرة لانها مسكرة ومهلوسة وتسبب حالة من الهذيان والاضطراب وقد يسبب الموت، فالمدّة المستغرقة لظهور الاعراض السريرية للتسمم هي من 15- 30 دقيقة، فكتيرته سام وقليله فعال للمرض (الطائي ، 2017). ذكر المهداوي (2004) ان كل 100 ملغم من Atropine يمكن ان يوجد في 15-100غم من الاوراق أو 15-25 غم من البذور لنبات الداتورة تسبب حالات من التسمم ومن اعراضه الدوران وجفاف الفم واحمرار الجلد وانخفاض الضغط واخيرا غيبوبة، ووضح Alexander (2008) انه اذ ما تجاوزت الكمية المتناولة 1000 ملغم من الداتورة ، يكون قاتل نتيجة لاحتوائها على قلويدات الاثروبين والهيسامين والسكوبولامين، اما اذا استعملت بكميات قليلة وبشكل مناسب وبإشراف مختصين فيمكن استخدامها في المعالجة الطبيعية. تم استثمار موادها الفعالة في تركيب العديد من المستحضرات الصيدلانية التي تستعمل في معالجة أمراض الجهاز التنفسي والهضمي لعملها على زيادة سرعة التنفس وايضا تقليل الافرازات للغدد الملحقة بالجهاز الهضمي وايضا لتقلصات المعدة والامعاء، اذ تستعمل لعلاج قرحة المعدة اذ انها تقلل من الافرازات المعدية، وكذلك تدخل في علاجات النواسير والخراجات ومشاكل القلب مثل الخفقان وارتفاع ضغط الدم ومسكن لآلام الكلى والمجاري البولية، وتعد احد المكونات الاساسية في تصنيع مستحضر Buscopan وهو مهدئ لحالات المغص الكلوي (Soni وآخرون، 2012). تحوي الداتورة ايضا على قلويد الاثروبين، الذي يتوفر كقطرة لمعالجة التهابات العيون وتوسيع الحدقة لاجراء الفحوصات الطبية للذين يعانون من بعض أمراض العيون، ويدخل في تحضير عديد من الادوية منها المضادة للتشنج وفي ادوية السعال والاسهال وغيرها (الامين وسناريا ، 2011).

يتوفر الأتروبين بتركيز مختلفة في الداتورة *D. Stramonium* والذي صيغته الجزيئية  $C_{17}H_{23}NO$ ، كتلته الجزيئية 289.369 g/mol ، إذ يؤثر في الجهاز العصبي المركزي (System Nervous Central) ويثبط العضلات الملساء وكذلك إفرازات الغدد الذي يسببه بالاعصاب، إذ يعمل عقار الأتروبين كمهدئ في علاج مرض شلل الاعصاب ومرض باركنسون (الشلل الارتعاشي) ويعمل بشكل خاص على إفرازات الغدد التنفسية و المسالك البولية والقلب والعضلات القصبية والجهاز الهضمي المعوي (Preuss وآخرون، 2021).

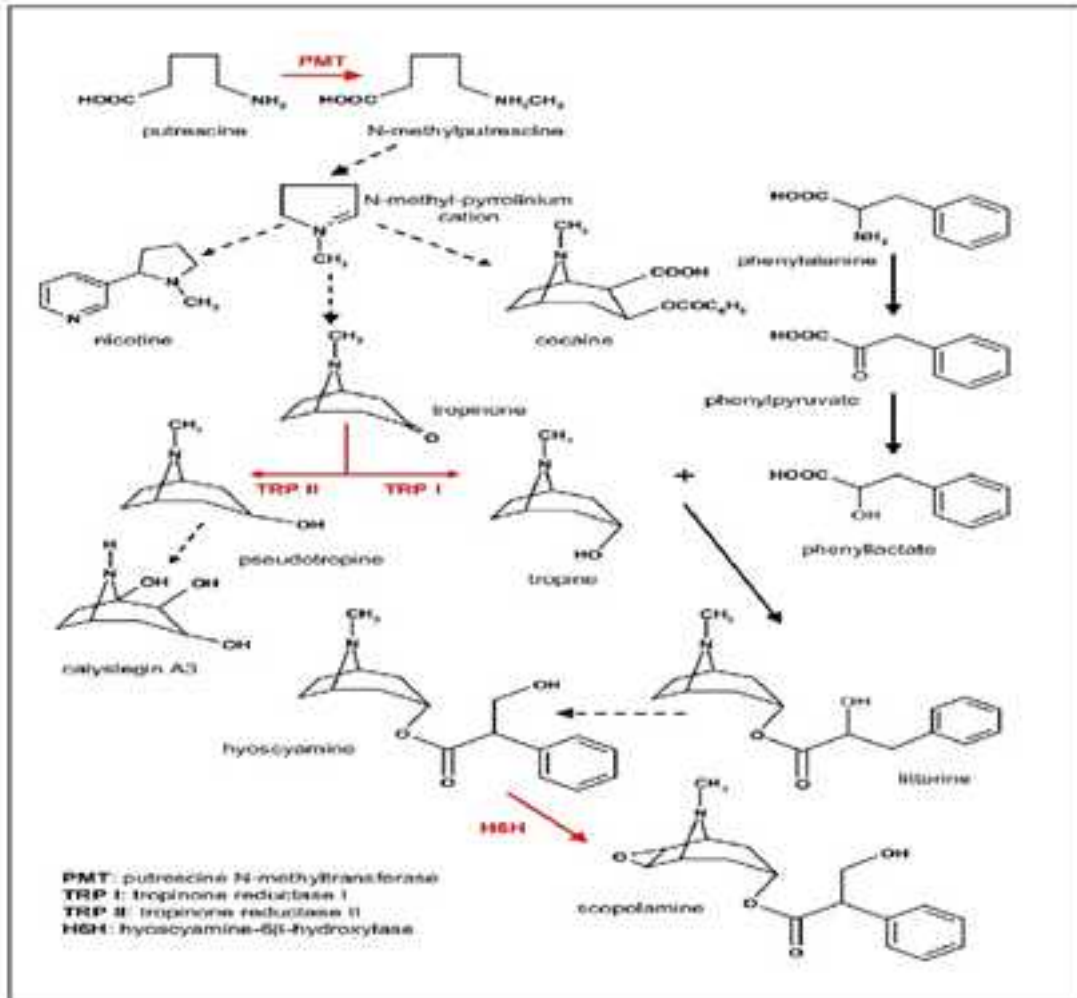
يعتبر الهيوسامين احد مكونات الايض الثانوي الموجودة في نبات الداتورة خاصة بالاوراق ويتصف بأنه استر من حامض الأتروبيك مع الأتروبين وهو كحول أميني ذو صيغة جزيئية  $C_{17}H_{23}NO_3$  يستعمل في اضطرابات الجهاز الهضمي والفرحة والبنكرياس والتشنجات كما إنه يستعمل لمشاكل القلب و للسيطرة على اعراض مرض باركنسون (Carpa وآخرون، 2017). ان الموقع الرئيسي للتخليق الحيوي للقلويد هي الجذور ويمكن ان تتراكم كميات كبيرة من هذه المركبات في الاوراق، في الغالب يكون Hyoscyamine هو القلويد الأكثر وفرة في النباتات، بينما يتم إنتاج السكوبولامين بكميات أكبر فقط في *Datura metel* و *Duboisia spp* (Navasi وآخرون، 2019).

يعد السكوبولامين قلويد سام يوجد في أنواع العائلة الباذنجانية مثل نباتات الداتورة والبلادونا وغيرها له صيغة جزيئية هي  $C_{17}H_{21}NO_4$ ، وهو مادة مهلوسة اذا تم أخذه بجرعات عالية وكبيرة نوعا ما لأنها من الممكن أن تؤدي إلى غيبوبة أو موت الجسم، له خصائص علاجية في الجهاز الهضمي والجهاز العصبي المركزي وضيق التنفس ويدخل السكوبولامين في فئة الادوية المخدرة ومضادات القي والجهاز الهضمي (Carpa وآخرون ، 2017).

## 2-2- مسار التخليق الحيوي للقلويدات في العائلة الباذنجانية

يبدأ مسار التخليق الحيوي لقلويدات الأتروبين (شكل 1) بحدوث نزع أو حذف للمجموعة الكربوكسيلية من خلال حذف ذرة كاربون من السلسلة الكربونية من الأورثئين ليتكون البوتريسكين (Putrescine) الذي يمتاز برائحة نفاذة، يعاني البوتريسكين من الميثلة ليتكون مركب N-methylputrescine وبعدها يتم نزع مجموعة الامين المؤكسد بوجود جزيئة الماء ليتكون مركب وسطي يسمى بيروليدين (Pyrrolidine) الذي ينتج الحلقة الاساسية لقلويدات الأتروبان وهو مركب ذو حلقتين تكونتا عند اندماج المكون الاساسي للـ Pyrrrolidine

وبعد سلسلة تفاعلات كيموحيوية لينتج مركب تروبينون (Tropinone) الذي يتحول إلى قلويد الاتروبين (Tropine) والآخر يتحول إلى قلويد الهيسامين، وهناك طريق آخر لتخليق الهيسامين اذ يبدأ من الحامض الاميني فنيل الانين (phenylalanine) الذي يتحول الى خلات الفنيل ثم إلى حامض Tropic وعند استرة حامض Tropic مع الاتروبين تعطي مركب الهيسامين بمساعدة الانزيم Arginine de- carboxylase (Qiu واخرون 2021).



شكل 1: التخليق الحيوي للقلويدات في العائلة الباذنجانية (Palazón واخرون، 2008)

## 3-2- تشخيص الجينات المسؤولة عن بناء الانزيمات

اشارت عدة دراسات لدور الجينات بالتحكم بتخليق وتراكم القلويدات في نباتات الداتورة، فقد سجلت عدة جينات على انها المسؤولة على زيادة تخليق قلويدات الاتروبين والهيسامين والسكوبولامين، فتعد جينات putrescine N-methyl transferase (PMT) و Tropinone reductase (TR) على انها اكثر الجينات تحكما في تخليق القلويدات في الداتورة ( Velázquez-Márquez وآخرون، 2021). بين Cinelli وآخرون (2021) عن وجود مسارين رئيسين للتخليق الحيوي للقلويدات المرتبط بالجينات، تتضمن الخطوة الاولى التحفيز عن طريق انزيم putrescine N-methyl transferase والمسؤول عن تخليقه جين PMT اذ يعمل هذا الانزيم على ميثلة Putrescine ومن ثم الى Tropinone ، لذا يعد هذا الجين بمثابة المفتاح بتخليق القلويدات، ومن ثم يبدأ دور انزيم Tropinone reductase والمسؤول عن تخليقه جين TR اذ يعمل هذا الانزيم على نزع ذرة هيدروجين من Tropinone وبالتالي تخليق Tropine. اوضح Sharma وآخرون (2021) عن دور انزيم Hyoscyamine 6b-hydroxylase (H6H) والمسؤول عن تخليقه جين H6H، اذ يعمل هذا الانزيم على تحويل Hyoscyamine الى Scopolamine. بين (a) Schlesinger وآخرون (2021) بعد دراستهم لـ 14 جين ( ODC, PMT, MPO, PYKS, CYP82M3, TRI, ArAT, PPAR, UGT1, LS, LM, HDH ) يعزى انهم مسؤولين عن التخليق الحيوي للقلويدات في الداتورة، لوحظ زيادة تعبير جين TRI في الاوراق مقارنة بانخفاض تعبير جين PMT و H6H، بينما ازداد تعبير جين H6H في الجذور متفوقا على TRI و PMT، وبصورة عامة لوحظ انخفاض تعبير جين PMT بصورة كبيرة في الجذور والاوراق مقارنة بباقي الجينات. ذكر Moradi وآخرون (2020) بعد دراسته لثلاثة انواع من الجينات PMT1 , PMT2 , H6H في نبات الداتورة السترامونيوم ان التعبير الجيني للجين H6H اعلى من PMT1 و PMT2، ولاحظ كذلك وجود تعبير جيني لـ H6H في النظام الخضري والجذري بينما اقتصر تعبير جين PMT2 في النظام الجذري مع عدم وجود تعبير للجين PMT1 في النظامين. اوضح (b) Li وآخرون (2020) بعد دراسته لجين H6H في نبات الداتورة انوكسيا، ان هذا الجين يزداد تعبيره في خلايا الجذر اكثر مما هي عليه في الاوراق، ولكن تراكمه في الجذور اقل بكثير مما هي عليه في الاوراق والبذور. اشار Kohnen وآخرون (2019) ان التعبير الجيني لـ PMT و TR في الجذور اعلى من تعبير جين H6H، بينما تفوق جين H6H في التعبير في الاوراق.

### 2-3-1- PCR (Polymerase Chain Reaction) تفاعل البلمرة المتسلسل

تحدث عملية التضاعف بداخل النظام الحيوي للخلية في وقت الانقسام فقط، إذ تقوم بمضاعفة كمية الحامض النووي في الخلية بصورة سريعة وتلقائية مع وجود نظام لتصحيح الأخطاء خلال عملية النسخ، إذ تبلغ سرعة عمليتي النسخ و المضاعفة في داخل الخلية الحية حوالي 1000 قاعدة نيتروجينية في الثانية الواحدة (Subbotin, 2020). بعد التطور الكبير الحاصل في مجالات التكنولوجيا الحيوية ومجال التقانات الاحيائية، بحث العلماء في تقانات أو طرق تقوم بمضاعفة كمية الحامض النووي بشكل كبير خارج الجسم الحي للخلية، فتوصل Mullis و Faloona (1987) الى اكتشاف تقانة PCR لتنشيط الخلية وزيادة قابليتها على التضاعف الجيني بعد اضافة عوامل نمو معينة (Growth factors)، هذه التقنية احدثت قفزة نوعية كبيرة بمجال التقانات الاحيائية، فيعرف تفاعل البلمرة المتسلسل على انه تقنية علمية في البيولوجيا الجزيئية تقوم بتضخيم نسخة واحدة أو عدة نسخ قطعة من الـ DNA عبر عدة تغييرات في حجمها خارج الجسم الحي ينتج عنها الالف إلى ملايين النسخ من الحامض النووي ذو تسلسل معين يستفاد منها في الفحوصات والتجارب المختلفة (Sreejith وآخرون، 2019). مبدأ عمل PCR الاساسي بسيط هو تفاعل سلسلة واحدة و يستخدم جزيء الحامض النووي لإنتاج نسختين واربعة ثم ثمانية من النسخ وهكذا، يتم تحقيق التضاعف المستمر للحامض النووي DNA عن طريق بعض الانزيمات المعينة تعرف باسم polymerases. يتم إنشاء نسخ الحمض النووي عن طريق اقتران النيوكليوتيدات بقواعد موجودة على كل خيط من جزيء الحمض النووي الأصلي. يحدث هذا الاقتران دائمًا في مجموعات محددة، وهذه النيوكليوتيدات بحاجة الى جزء من الحامض النووي المعروف باسم البادئ ، والتي توضع لبدأ البناء فضلًا عن جزيء الحامض النووي لمدة أطول بمثابة قالب لبناء شريط جديد . فوجود هذه المكونات الثلاثة ، سوف تبنى الانزيمات نسخ من القوالب بالضبط (Kadri, 2019).

توجد هناك عدة مراحل مهمة و اساسية لتقانة PCR تكون في كل دورة من دورات التضاعف متكررة و لمدة زمنية محددة وهي :-

المرحلة الاولى هي المسخ (Denaturation) أو فك الحلزنة وهي المرحلة الأساسية في تحضير DNA القالب ذو السلسلة المزدوجة (dsDNA) للعمليات اللاحقة وتتم بدرجة حرارة تقارب 95م° لمدة ثلاث دقائق لتساعد هذه الحرارة على فك ارتباط شريطي الـ DNA وفصلهما الى شريطين وذلك بتكسير الأواصر الهيدروجينية التي تربط بينهما والحصول على DNA



مفرد السلسلة ويعمل كقالب لبناء تلك القطعة المكمل لها (Dronina وآخرون، 2020). أما المرحلة الثانية هي مرحلة التلاحم البادئ (Primer Annealing) تتم هذه المرحلة بدرجة حرارة تتراوح بين 55-65 م° و لمدة دقيقة واحدة أو أقل وللعديد من الدورات، ويعتمد تحديد درجة الحرارة وطول المدة الزمنية على عدة عوامل منها طول البادئ وتركيزه ونسبة احتواءه على قواعد السايروسين والكوانين، بهذه المرحلة يتم ارتباط البادئ بتتابع معين من سلسلة الـ DNA المفردة و المقابلة لها من حيث ملائمة القواعد للبادئ ويتم الارتباط وذلك ببناء الاواصر الهيدروجينية بين نيوكليوتيدات البادئ و سلسلة الهدف (Green و Sambrook، 2021). ويمكن حساب درجة الحرارة اللازمة لمرحلة الالتحام بواسطة عمليات حسابية، لتلائم طول البادئ وذلك بمعرفة الدرجة الحرارية المحددة لتفكك 50% منه وهذه تسمى درجة حرارة الالتحام (Temperature Melting (Tm ، وفقاً للمعادلة التالية (Wu وآخرون ، 2019):

$$\text{حرارة الالتحام (Tm)} = \{(A+T) \text{ عدد قواعد} \times 2\} + \{\text{عدد قواعد (G+C)} \times 4\}$$

(Tm) Melting Temperature

(A) Adenine

(T) Thymine

(G) Guanine

(C) Cytosine

في هذه المرحلة يتم تبريد المزيج للدرجة الحرارية اللازمة الخاصة بالبادئات للسماح لها بالتعرف على التتابع النيوكليوتيدي على سلاسل DNA المفردة والالتحام بها بواسطة تكوين روابط هيدروجينية مع اطراف خيطي الـ DNA المراد تضخيمه (الخفاجي وابو المعالي ، 2013). والمرحلة الثالثة هي مرحلة الاستطالة (Extension)، إذ تتم بدرجة حرارة 72 م° و لمدة 1-4 دقيقة، وغالباً ما تختلف الفترة اللازمة باختلاف نوع المعلومات المستخدمة، فانزيم البلمرة (Taq DNA polymerase) له القدرة على بناء 35-100 نيوكليوتيدة في الثانية، ويعمل على بناء شريطين جديدين للحامض النووي DNA معتمداً على الشريط القالب و ذلك بارتباط النيوكليوتيدات الى سلسلة الهدف وتركيب السلسلة المكملة مبتدأً من الطرف 3 باتجاه الطرف الآخر 5. هذه الاشرطه تستخدم كقوالب أيضاً لبناء اشرطه جديدة وهكذا وذلك بالاعتماد على

عدد الدورات المعتمدة على تركيز الـ DNA المستهدف وطول البادئ والزمن ايضا(الكبيسي ، 2019).

### 2-1-1-3-2 المكونات الأساسية لتفاعل PCR

#### 2-1-1-3-2 إنزيم DNA Polymerase

بعد إنزيم بلمرة الـ DNA احد المكونات الأساسية في تفاعلات تقنية PCR، هذه التفاعلات تعتمد على قابلية هذا الإنزيم على البناء ومضاعفة تتابعات محددة من DNA القالب المتممة لتتابعات البادئ، لقد حظي إنزيم البلمرة باهتمام الكثير من الباحثين والمختصين وقد تم العمل على تطوير نوعيته وكفاءته (Ghannam وآخرون، 2018). سابقا كان يستعمل Klenow fragment كإنزيم بلمرة والذي استخلص من بكتريا القولون E.coli لكنه يفقد القدرة على البناء عند تعرضه الى الحرارة العالية اللازمة لنسخ خيوط DNA القالب والتي تصل لدرجة 90م° مما يسبب توقف عمله (Zhou وآخرون، 2019) ، مما جعل الباحثون يتجهون إلى البحث واستنباط انواع جديدة تحل محله، الى أن قامت مجموعة بقيادة Saiki في عام 1988 والعديد من العلماء باستنباط إنزيم بلمرة جديد يسمى Taq DNA polymerase ثابت حراريا ومعزول من بكتيريا محبة للحرارة تعرف باسم Thermos aquaticus والتي تعيش في الينابيع الحارة والبراكين، إذ ان لهذا الإنزيم القدرة على العمل بدرجة حرارية عالية تصل لـ 95م° ولعدة دورات دون تلف، بالإضافة لبناء قطع أطول من الإنزيم السابق، وله نشاط خاص في عملية البناء إذ يكون بين 35 – 100 نيوكليوتيدة في الثانية الواحدة لكل جزيئة إنزيم و يضيف القواعد عند النهاية الثالثة (  $OH-3$  ). جزيئة هذا الإنزيم تتألف من سلسلة مفردة من البيبتيدات المتعددة وزنها الجزيئي تقريبا 95 كيلو دالتون، الوحدة الإنزيمية الواحدة تعرف بانها كمية الإنزيم المستخدمة لبناء 10 نانوغرام من التركيز الكلي للنيوكليوتيدات المفسفرة في الخليط التفاعلي وتحويلها لحامض DNA القابل للتسريب خلال مدة 30 دقيقة وحرارة تقدر 75م° تحت ظروف التفاعل المستخدمة ، ولك Taq polymerase مميزات هامة منها فعاليته كإنزيم ذا نشاط خارجي exonuclease activity والقدرة على ربط القواعد النتروجينية المحورة و الموجودة ضمن محلول التفاعل (الكبيسي ، 2019).

### 2-1-1-3-2 المحلول المنظم PCR buffer

يعرف بانه المحلول الذي يحافظ على قيمة الرقم الهيدروجيني من التغيرات عند إضافة حامض أو قاعدة إليه أو عند تخفيفه، إذ يقوم محلول البفر بتنظيم عمل إنزيم البلمرة اضافة الى

المحافظة على نشاط الانزيم (زكريا، 2011). يحوي هذا المحلول على ايونات  $Mg^{2+}$  الذي يعمل كمرافق انزيمي لانزيم Taq polymerase كما يكون معقداً مع القواعد النيتروجينية ليسهل التعرف عليها من قبل الانزيم (Shin وآخرون، 2021). المحاليل المنظمة تختلف من حيث تراكيز المكونات ورقمها الهيدروجيني وتركيز الاملاح، اما القياسية فتحتوي على المكونات الرئيسة ككلوريد المغنيسيوم  $MgCl_2$  و كلوريدالبوتاسيوم KCl و Tris-HCl برقم هيدروجيني قدره 8.3 (Huang وآخرون، 2019). هذا المحلول يقوم بتوفير الايونات اللازمة اثناء التفاعل ومنها الاملاح فتتركز الاخير يؤثر على درجة حرارة التفكك للـ DNA وقابلية الالتحام لبوادي DNA القالب، وطول كل دورة وعدد الدورات الحرارية المستخدمة (Panda وآخرون، 2018).

### 3-1-1-3-2 البوادي Primer

البوادي وهي عبارة عن قطع صغيرة من شريط مفرد طوله محدد بالنيوكلوتيدات و طولها يتراوح ما بين 18\_30 bp (Elkins، 2022) إذ تكون ذا تتابع مكمل لقطعة الـ DNA للعمل عليها ومضاعفتها، يمثل نقطة بداية للشروع في عملية بناء الـ DNA ضمن عملية المضاعفة DNA replication باستخدام DNA polymerases لاضافة نيوكليوتيدات الى شريط DNA (Shakeel وآخرون، 2018)، عملية التضاعف تبدأ من النهاية 3' للبوادي إذ تحتوي على مجموعة OH اللازمة لبدأ عمل انزيم بلمرة DNA، يتم تصميم البوادي بتتابعات عشوائية وبامكانها الارتباط بقطعة DNA تكون مكملة لها او تصمم لجين محدد وهي ترتبط بمواقع متخصصة او شبه متخصصة لهذا الجين وحسب نوع التفاعل ومعرفة التتابع للقواعد (الكبيسي، 2019). إذ تصمم على أساس عدم تكامل التتابعات فيما بينها او مع تتابع بادئ ثان لتفادي حدوث ظواهر معينة مثل ازدواج البوادي primer-dimer، ويجب ان تكون البوادي ذات محتوى مناسب من القاعدتين (G+C) والتي عادة ما تتراوح من 50-60% لتمنح خصائص القوة والثبات لمناطق الارتباط (Hossain وآخرون، 2019). في حالة البادئات العشوائية Universal Primers يتكون البوادي من قطعة واحدة فهو يعمل على جميع انواع DNA، اما في حالة البادئات المتخصصة يكون عبارة عن قطعتين احدهما تسمى بادئ امامي (forward primer) والآخر يسمى بادئ عكسي (reverse primer) حيث يكون قطعة لكل من شريطي الـ DNA، للبادئات أهمية كبيرة في تحديد درجات الحرارة اللازمة لتثبيتها أثناء مرحلة الالتحام تبعاً لعدد القواعد النيتروجينية المحتوية عليها (Guo وآخرون، 2020). لاختيار البوادي المناسب يجب معرفة التتابع للقواعد النيتروجينية في المناطق المحيطة للمنطقة المراد

مضاعفتها، إضافة الى النهاية الثانية للجزء المطلوب مضاعفته تحتاج لبادئ اخر، اذ يتركز التضاعف في المنطقة من جزئي DNA الواقعة بين بادئين حيث ان PCR يضاعف قطعة من DNA يقع بين منطقتين يكون تتابع قواعدها النيروجينية معروف (Karunanathie وآخرون، 2022).

ومن متطلبات المهمة الاخرى في تفاعل الـ PCR هو الماء المقطر لمرج المكونات الاساسية للتفاعل مع بعضها وللوصول الى الحجم والتراكيز المحددة للتفاعل، وكذلك DNA القالب الذي يمثل DNA المستعمل بالدراسة والذي بالامكان الحصول عليه من مصادر عدة كالمكتبات الجينية او من خلايا وانسجة النباتات المختلفة، مع المحافظة على الطريقة المناسبة لاستخلاص لكل نوع للمحافظة على DNA من تأثير الاكسدة او التلوث. (الكبيسي، 2019)

### 2-3-2- تقانة (RT qPCR) Quantitative reverse transcription PCR

لتقدير مستويات التعبير الجيني تم استعمال العديد من التقنيات، ومن أهمهاهي تقنية quantitative reverse transcription PCR (RT qPCR) وتعد الافضل في تقدير التعبير الجيني لتضخيمها اعداد قد تصل الى الالف الجينات من عدد صغير من العينات وسرعتها وفعاليتها العالية وقلة التكلفة واجرائها بشكل فوري وتوفير قياس ناتج التفاعل في كل دورة مع حساب عدد نسخ mRNA لمعرفة معدل التعبير الجيني لعدة عينات، كذلك تحتاج من الحامض النووي RNA الى كمية قليلة وتتفاعل مع أنزيم الاستنساخ الرجعي وذلك لتحويله إلى cDNA وبعدها يتم تضخيمه (Lin وآخرون، 2019). ان تقنية تفاعل البلمرة المتسلسل اللحظي تعتمد على استعمال PCR لمعرفة تشخيص وتضخيم وتحديد الكميات لقطعة الهدف لتتابع معين في العينة بالوقت نفسه، اذ ان تحديد الكمية يقسم الى نوعين، الاول يطلق عليه بالكمية المطلقة (Absolute Quantification) وتعتمد على معرفة عدد النسخ، والثاني يسمى بالكمية النسبية (Relative Quantification).

يتم التشخيص لنواتج qPCR بطريقتين كالآتي:

الطريقة الاولى: وهي الطريقة التي يستعمل بها صبغات متفلورة (Fluorescent dyes) تكون غير متخصصة التسلسل اذ تخترق الأزواج القاعدية اي تعني انها تدخل في الاشرطة المزدوجة للـ DNA مثل الصبغة الخضراء (SYBR Green dye)، وهي من اكثر الصبغات استعمالا نظرا لقلّة التكلفة وسهولة الاستخدام وترتبط بجميع نواتج تفاعل الـ PCR مما

بسبب تألقها فور ارتباطها فتتداخل في الناتج متأثرة بتحليل البيانات وكذلك التشخيص الدقيق لتسلسل قطعة الهدف (Luo وآخرون، 2018).

الطريقة الثانية: هي طريقة استعمال المجس ( Probe Primer ) يكون متخصص لتسلسل و يحتوي على نيوكليوتيدات (oligonucleotides)، وعند ارتباط cDNA الهدف مع المجس فإنه سيتألق مثل صبغة Taq man dye (Muzhinji وآخرون، 2020)، وهي الصبغة التي تتخصص لتسلسل معين و من خلال المجس تبعث إشارة تألق (Dhanasekaran وآخرون، 2010).

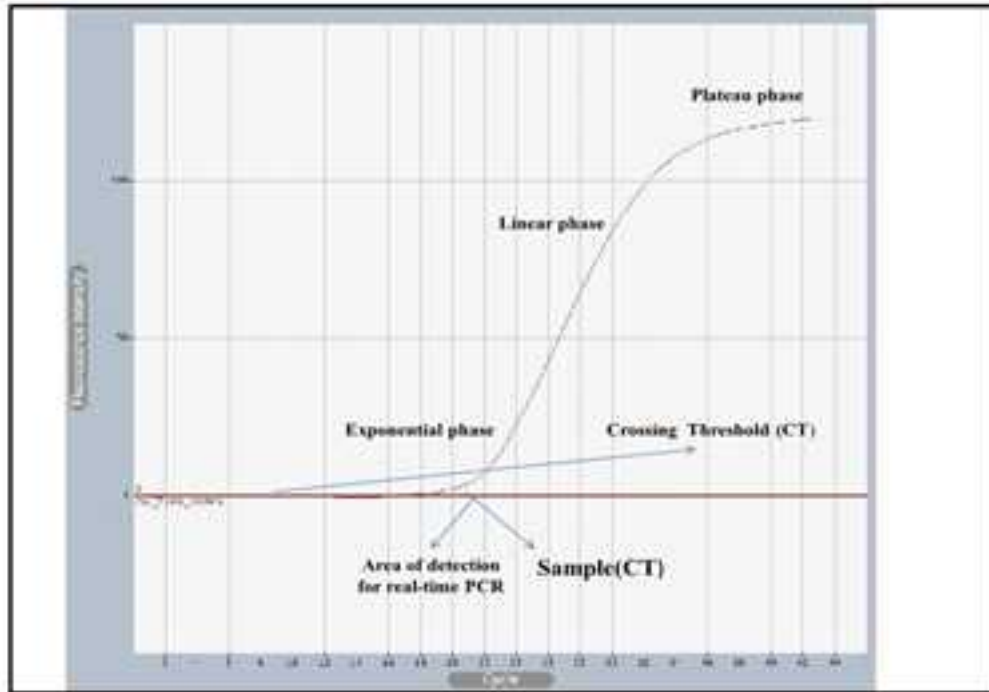
### 2-3-2-1- تحليل بيانات التفاعل اللحظي الكمي-النسخ الرجعي (RT-qPCR)

يتم تحليل بيانات نواتج RT-qPCR بعدة طرق، منها تحليل الكميات المطلقة (Absolute Quantification, AQ) وهو من أهم التحاليل الذي يستخدم للتعرف على وجود تسلسل DNA الهدف، أو تحلل البيانات بطريقة الكميات النسبية (Relative Quantification, RQ) التي تستعمل للدلالة على وجود تسلسل DNA الهدف وكذلك إجراء مقارنة العينات فيما بينها من دون معرفة العدد أو التركيز الحقيقي لـ DNA الهدف.

تعد طريقة  $2^{-\Delta\Delta CT}$  وتسمى أيضا Relative expression الأكثر استعمالاً لتحديد الكميات النسبية (Livak و Schmittgen، 2001)، فهي تحتوي على جينات عند مستويات ثابتة يتم التعبير عنها بالعينات فمثلاً جينات السيطرة الداخلية تعد عنصر التحكم بالجينات (endogenous control) فهي تستخدم لتصحيح الاختلاف بتركيز العينة مع تهيئة الظروف المناسبة للتفاعل، ومن خلال هذا التفاعل يتم تحديد عتبة العبور Cycle threshold (CT) في أقرب وقت ممكن أو أقرب تقدير للدورة، إذ إن الـ CT هو عدد الدورات المطلوبة بكل تفاعل للوصول للناتج المطلوب للتألق، لمعرفة قيمة التعبير الجيني يتم تحديد قيم الـ CT للتفاعل إذ يستعمل لدراسة مستوى التعبير النسبي بالمقارنة بين CT لجين الهدف وجين المراقبة.

يتم تفاعل qPCR بثلاث مراحل رئيسية (VanGuilder وآخرون، 2008)، المرحلة الأولى تتمثل بالمرحلة الأسية (Exponential phase) والتي فيها تبدأ كمية ناتج التفاعل فيها بالتضاعف بكل الدورات تقريباً إذ يكون التفاعل متخصص بدقة عالية وكفاءة التفاعل تكون نسبياً أقرب لـ 100%، في بداية هذه المرحلة توجد هناك صعوبة في الكشف عن النتائج لحظياً بسبب تألق الصبغة الموجودة لأن الناتج يكون قليلاً خلالها. والمرحلة الثانية هي الخطية (Linear phase) إذ تستمر النواتج بالتراكم أو التجمع ولكن الناتج أو كفاءة التفاعل يبدأ

بالانخفاض بهذه المرحلة . اما مرحلة القمة (Plateau phase) وهي المرحلة الاخيرة فيها يتوقف التفاعل ولاسباب عديدة يتحلل ناتج التفاعل . الشكل (2).



شكل (2) مراحل تفاعل qPCR

يجب اختيار جينات السيطرة الداخلية بدقة لتجنب الاخطاء بالتجربة لضمان الاستمرار الامثل لتقنية ( RT-qPCR ) ، يتم استخدام جينات مرجعية (Reference genes) اثناء التطبيع وهي جينات ضرورية يحتاجها الكائن الحي وذلك للحفاظ على الوظائف الخلوية الاساسية وكذلك حماية الخلايا من التدهور والموت، هذه الجينات تعبر في الظروف الطبيعية وبمستويات مستقرة وهي تختلف باختلاف الظروف التجريبية المعرضة لها، يجب ان تكون الجينات المرجعية متشابهة لجميع جينات المستخدمة للدراسة وتكون خاضعة لجميع خطوات وظروف تفاعلات qPCR وتكون مقاومة لظروف التجربة ( Bustin وآخرون، 2020).

#### 4-2- تأثير الفسفور في النبات

يعد الفسفور عنصر أساسي في النبات، وهو عنصر متحرك داخل النبات. يمتص النبات عنصر الفسفور بصورة أيونات الفوسفات فقط، وتوجد بإحدى الصور الاتية:  $PO_4^{3-}$ ،  $HPO_4^{2-}$ ،  $(H_2PO_4)^{-1}$ ، تواجد هذه الصورة  $H_2PO_4$  تعتبر هي أكثر الصور امتصاصاً، بسبب ذوبانيتها.

ويوجد الفسفور في التربة بصورتيه العضوية وغير العضوية، من صورته العضوية هي الأحماض النووية ، والفوسفوليبيدات والـ inositol phosphates، ويعتبر الفسفور العضوي غير ميسر للنبات بسبب عدم قابليته للامتصاص ولكنه يتحلل في النهاية إلى صورته غير العضوية . يدخل الفسفور في تركيب الأحماض النووية وفي تركيب الـ ADP و الـ ATP المهمة في نقل الطاقة ، ويضاف له أهمية دخوله في مرافقات الإنزيمات NAD و NADP المهمة في تفاعلات عمليتي الأكسدة والاختزال والتي يعتمد عليها النبات في التفاعلات الحيوية الهامة في التنفس وفي التمثيل الضوئي، ودخوله كمكون أساسي في الـ Phospholipids التي تشكل مع البروتين جزءاً هاماً من الأغشية الخلوية (Basheer, 2018). يوجد الفسفور بتراكيز عالية في المناطق المرستيمية التي يكون فيها النمو نشيطاً، ويشارك في تمثيل البروتينات النووية ، كما يبكر في النضج وبذلك فهو يسبب تأثير مضاد للتأثير الضار الناتج عن زيادة النتروجين و الذي يؤدي إلى اتجاه نمو النبات نحو النمو الخضري ، الفسفور يشجع على نمو الجذور، خصوصاً العرضية والليفية ، ويلعب دوراً هاماً في زيادة حيوية وجودة البذور (أبو ضاحي واليونس، 1988).

#### 2-4-1- تأثير الفسفور في صفات النمو الخضري للنبات

بينت عدة دراسات قدرة السماد الفوسفاتي في تغيير بيئة الجذور وبالتالي يحسن من تجهيز العناصر والمركبات الضرورية لنمو وتشكل أعضاء النبات، بينت نتائج Nasir (2009) بعد تطبيقه تجربة حقلية على نباتات الداتورة تضمنت استعمال ثلاثة مستويات من الفسفور 50 و 100 و 150 كغم هـ<sup>1</sup> مع معاملة مقارنة (بدون اضافة)، إن التسميد بالفسفور سبب زيادة معنوية في ارتفاع النبات وعدد الأوراق في النبات وعدد الافرع والمساحة الورقية ومحتوى الكلوروفيل، إذ اعطت المعاملة 150 كغم هـ<sup>1</sup> اعلى متوسط بلغ 72.34 سم و 82.56 ورقة نبات<sup>1</sup> و 1965.36 سم<sup>2</sup> و 22 مايكروغرام سم<sup>1</sup> ، بالتتابع، متفوقة على معاملة المقارنة التي اعطت اقل المتوسطات. و ذكر Nasir و Khan (2012) بعد تطبيقهما تجربة اصص على نبات الودانيا (اشواجندا) تضمنت استعمال ثلاث مستويات من الفسفور: 13 و 26 و 40 ملغم P كغم<sup>1</sup> تربة، مع معاملة مقارنة (بدون اضافة)، ان معاملات الفسفور سببت زيادة معنوية في ارتفاع النبات والمساحة الورقية ومحتوى الكلوروفيل (42.35 ، 46.75 ، 41.17) سم و (888.0 ،

مقارنة مع معاملة عدم الاضافة التي اعطت متوسطات بلغت 36.30 سم و 814.4 سم<sup>2</sup> و 1.882 ملغم غم<sup>1</sup> تربة . ذكر Manohar وآخرون (2012) بعد تطبيقهم تجربة حقلية على نبات البيلادونا (*Atropa belladonna*) تضمنت استعمال مستويين من السماد الفوسفاتي: 20 و 40 كغم هـ<sup>1</sup> مع معاملة مقارنة (بلا اضافة)، ان معاملي السماد الفوسفاتي سببتا زيادة معنوية في ارتفاع النبات و عدد الافرع في النبات والمساحة الورقية و محتوى الكلوروفيل، اذ اعطتا متوسطات بلغت ( 63.87 و 69.87) سم و ( 12.96 و 14.04) فرع نبات هـ<sup>1</sup> و ( 200.25 و 268.86) سم<sup>2</sup> و ( 1.612 و 1.850) ملغم غم<sup>1</sup> بالتتابع ، مقارنة مع معاملة عدم الاضافة التي اعطت متوسطات بلغت 43.67 سم و 9.70 و 154.41 سم<sup>2</sup> و 1.188 ملغم غم<sup>1</sup> بالتتابع. اشارت نتائج Tuwei (2013) بعد تطبيقه تجربة حقلية على نبات الودانيا (*Withania somnifera*) ، ان اضافة سماد الفسفور بمستويات 20 و 40 و 60 كغم هـ<sup>1</sup> سبب زيادة معنوية في ارتفاع النبات والمساحة الورقية و عدد الاوراق و عدد الفروع بلغت ( 38.8 و 48.5 و 46.7) سم و ( 15.4 و 21.3 و 25.8) سم<sup>2</sup> و ( 119 و 129 و 154) ورقة نبات هـ<sup>1</sup> و ( 7 و 8 و 8) فرع نبات هـ<sup>1</sup>، بالتتابع ، مقارنة مع معاملة عدم الاضافة التي اعطت متوسطات بلغت 31.4 سم و 11.5 سم<sup>2</sup> و 103 فرع نبات هـ<sup>1</sup> و 5 ورقة نبات هـ<sup>1</sup> بالتتابع. توصل Bozhinova (2016) بعد تطبيقه تجربة حقلية على نبات التبغ، ان اضافة السماد الفوسفاتي بمستويين 75 و 225 كغم P<sub>2</sub>O<sub>5</sub> هـ<sup>1</sup> سبب زيادة معنوية في ارتفاع النبات و عدد الاوراق بمتوسطين بلغا ( 96.4 و 97.9) سم و ( 28.2 و 28.5) ورقة نبات هـ<sup>1</sup> مقارنة مع معاملة عدم الاضافة التي بلغت 88.1 سم و 27.7 ورقة نبات هـ<sup>1</sup>. ذكر Basha وآخرون (2020) بعد تطبيقهم تجربة حقلية على نبات التبغ، ان اضافة السماد الفوسفاتي 70 كغم P<sub>2</sub>O<sub>5</sub> هـ<sup>1</sup> سبب زيادة معنوية في ارتفاع النبات بمتوسط بلغ 74.4 سم مقارنة بمعاملة عدم اضافة الفسفور التي بلغت 70.7 سم.

#### 2-4-2- تأثير الفسفور في صفات حاصل النبات

بينت نتائج الدراسات دور الفسفور بتحسين الحاصل ومكوناته في العائلة الباذنجانية، بينت نتائج Nasir (2009) بعد تطبيقه تجربة حقلية على نباتات الداتورة تضمنت استعمال ثلاث مستويات من الفسفور 50 و 100 و 150 كغم هـ<sup>1</sup> مع معاملة مقارنة (بدون اضافة)، ان التسميد بالفسفور سبب زيادة معنوية في حاصل الاوراق و عدد الثمار في النبات و عدد البذور في الثمرة و وزن 1000 بذرة وحاصل البذور في النبات وحاصل البذور الكلي اذ اعطت المعاملة 100 كغم هـ<sup>1</sup> اعلى المتوسطات بلغت 724.27 كغم هـ<sup>1</sup> و 18.38 ثمرة نبات هـ<sup>1</sup> و 178.28



بذرة ثمرة<sup>1</sup> و 5.19 غم و 22.46 غم و 463.87 كغم هـ<sup>1</sup> بالتتابع، متفوقة على معاملة المقارنة التي اعطت اقل المتوسطات. اشارت نتائج Manohar وآخرون (2012) بعد تطبيقهم تجربة حقلية على نبات البلاتونا تضمنت استعمال مستويين من السماد الفوسفاتي: 20 و 40 كغم هـ<sup>1</sup> مع معاملة مقارنة (بلا اضافة)، ان معاملي السماد الفوسفاتي سببنا زيادة معنوية في حاصل البذور اذ اعطتا متوسطين بلغا 71.9 و 81.9 كغم هـ<sup>1</sup> مقارنة بمعاملة عدم الاضافة اذ بلغ 51.3 كغم هـ<sup>1</sup>. اذ ذكر Bozhinova (2016) عند تطبيقه تجربة حقلية على نبات التبغ باستعمال مستويين من السماد الفوسفاتي 75 و 225 كغم هـ<sup>1</sup> اذ سببنا زيادة معنوية في حاصل البذور اذ اعطتا متوسطين بلغت 1635 و 1692 كغم هـ<sup>1</sup> مقارنة مع معاملة عدم الاضافة اذ بلغ 1460 كغم هـ<sup>1</sup>.

#### 3-4-2- تأثير الفسفور في الصفات النوعية للنبات

يمتلك نبات الداتورة العديد من المركبات والعناصر في اوراقه وسيقانه وبذوره، اظهرت نتائج Nasier (2009) بعد تطبيقه تجربة حقلية على نباتات الداتورة تضمنت استعمال ثلاث مستويات من الفسفور 50 و 100 و 150 كغم هـ<sup>1</sup> مع معاملة مقارنة (بدون اضافة)، ان التسميد بالفسفور سبب زيادة معنوية في النسبة المئوية للنيتروجين والفسفور والبوتاسيوم والقلويدات في الاوراق والنسبة المئوية للقلويدات في البذور وتركيز Atropine و Hyosamine و Scopolamine في الاوراق وتركيز Atropine و Hyosamine و Scopolamine في البذور اذ اعطت المعاملة 100 كغم هـ<sup>1</sup> اعلى المتوسطات بلغت 3.21% و 0.52% و 1.45% و 5.43% و 6.75% و 40.65 ملغم كغم<sup>1</sup> و 112.65 ملغم كغم<sup>1</sup> و 71.57 ملغم كغم<sup>1</sup> و 43.67 ملغم كغم<sup>1</sup> و 112.28 ملغم كغم<sup>1</sup> و 142.76 ملغم كغم<sup>1</sup>، بالتتابع، متفوقة على معاملة المقارنة التي اعطت اقل المتوسطات. بينت دراسة اجراها Kuganathan و Ganeshalingam (2011) ان نبات الداتورة يحوي تراكيز عالية من الكالسيوم والمغنيسيوم والفسفور وكذلك مجموعات عضوية كالقلويدات والفلافونيدات و الصابونين والسترويدات، بينت نتائج Wei وآخرون (2020) في دراسة مختبرية اجراها على نبات العوسج (Lycium shawii) تضمنت تطبيق ثلاث معاملات من اضافة الفسفور: 32.5 و 65 و 97.5 غم P نبات<sup>1</sup>، ان زيادة مستويات الفسفور سبب زيادة معنوية في نسبة القلويدات الكلية، من خلال تأثيره على مجموعة القلويدات الامينية ومجموعة قلويدات الاثروبين. اشار Helaly و EL-Bauome (2020) بعد تطبيقهما تجربة حقلية على نبات الفلفل الحار تضمنت استعمال 4 مستويات من الفسفور: 0 و 16 و 32 و 48 كغم P<sub>2</sub>O<sub>5</sub> هـ<sup>1</sup>، ان السماد الفوسفاتي سبب

زيادة معنوية في محتوى الكلوروفيل و النسبة المئوية للنيتروجين و الفسفور والبوتاسيوم في الاوراق، اذ اعطت المعاملة 48 كغم  $P_2O_5$  هـ<sup>1</sup> اعلى متوسطات بلغت 47.48 سباد و 1.741% و 0.682% و 2.666% على التتابع، متفوقة على معاملة المقارنة التي اعطت اقل المتوسطات .

## 5-2- تأثير التسميد بالمغنيسيوم في النبات

بعد المغنيسيوم واحد من مكونات الكلوروفيل في النباتات اذ لا يمكن لأي عنصر اخر ان يحل محل المغنيسيوم في جزيئة الكلوروفيل ، بالرغم من ان نسبته الضئيلة في الكلوروفيل إلا أن له دور رئيسي في تركيب هذه المادة كونها اساسية في عملية التركيب الضوئي، عرف وعُد المغنيسيوم أيون تبادل إشارات مهم جدا ، اذ يعمل على تنشيط بعض التفاعلات الكيميائية الحيوية و التوسط فيها، اذ ان تنظيم تثبيت الكربون في البلاستيدات الخضراء في دورة كالفين لعله يكون افضل مثال لذلك (Gokul و اخرون 2021)، المغنيسيوم عنصر مهم في العمليات الأيضية للـ ATP، وهو ضروري لتنشيط العديد من الأنزيمات التي تشكل محفزات عضوية في العملية الأيضية للفسفور (Kinay و Erdem, 2021). يمتلك المغنيسيوم خصائص مهمة تحقق مساعدة النبات في عمليات النمو المختلفة كالنمو الجذري والخضري وزيادة حجم الثمار بالإضافة لدوره الفعال في تكوين الخلايا وكذلك قدرته على بناء جذور قوية وسيقان صلبة، فبكتات المغنيسيوم تشترك مع بكتات الكالسيوم في امكانية لصق ألياف السليلوز عند بناء جدران الخلايا، لذا فهو ضروري جدا في عملية انقسام الخلايا النباتية (Jin و اخرون، 2021).

### 2-5-1- تأثير المغنيسيوم في صفات النمو الخضري للنبات.

بينت عدة دراسات دور المغنيسيوم في تحسين صفات النمو الخضري اذ ذكر Ilyas و اخرون (2016) بعد تطبيقهم لتجربة حقلية على نبات الطماطم باستعمال ثلاث مستويات من المغنيسيوم 0.04% و 0.08% و 0.12% ، ان المعاملة ب 0.12% مغنيسيوم سبب زيادة معنوية في ارتفاع النبات وعدد الافرع وعدد الثمار بمتوسطات بلغت 72.98 سم و 7.94 فرع نبات<sup>1</sup> و 31.01 ثمرة نبات<sup>1</sup> ، بالتتابع، مقارنة بمعاملة عدم الاضافة اذ اعطت 66.82 سم و 6.30 فرع نبات<sup>1</sup> و 22.99 ثمرة نبات<sup>1</sup>، بالتتابع. توصل Harris و اخرون (2018) بعد تطبيقهم تجربة حقلية على نبات الفلفل باستعمال ثلاث مستويات من المغنيسيوم: 50 و 100 و 150 ملغم لتر<sup>1</sup>، اذ سبب زيادة معنوية في عدد الافرع للنبات وعدد الاوراق وعدد الثمار اذ بلغ ( 15 و 16 و 17 ) فرع نبات<sup>1</sup> و ( 20 و 23 و 25 ) ورقة نبات<sup>1</sup> و ( 17.0 و 18.3 و

21.0) ثمرة نبات<sup>1</sup>، بالتتابع، بالمقارنة بمعاملة عدم الاضافة الت اعطت 10 فرع نبات<sup>1</sup> و15 ورقة نبات<sup>1</sup> و 7.0 ثمرة نبات<sup>1</sup>، بالتتابع. وقد اشار Gokul وآخرون (2019) بعد تطبيقهم لتجربة حقلية على نبات الفلفل الحار، ان التسميد بالمغنيسيوم 2% سبب زيادة معنوية في محتوى الكلوروفيل اذ اعطى متوسط بلغ 0.282 ملغم غم<sup>1</sup> مقارنة مع معاملة عدم اضافة التي اعطت متوسط بلغ 0.169 ملغم غم<sup>1</sup>.

### 2-5-2- تأثير المغنيسيوم في صفات حاصل النبات

ان للمغنيسيوم دور مهم في تحسين الحاصل ومكوناته في نباتات العائلة الباذنجانية، اذ اشار Ilyas وآخرون (2016) بعد تطبيقهم لتجربة حقلية على نبات الطماطم باستعمال ثلاث مستويات من المغنيسيوم: 0.04% و 0.08% و 0.12%، ان التسميد بالمغنيسيوم سبب زيادة معنوية في الحاصل بمتوسط بلغ 21.54 كغم هـ<sup>1</sup> بالاضافة الى معاملة عدم الاضافة التي اعطت متوسط 18.86 كغم هـ<sup>1</sup>. ذكر Gokul وآخرون (2019) بعد تطبيقهم لتجربة حقلية على نبات الفلفل الحار ان التسميد بالمغنيسيوم سبب زيادة معنوية في حاصل الثمار ووزن 1000 بذرة وعدد البذور وعدد الثمار بالنبات اذ اعطى متوسطات بلغت 168.06 كغم هـ<sup>1</sup> و 6.08 غم و 117.24 بذرة، ثمرة<sup>1</sup> و 89.36 ثمرة نبات<sup>1</sup>، بالتتابع، مقارنة مع معاملة عدم الاضافة التي اعطت متوسطات 120.41 كغم هـ<sup>1</sup> و 4.46 غم و 81.54 بذرة، ثمرة<sup>1</sup> و 57.69 ثمرة نبات<sup>1</sup>.

### 2-5-3- تأثير المغنيسيوم في الصفات النوعية للنبات

يلعب المغنيسيوم دورا مهما في تخليق عدد كبير من المركبات داخل النبات لاهميته في استقرار الحامض النووي الرايبوزي وكذلك مشاركته بتخليق البروتينات (Barroso وآخرون، 2021)، اوضح Andrzej وآخرون (2002) بعد تطبيقهم لتجربة حقلية على نبات البطاطا ان الرش بالمغنيسيوم سبب زيادة معنوية قبل التزهير وبعد التزهير في زيادة نسبة القلويدات المنوية بمتوسطات بلغت 5.30% و 5.01% بالتتابع مقارنة مع معاملة عدم الاضافة التي اعطت 2.82% و 3.40%، بالتتابع. بينت نتائج Kimay و Erdem (2021) بعد تطبيقهم تجربة حقلية على نبات التبغ، تضمنت تطبيق اربعة معاملات من اضافة المغنيسيوم: 0 و 3 و 6 و 9 كغم دونم<sup>1</sup>، ان المعاملة بالمغنيسيوم لم يكن لها تأثيرا معنويا في النسبة المنوية للنتروجين والفسفور، بينما سببت زيادة معنوية في النسبة المنوية للبيوتاسيوم و القلويدات، اذ اعطت المعاملة 9 كغم دونم<sup>1</sup> اعلى متوسطات بلغت 3.52% و 4.28% على التتابع، متفوقة

على معاملة المقارنة التي اعطت اقل المتوسطات. اشار Gokul وآخرون (2021) بعد تطبيقهم تجربة حقلية على نبات الفلفل، ان الرش بالمغنسيوم بتركيز 2% في ثلاث مراحل 30 و 60 و 90 يوما من الزراعة، سبب زيادة معنوية في محتوى الاوراق من كلوروفيل a و كلوروفيل b و الكلوروفيل الكلي و النسبة المئوية للكلويد، اذ اعطت متوسطات بلغت 0.118 و 0.151 و 0.269 ملغم<sup>-1</sup> و 0.71% على التتابع، متفوقة على معاملة المقارنة التي اعطت اقل المتوسطات.

## 2-6- اهمية الاسمدة النانوية

تقنية النانو من اهم التقنيات المستعملة في مختلف المجالات والاختصاصات كالأزراعة والطب والصناعة والصيدلة والنظم الغذائية وغيرها (Lowry وآخرون، 2019). يدرس علم النانو المواد على المقياس النانوي (10 - 9) من المتر (1-100 نانومتر) لانها تظهر خواص فيزيائية وكيميائية مختلفة، اذ تحدث بعض المواد تغيير في خواصها مثل المساحة السطحية وفي درجة الانصهار او الانجماد وبعض الخصائص الأخرى على المستوى النانوي بالمقارنة مع تجمع جزيئات على المستوى الاعلى منها (He وآخرون، 2019)، تلعب الأسمدة النانوية أدوارا مهمة في تغذية النبات سواء تم رشها على المجموع الخضري أو تم اضافتها من خلال المعاملات الارضية مثل زيادة نشاط عمليات التخليق الضوئي، من خلال زيادة محتوى الاوراق من الكلوروفيل بالاضافة لزيادة قدرة المحاصيل على تحمل ظروف الإجهاد المختلفة و زيادة مقاومة المحاصيل للأمراض و المحافظة على الصفات الجينية المطلوبة للمحاصيل الزراعية المختلفة اضافة لزيادة المواد الفعالة في النبات (Guru وآخرون، 2015). كما تستخدم المواد النانوية لتغطية الاسمدة التقليدية لتسهيل امتصاصها وزيادة كفاءتها أى أن استخدام المواد النانوية كبديل للأسمدة التقليدية أو كحوامل لمكوناتها له مميزات عديدة مثل زيادة القدرة على التحكم في عملية التوجيه، وزيادة الإستجابة النباتية للأسمدة النانوية نظرا لسهولة دخولها الى النبات كما تعد الية مناسبة لنقل المركبات لاماكن المستهدفة في النبات سواء الاوراق او الجذور او الثمار وباقي الاجزاء النباتية الأخرى. لذا يمكن اعتبارها اداة مساعدة في حلول التحديات والمشاكل التي تواجه بعض المزارعين في ادارة تقنيات تلك المحاصيل الموجودة خلال الحصول على الإنتاج العالى و التقليل من استعمال مختلف المواد الكيميائية. لوحظ ان لجزيئات السماد النانوي تأثير ايجابي في تطور و نمو النبات وان التداخل بين جسيمات النانو والخلية النباتية يقود الى تحسين او تنظيم التعبير الجيني والذي يؤدي الى نشوء مسارات اضية او فسلجية (Usman وآخرون، 2020)، اذ تؤدي الخصائص التي تنفرد بها الجسيمات

النانوية تعديل الخصائص الفيزيائية الكيميائية للخلايا النباتية وقد تعطي تأثيرا مختلفا في نمو وتطور النبات. ان الاستجابة للجسيمات النانوية المعدنية في النبات تختلف باختلاف المعدن ونوع النبات ومرحلة النمو.

تعني الـ Nanotechnology التحكم التام والدقيق في انتاج مادة ما وهذا التفاعل هو نوع يعرف بالتصنيع الجزيئي ووضع الذرات في المكان المناسب أثناء التفاعل، ان تقنية النانو لا تغير من الخواص المادة الكيميائية ولكنها تكسبها صفات طبيعية اسهل واسرع واقوى لم تكن موجودة فيها أي هو اعادة ترتيب هيكله وجزينات المادة على المستوى الذري او النانوي (Duhana وآخرون ، 2017 ؛ Ruttkay وآخرون 2017). قد يكون هناك تصورا يبنى عن امكانية تغيير خصائص وصفات المادة والحصول على خواص متميزة تختلف عن الخواص الاصلية عن طريق اعادة ترتيب ذرات تلك المادة وهي لم تخضع للقوانين الفيزيائية الكلاسيكية، بسبب ابعادها الصغيرة ، بل قد تخضع لقوانين فيزياء الكم (White وآخرون ، 2013). حديثا عدت تقنية النانو كثقانة واعدة في تحسين مختلف العمليات الزراعية عن طريق تحسين إدارة وادامة المدخلات في الإنتاج الزراعي المحلي وذلك لتقليل تكاليف المدخلات الزراعية من الاسمدة والمبيدات بالاضافة الى تجنب الآثار الجانبية بسبب تراكمها في التربة اضافة لصعوبة تحليلها والحفاظ على البيئة، وسرعة التأثير والوصول الى الحالة التي لم تصل اليها الجزينات العادية في الحالة غير النانوية (Khan وآخرون، 2017) . توفر تقنية النانو التغذية للنبات بشكل علمي ومن دون تلوث وهذا ما يسمى بنظام التوصيل الذكي، والذي يعني استهداف الأسمدة الى اماكن الاحتياج لها في التربة أو النبات (Nair وآخرون 2010).

## 3- مواد وطرائق العمل

## 3-1- موقع التجربة وخصائص التربة

نُفذت تجربة حقلية اثناء الموسم الزراعي 2021 في احدى حقول التجارب التابعة لاعدادية ابن البيطار المهنية الواقعة في محافظة كربلاء في تربة مزيج طينية بهدف دراسة تأثير التسميد الفوسفاتي والرش بالمغنيسيوم النانوي في عدد من الجينات المسؤولة عن التحكم في تخليق المادة الفعالة (القلويدات) وصفات نمو وحاصل الداتورة. قيست بعض الصفات الفيزيائية والكيميائية لتربة الحقل قبل الزراعة وفق الطرائق القياسية (Black و اخرون 1967) بأخذ عينات وللمعمق 0 - 30 سم في مختبرات مديرية زراعة كربلاء (جدول 1).

جدول 1: بعض الخصائص الفيزيائية والكيميائية لتربة الحقل وللمعمق 0-30 سم.

الخاصية	الوحدة	القيمة
الرمل	غم كغم <sup>-1</sup> تربة	300
الغرين	غم كغم <sup>-1</sup> تربة	320
الطين	غم كغم <sup>-1</sup> تربة	380
النسجة	مزيج طينية	-
المادة العضوية	غم كغم <sup>-1</sup>	1.345
الايونات الذائبة	ملغم كغم <sup>-1</sup> تربة	16.9
	ملغم كغم <sup>-1</sup> تربة	13.54
الفسفور الجاهز	ملغم كغم <sup>-1</sup>	11.2
البوتاسيوم الجاهز	ملغم كغم <sup>-1</sup>	28.27
المغنيسيوم الجاهز	ملغم كغم <sup>-1</sup>	14.64
التوصيل الكهربائي (مستخلص عجينة التربة)	ديسيمنز م <sup>-1</sup>	2.6
الأس الهيدروجيني	-	7.1

## 2-3- تحضير البذور

غسلت بذور الداتورة بالماء الجاري لمدة 24 ساعة ومن ثم تنقيتها بالجبرلين (GA3) بتركيز 750 ملغم لتر<sup>-1</sup> و لمدة 12 ساعة لإزالة المواد المثبطة للإنبات كونها تعاني ضعف في الإنبات وينسب متفاوتة ونحولها مرحلة السبات (Mohammed و Al-naqeeb 2020)، تم تحضير الجبرلين بإذابته بكحول اثيلي تركيز 50 % اذ وضع على الخلاط المغناطيسي الحراري لحين الذوبان التام وعلى درجة حرارة 75 م ثم اكمل الحجم الى 1 لتر. اذ زرعت بذور الداتورة D.Stramonium التي تم الحصول على بذورها من وحدة النباتات الطبية والعطرية - كلية علوم الهندسة الزراعية/ جامعة بغداد، في 20 اذار 2021 بأطباق بمعدل 4 بذور و من ثم تم شتلها بتربة الحقل عند مرحلة 2-3 ورقة في 9 نيسان 2021، تم الشتل على مروز بمسافة 75 سم بين مرز و اخر و كانت المسافة بين الجور 60 سم، عسبت أرض التجربة وسقيت كلما دعت الحاجة لذلك، وتم الحصاد في 20 تموز 2021 .

## 3-3- تحضير الأرض والتصميم التجريبي والمعاملات

حرثت أرض التجربة حراثتين متعامدتين بالمحراث المطرحي الغلاب ونعمت بالامشاط القرصية وبعد التسوية تم فتح السواقي ومن ثم عمل الاكثاف. نُفذت التجربة بثلاثة مكررات حسب تصميم القطاعات الكاملة المعشاة وبعاملين، تضمن العامل الاول اربعة مستويات للسماد الفوسفاتي هي: 0 و 25 و 50 و 75 كغم P ه<sup>-1</sup> ، اضيف السماد الفوسفاتي بصورة يوريا فوسفات الصيغة الكيميائية له (CH<sub>7</sub>N<sub>2</sub>O<sub>3</sub>P) NPK(17 44 0) دفعة واحدة عند الزراعة، اما العامل الثاني تضمن رش المغنيسيوم النانوي صيغته الكيميائية (MgO) بودرة بيضاء عديم الرائحة، بأربعة تراكيز هي: 0 (ماء مقطر فقط) و 60 و 120 و 180 ملغم Mg لتر<sup>-1</sup> ، اذ تم رش المعاملات بمرشة ظهرية سعة 20 لتر في الصباح الباكر و بمرحلتين، الاولى عند ظهور 4-5 ورقة، اما الرش الثانية بعد 30 يوما من الرش الاولى. كانت مساحة الوحدة التجريبية 5 x 4 م ، وتركت فواصل بين المكررات مقدارها م<sup>2</sup> كما تركت فواصل بمقدار 1 م بين الوحدات التجريبية.

## 4-3- الاجهزة والمواد الكيميائية المستعملة

## 1-4-3- الاجهزة

جدول 2: الاجهزة المستعملة في البحث

ت	اسم الجهاز	
1	AURA TM PCR Cabinet	حاضنه لعزل المحاليل والتفاعل التكراري
2	Biopette 0.5-1000 µl	ماصة (لسحب السوائل)
3	High performance liquid chromatography HPLC	كروماتوغرافي السائل عالي الاداء
4	Soxhlet extractor	جهاز الاستخلاص
5	Electrophoreses	جهاز الترحيل الكهربائي
6	High Speed Refrigerated Centrifuge	جهاز الطرد المركزي المبرد
7	Mini-Power Supply 300V, 2200V	مجهز الطاقة
8	Spectrophotometer	مقياس المطياف الضوئي
9	Thermo cycler real time Sa Cyclor-96 one-step RT-Qpcr	جهاز التضخيم الحراري اللحظي المتكرر
10	UV.transmission	جهاز مطياف الاشعة المرئية وفوق البنفسجية
11	Vortex/Centrifuge Exispin	المزج الدوار/ الطرد المركزي



## 3-4-2- المواد و المحاليل الكيميائية

جدول 3: المحاليل و المواد الكيميائية المستعملة في البحث

ت	المواد	رقم العدة	الشركة و المنشأ
1	Agarose	8100.11	Conda / USA
2	GoTaq® RT-qPCR Master Mix	A6120	Promega
3	Ladder 100bp	KK6302	Kapa /USA
4	Loading dye	21161	Intron / Korea
5	Pre mix pcr	25025	Intron / Korea
6	Primer	NC00840 1	Integrated DNA technologies /USA
7	Red safe staining souluion	21141	Intron / Korea
8	TBE buffer	IBS.BT0 04	Conda / USA
9	ZR Plant DNA MiniPrep	D6020	Zymo / USA
10	ZR Plant RNA MiniPrep™	R2024	Zymo / USA

جدول 4: البوداي المتخصصة بتشخيص جينات PMT و TR1 و H6H المستعملة

في تفاعل البلمرة المتسلسل PCR

اسم الجين	البوداي	التتابع	Tm (°C)	GC (%)	حجم التفاعل (bp)
PMT	الاماسي	5' ACAACCCACGAAGAGCATC '3	65	53	400
	الخلفي	5' GAGCTAGTATGAAGACCG'3	58	50	
TR1	الاماسي	5' ATGGACGAATCACAGGTGTCC '3	67	52	700
	الخلفي	5' TTCCTTATGTATCACCACCC'3	61	45	
H6H	الاماسي	5' ATGGCTACTTTTGTGTCGAACTG '3	65	43	500
	الخلفي	5' TTAGACACATATGGTACGTGCTCC '3	66	46	

جدول 5: البوداي المتخصصة لجينات PMT و TR1 و H6H والجين المرجعي ACTIN

المستعملة في تفاعل البلمرة المتسلسل اللحظي الكمي qPCR

اسم الجين	البوداي	التتابع	Tm (°C)	GC (%)
PMT	الاماسي	5' TTCGAGGGTGACTAAAGC '3	61	50
	الخلفي	5' TCTGGTCTCCGTAGAACA '3	62	50
TR1	الاماسي	5' AGCAGAGGAAGTATCATCCC '3	63	50
	الخلفي	5' ATAGCTCAGAGCTCATCC '3	60	50
H6H	الاماسي	5' GGATGCTATGGATTGCTGT '3	62	47
	الخلفي	5' AGAGTGGTGGTTGTCTTGG '3	64	53
ACTIN	الاماسي	5' ATACGAGAAGATCACTCGG '3	60	47
	الخلفي	5' CACAGTGTCGTACTIONGACG '3	63	53

## 3-5- الصفات المدروسة

3-5-1-تشخيص جينات PMT و TR1 و H6H المسؤولة عن تخليق المادة الفعالة في جذور واوراق الداتورة

3-5-1-1- استخلاص الحمض النووي الريبوزي منقوص الاوكسجين (DNA) من النبات

تم استخلاص الحامض النووي DNA من اوراق وجذور نبات الداتورة نوع D.Stramonium باستعمال عدة منتجة من شركة Zamo Research USA المبيئة مكوناتها في جدول (6).

جدول 6: عدة استخلاص الحامض النووي الريبوزي منقوص الاوكسجين DNA (ZR )

## (Plant DNA MiniPrep)

ت	المكونات	الحجم
1	ZR BashingBead™ Lysis Tubes (0.1 & 0.5 mm)1	50
2	Lysis Solution	40 ml
3	DNA Binding Buffer2	100 ml
4	DNA Pre-Wash Buffer3	15 ml
5	DNA Wash Buffer	50 ml
6	DNA Elution Buffer	10 ml
7	Zymo-Spin™ IV Spin Filters (Orange Tops)	50
8	Zymo-Spin™ IIC Columns	50
9	Collection Tubes	150
	الحجم النهائي للحامض النووي المستخلص	50 مايكروليتر

### 2-1-5-3 خطوات استخلاص الـ DNA

اتبع الدليل الخاص بالشركة المجهزة للعدة الخاصة باستخلاص الحامض النووي الريبوزي منقوص الاوكسجين وحسب الخطوات التالية:

1- اخذت عينات من اوراق نباتات نظيفة وخالية من المبيبات المرضية وتم ترقيمها وغسلها وتعقيمها وحفظها في اكياس بلاستيكية معقمة وحفظت في المجمدة لحين اجراء الاستخلاص .

2- اخذت 2 غرام من الاوراق النباتية وقطعت جيدا وسحقت باستعمال هاون خزفي معقم ، ونقلت الانسجة النباتية المطحونة الى انبوب يحتوي على الكرات النانوية ( ZR Bashing Bead™) ثم يضاف اليه 750 مايكروليتر من محلول التحليل ( Lysis Solution Buffer).

3- نقل الخليط الى جهاز الرج لمدة 5 دقائق.

4- اجريت عملية طرد مركزي للمزيج لمدة دقيقة واحدة وبسرعة 10.000 دورة دقيقة<sup>1</sup>.

5- سحب 400 مايكروليتر من الطبقة العليا الحاوية على الحمض النووي المنقوص الاوكسجين ووضعت في انابيب الترشيح ( Zymo-Spin™ IV Spin Filters) ثم اجري له طرد مركزي لمدة 1 دقيقة وبسرعة 7000 دورة دقيقة .

6- نتخلص من الفلتر الملوث وناخذ الراسب في الانبوبة .

7- اضيف 1200 مايكروليتر من محلول الارتباط (DNA Binding Buffer) للاحتفاظ بالـ DNA والتخلص من الشوائب الغير مرغوبة .

8- سحب 800 مايكروليتر من الخليط اعلاه ووضعه في اعمدة التنصيف ( Zymo-Spin™ IIC Column) ثم اجري له طرد مركزي لمدة 1 دقيقة وبسرعة 14.000 دورة دقيقة<sup>1</sup>.

9- وضعت اعمدة التنصيف ( Zymo-Spin™ IIC Column) في انبوب جمع ( Collection Tube) جديد ويوضع في 200 مايكروليتر من محلول الغسيل الاولي (DNA Pre- Wash Buffer)، واجري له طرد مركزي لمدة 1 دقيقة وبسرعة 14.000 دورة دقيقة<sup>1</sup>.

10- اضيف مرة اخرى 500 مايكروليتر من محلول الغسيل (DNA Wash Buffer) واجري له طرد مركزي لمدة 1 دقيقة وبسرعة 10.000 دورة دقيقة<sup>1</sup>.

- 11- وضع الفلتر في الأنبوبة الطرد المركزي (Microcentrifuge tube) ويضاف 50 مايكروليتر من محلول الاذابة (DNA Elution Buffer) واجري له طرد مركزي لمدة 30 ثانية فقط وبسرعة 13000 دورة دقيقة<sup>1</sup>
- 12- كان الحجم النهائي للحامض النووي هو 50 مايكروليتر، وبعد عملية الاستخلاص والحصول على كمية من الحامض النووي DNA تم حفظه في درجات حرارة منخفضة.

### 3-1-5-3- قياس نقاوة وتركيز الحامض النووي DNA.

تم تقييم نقاوة الحامض النووي منقوص الاوكسجين بواسطة جهاز NanoDrop ، اذ تحسب امتصاصية عينة الـ DNA عند الطول الموجي 260 نانوميتر (O.D<sub>260</sub>) ثم تحسب الامتصاصية للعينة نفسها عند الطول الموجي 280 نانوميتر (O.D<sub>280</sub>)، إذ ان النسبة بين قراءة الموجة (260 نانوميتر) الى (280 نانوميتر) تساعد على تقييم نقاوة الحامض النووي، وتتراوح هذه النسبة بين (1.8 – 2.0) للدنا النقي (Sambrook وآخرون، 1989) . و حسب المعادلة التالية:

$$DNA \text{ نقاوة} = \frac{O.D_{260}}{O.D_{280}} \geq 1.8$$

$$DNA \text{ تركيز} = O.D \text{ at } 260 \text{ nm} \times \text{عامل التخفيف} \times 50 \mu\text{g ml}^{-1}$$

### 4-1-5-3- استعمال تقنية تفاعل البلمرة المتسلسل (PCR) لتضخيم جينات PMT و TRI و H6H

اجري اختبار تفاعل البلمرة المتسلسل (PCR) باستعمال العدة Maxime™ PCR PreMix (i-Taq) المجهزة من قبل شركة iNtRoN الكورية الميينة مكوناتها في جدول 7 لنبات الداتورة.

جدول 7: مكونات عدة تفاعل البلمرة المتسلسل (i-Taq) Maxime™ PCR PreMix (i-Taq)  
(Kat.No 25025)

المكونات	الحجم
i-Taq DNA Polymerase	5Unit/ $\mu$ l
DNTPs (DATP, DGTP, DCTP, DTTP)	2.5Mm
Reaction buffer (10X) (MgCl <sub>2</sub> , Tris-HCl, KCl)	تخفف الى 1x
Gel loading buffer	تخفف الى x1

نفذ تفاعل البلمرة المتسلسل بحجم اجمالي 25 مايكروليتر حاوية على المكونات المرفقة في جدول 8 و اكمل الحجم بالماء (Nuclease-free water) الى 25 مايكروليتر.

جدول 8: تراكيز مكونات خليط تفاعل البلمرة المتسلسل PCR

ت	المكونات	الحجم
1	Taq PCR PreMix	10 $\mu$ l
2	Forward primer	1 $\mu$ l
3	Reverse primer	1 $\mu$ l
4	DNA	5 $\mu$ l
5	Distill water	8 $\mu$ l
	الحجم النهائي	25 $\mu$ l

تم تحضير خليط التفاعل في انبوبة معقمة (انبوبة لكل جين مع انبوبة خالية من الحامض النووي Negative Control) و مزجت مكوناته باستعمال ماصة دقيقة، ثم تم وضعها في جهاز البلمرة الحراري PCR ، وتم تنفيذ البرامج الموضحة في الجداول 9 و 10 و 11 لغرض تضخيم جين PMT و TR1 و H6H، بالتتابع.

جدول 9: برنامج ظروف تفاعل البلمرة المتسلسل PCR لتضخيم جين PMT

المرحلة	درجة الحرارة (°C)	الوقت	عدد الدورات
Initial Denaturation مسح اولي	95	3 min.	1
Denaturation مسح ثاني	95	45 sec	35
Annealing الالتحام	62	45 sec	
Extension الاطالة الاولى	72	2 min	
Extension الاطالة النهائية	72	7 min.	1

جدول 10: برنامج ظروف تفاعل البلمرة المتسلسل PCR لتضخيم جين TRI

المرحلة	درجة الحرارة (°C)	الوقت	عدد الدورات
Initial Denaturation مسح اولي	95	3 min.	1
Denaturation مسح ثاني	95	45 sec	35
Annealing الالتحام	65	45 sec	
Extension الاطالة الاولى	72	2 min	
Extension الاطالة النهائية	72	7 min.	1

جدول 11: برنامج ظروف تفاعل البلمرة المتسلسل PCR لتضخيم جين H6H

المرحلة	درجة الحرارة (°C)	الوقت	عدد الدورات
Initial Denaturation مسح اولى	95	3 min.	1
Denaturation مسح ثنى	95	45 sec	35
Annealing الاتحام	65	45 sec	
Extension الاطالة الاولى	72	2 min	
Extension الاطالة الثانية	72°C	7 min.	1

رفعت الانابيب بعد انتهاء الوقت ووضعت في الثلجة لحين الترحيل .

### 5-1-5-3- الترحيل الكهربائي لنتائج PCR باستعمال هلام الاكاروز

تم اجراء الترحيل الكهربائي لتحديد قطع الحامض النووي بعد عملية تفاعل البلمرة المتسلسل للعينات الناتجة و الدليل القياسي للحامض النووي الريبوزي منقوص الاوكسجين (DNA Ladder marker)، اذ تم مزج 1غم من الاكاروز و اذيب في 100مل من دارى الترحيل الكهربائي (TBE بقوة X1) و سخن لحين الغليان و ترك لكي تنخفض درجة الحرارة الى (40-50 م) ثم يضاف له 2 مايكروليتر من الصبغة الحمراء الامنة، في هذه الاثناء حضرت عينات الحامض النووي (3 مايكروليتر) بمزجها مع دارى التحميل loading buffer (5 مايكروليتر) و تم تحضير القالب و وضع المشط في احدى نهايته لعمل حفر داخل طبقة هلام الاكاروز و ثم صب الاكاروز المذاب في القالب و ترك ليتصلب في درجة حرارة الغرفة.

بعد اكمال تصلب طبقة هلام الاكاروز، رفع المشط بحذر دون احداث تشويه او تحطيم للحفر و اعيد القالب الى مكانه في جهاز الترحيل الكهربائي و اضيف المحلول الدارى (TBE



## مواد وطرائق العمل

بقوة (X1) الى حوض الترحيل الكهربائي لحين غمر طبقة الاكاروز بارتفاع حوالي 1ملم. اضيف 5مايكروليتر من الحامض النووي المضاعف بواسطة تفاعل البلمرة المتسلسل من كل عينة الى كل حفرة من حفر طبقة هلام الاكاروز، كما اضيف 5 مايكروليتر من الدليل القياسي للحامض النووي DNA (1Kbp DNA ladder marker) المبين في شكل 3 الى الحفرة الموجودة في الجانب الايسر من العينات المضافة للمساعدة بتحديد احجام الحامض النووي المضاعفة و ثم اوصلت اقطاب الجهاز بالتيار الكهربائي و شغل مجهز الطاقة على 120 ملي امبير لمدة ساعة و تصف.



شكل3: الدليل القياسي للحامض النووي DNA

بعد اكمال عملية ترحيل العينات، فحصت طبقة هلام الاكاروز الحاوية على نواتج الحامض النووي المضاعف و المتصبغة بالصبغة الحمراء الامنة تحت الاشعة فوق البنفسجية و اخذت لها صور.

## 6-3- التعبير الجيني لجينات PMT و TR1 و H6H

تم دراسة التعبير الجيني للجينات PMT و TR1 و H6H في الجذور و الاوراق عند مرحلة 7-8 ورقة و عند مرحلة 50% من الازهار، وذلك بأخذ عينات اوراق وجذور من نبات الداتورة لكل وحدة تجريبية. اذ تم استخلاص الحامض النووي RNA للعينات (جذور واوراق) وفق المراحل المحددة، واستعملت طريقة Livak و Schmittgen (2001) لتقدير التعبير الجيني النسبي لجين PMT و TR1 و H6H و استعمل جين GAPDH كجين مرجعي من خلال المعادلات التالية:

$$\Delta ct = ct_{target\ gene} - ct_{reference\ gene}$$

$$\Delta\Delta ct = \Delta ct_{Test} - \Delta ct_{Control}$$

$$\text{التعبير النسبي للجين} = 2^{-\Delta\Delta ct}$$

اذ ان:

$ct_{target\ gene}$  هي عتبة الدورة للجين الهدف (PMT و TR1 و H6H).

$ct_{reference\ gene}$  هي عتبة الدورة للجين المرجعي (Actin)

$Ct_{test}$  هو عتبة الدورة للعينات المختبرة للجين المستهدف (PMT او TR1 و H6H)

$CT_{Control}$  هو عتبة الدورة لعينة المراقبة للجين المستهدف (PMT او TR1 و H6H)

## 3-6-1- استخلاص الحامض النووي RNA

تم استعمال العدة المجهزة من قبل شركة Zymo الامريكية المرفقة مكوناتها في جدول 12، لغرض استخلاص الحامض النووي RNA من اوراق وجذور نبات الداتورة وفق معاملات التجربة.

جدول 12: مكونات عدة استخلاص الحامض النووي الريبوزي RNA المجهزة من شركة

.Zymo

ت	المكونات	الحجم
1	RNA Lysis Buffer	50
2	RNA Prep Buffer	25
3	RNA Wash Buffer I	12
4	DNase/RNase-Free Water	40
5	ZR BashingBead™ Lysis Tubes	50
6	Zymo-Spin™ IIC Columns	50
7	Zymo-Spin™ IIC Columns	50
8	Zymo-Spin™ IV-HRC Spin Filters	50
9	Collection Tubes 2x	50

1-1-6-3 خطوات استخلاص الـ RNA

تم تنفيذ الخطوات الآتية:

- 1- تم سحق العينات النباتية بوجود محلول التحليل (RNA Lysis Buffer) ، ثم نقلت العينات الى انبوبة الكرات النانوية (ZR BashingBead™ Lysis Tubes) و يضاف لها 800 مايكروليتر من محلول (RNA Lysis Buffer) .
- 2- تم وضع انبوبة الكرات النانوية (ZR BashingBead™ Lysis Tubes) داخل انبوبة الجمع و وضع عليه غطاء و وضع في الطرد المركزي لمدة دقيقة.

- 3- تنقل 400 مايكروليتر من الطبقة الطافية الى اعمدة الترشيح ( Zymo-Spin™ IIC Columns ) وتوضع في انبوبة التجميع (collection tube) وتوضع بجهاز الطرد المركزي لمدة 30 ثانية. و ياخذ الراسب الموجود في انبوبة التجميع.
- 4- اضافة 1 حجم ايثانول (95-100%) الى الراسب الموجود في انبوبة التجميع و تمزج جيدا.
- 5- نقل المزيج الى اعمدة التنصيف (Zymo-Spin™ IIC Columns) و يوضع في انبوبة التجميع و تنقل لجهاز الطرد المركزي لمدة 30 ثانية، يهمل الراشح الموجود في انبوبة التجميع.
- 6- اضافة 400 مايكروليتر من (RNA Prep Buffer) الى عمود التنصيف ( Zymo-Spin™ IIC Columns ) و يوضع في انبوبة التجميع و تنقل لجهاز الطرد المركزي لمدة 30 ثانية، يهمل الراشح الموجود في انبوبة التجميع.
- 7- اضافة 700 مايكروليتر من محلول الغسيل (RNA Wash Buffer) الى عمود التنصيف ( Zymo-Spin™ IIC Columns ) و يوضع في انبوبة التجميع و تنقل لجهاز الطرد المركزي لمدة 30 ثانية، يهمل الراشح الموجود في انبوبة التجميع.
- 8- اضافة 400 مايكروليتر من محلول الغسيل (RNA Wash Buffer) الى عمود التنصيف ( Zymo-Spin™ IIC Columns ) و يوضع في انبوبة التجميع و تنقل لجهاز الطرد المركزي لمدة 2 دقيقة لضمان ازالة كل محلول الغسل، ثم ينقل عمود التنصيف ( Zymo-Spin™ IIC Columns ) الى انبوبة من نوع (Rnase Free Tube) غير مجهزة مع العدة.
- 9- اضافة 50 مايكروليتر من ماء مقطر (Dnase/Rnase Free Water) مباشرة الى الانبوبة و يوضع في جهاز الطرد المركزي لمدة 30 ثانية. و يهمل عمود التنصيف ( Zymo-Spin™ IIC Columns ) .
- 10- نقل الحامض النووي الريبوزي المستخلص Eluted RNA (خطوة السابقة) عبر مصفاة (Zymo-Spin™ IV-HRC Spin Filters) الى انبوبة Rnase (Free Tub) و توضع في جهاز الطرد المركزي 8000 دورة/دقيقة، سوف يترسب ال RNA و يمكن استعماله مباشرة او حفظه عند -70 م .

## 3-6-2- قياس نقاوة الحامض النووي RNA

تم تقييم نقاوة الحامض النووي الريبوزي RNA بواسطة جهاز Nano Drop ، اذ تحسب امتصاصية عينة الـ RNA عند الطول الموجي 260 نانوميتر (O.D260) ثم تحسب الامتصاصية للعينة نفسها عند الطول الموجي 280 نانوميتر (O.D280)، اذ ان النسبة بين قراءة الموجة (260 نانوميتر) الى (280 نانوميتر) تساعد على تقييم نقاوة الحامض النووي الريبوزي، وتتراوح هذه النسبة بين اكبر او يساوي 2 لـ RNA النقي (Sambrook واخرون، 1989) و حسب المعادلة التالية:

$$RNA \text{ نقاوة} = \frac{O.D_{260}}{O.D_{280}} \geq 2$$

$$RNA \text{ تركيز} = O.D \text{ at } 260 \text{ nm} \times \text{عامل التخفيف} \times 40 \mu\text{g ml}^{-1}$$

## 3-2-6-3- تقنية التفاعل التكراري اللحظي لتحديد قيمة التعبير الجيني

اجري اختبار التفاعل التكراري اللحظي (لمعاملات الدراسة وفق مراحل النمو المطلوبة و الاجزاء النباتية باستعمال العدة (GoTaq® Probe RT-qPCR Master Mix) المجهزة من شركة Promega المرفقة مكوناتها في جدول 13.

جدول 13: مكونات عدة لتحضير التفاعل التكراري اللحظي (GoTaq® Probe)

## (RT-qPCR Master Mix)

المكونات
GoTaq® Hot Start Polymerase
MgCl <sub>2</sub>
dNTPs
proprietary reaction buffer

تم حساب الحجم المطلوب لكل مكونات التفاعل التكراري اللحظي حسب جدول 14.

## جدول 14: مكونات التفاعل التكراري للحظي (RT-qPCR)

ت	المكونات	الحجم (مايكروليتر)
1	GoTaq® RT-qPCR Master Mix	10
2	Forward primer of target gene	1
3	Reverse primer of target gene	1
4	Forward primer of gene reference	1
5	Reverse primer of gene reference	1
6	Nuclease-free water	6
7	RNA Sample Volume	5
	الحجم النهائي	25

تم مزج المكونات اعلاه بجهاز المازج الدوار بسرعة 3000 دورة دقيقة<sup>1</sup> لمدة 10 ثانية، ثم وضعت في جهاز البلمرة الحراري اللحظي و نفذت البرامج كما في جدول 15 ولكل جين.

## جدول 15: برنامج ظروف تفاعل (RT-qPCR) لجين PMT و TR1 و H6H

عدد الدورات	الوقت	درجة الحرارة (°C)	الخطوة
Hold	20 min	50	cDNA synthesis
Hold	min10	95	Denaturation Initial
40	45 sec	95	Denaturation
	45 sec	62	Annealing
	1	72	Extension
Hold	5	72	Extension

بعد انتهاء التفاعل حللت البيانات.

## 3-6-3- صفات النمو

3-6-3-1- ارتفاع النبات (سم) : تم قياسه من مستوى سطح التربة الى قمة الساق الرئيس للنبات

3-6-3-2- عدد الافرع نبات<sup>1</sup>: لقد حسب عدد الافرع الكلي الرئيسة والثانوية لخمسة نباتات لكل وحدة تجريبية.

3-6-3-3- عدد الاوراق نبات<sup>1</sup>: تم حساب عدد الاوراق لخمسة نباتات ومن ثم استخراج المتوسط.

3-6-3-4- المساحة الورقية ( سم<sup>2</sup> ) : بطريقة الاقراص تم قياس هذه الصفة و حسب طريقة ( Johanson 1967 ) و تتلخص بأخذ قرصين من العرق الوسطى والثاني من الجانب الاخر من الورقة للنبات الواحد اذ اخذت عينة من النبات بشكل عشوائي جففت كل من الاوراق والاقراص على درجة حرارة 70 م° وتم حسابها حسب المعادلة

$$\text{المساحة الورقية} = \frac{\text{مساحة القرص} \times \text{الوزن الجاف للورقة}}{\text{الوزن الجاف للاقراص}}$$

3-6-3-4- محتوى كلوروفيل a و b في الاوراق (ملغم غم<sup>-1</sup>) : وتم تقديرهما حسب طريقة Lichtenthaler (1987)، اذ وزنت 0.20 غم من الاوراق الطرية و اضيف لها 20 مل من الاسيتون بتركيز 80% اذ تم التقطيع والسحق بجفنة خزفية و للمحافظة على الصيغة من التحلل الضوئي يضاف لها كاربونات الصوديوم وضعت بعدها في انابيب معتمة وتمت القراءة بجهاز Spectrophotometer بطول موجي 663 نانوميتر لكلوروفيل a و الاخر ذو طول موجي 645 نانوميتر لكلوروفيل b ووفق المعادلة التالية قدر محتوى الكلوروفيل

$$\text{Chlorophyll. a} = \frac{(1.25 \times D663 - 2.79 \times D645) \times V}{W \times 1000}$$

$$\text{Chlorophyll. b} = \frac{(2.15 \times D645 - 5.68 \times D663) \times V}{W \times 1000}$$

إذ إن:-

D=قراءة الكثافة الضوئية للكلوروفيل المستخلص على الأطوال الموجية 663 نانوميتر 645 نانوميتر بالتتابع.

V=الحجم النهائي للأسيتون المخفف بتركيز ( 80% )

W=وزن العينة الطرية المأخوذة 0.20 غم

3-6-3-5- تقدير نسبة بعض العناصر في اوراق الداتورة

3-6-3-5-1- نسبة النتروجين (%) في الأوراق :- اخذت العينات الورقية من كل وحدة تجريبية، غسلت بالماء الاعتيادي ثم المقطر وجففت على درجة حرارة 65م° لمدة 24 ساعة ثم . طحنت ونخلت بمنخل قطر فتحاته 1 ملم ، ثم اخذ 0.2 غم من كل معاملة وفُضمت العينات باستعمال

حامض الكبريتيك المركز و حامض البيروكلوريك ذو نسبة 4 : 1 (الصحاف ، 1989) وقدر النتروجين باستعمال جهاز Micro-Kjeldahl حسب طريقة كلدال .

3-5-6-2- نسبة الفسفور (%) في الأوراق :-أخذت عينات الاوراق من الوحدات التجريبية ،اذ تم تقدير نسبة الفسفور فيها باستعمال جهاز المطياف الضوئي Spectrophotometer بطول موجي 882nm باستخدام حامض الاسكوريك و موليبيدات الامونيوم ( page واخرون 1982) .

3-5-6-3- نسبة البوتاسيوم (%) في الاوراق :- قدر تركيز عنصر البوتاسيوم بجهاز الـ Flame Photometer وحسب طريقة (Black، 1965).

3-5-6-4- نسبة المغنيسيوم (%) في الاوراق: قد تركيز عنصر المغنيسيوم بجهاز الـ Atomic وحسب طريقة ( page واخرون 1982) .

3-6-6-6- تقدير النسبة المئوية للقلويدات في الاوراق والبذور: اخذت عينات الاوراق من كل الوحدات التجريبية عند 50% من مرحلة الازهار ، اما عينات البذور تم اخذها في مرحلة النضج التام، تم حساب القلويدات كنسبة مئوية من وزن العينة المحللة إذ تم وزن 10 غم من الاوراق المجففة والبذور استخلصت بجهاز السكوليت مع 50 مل من ميثانول عند درجة حرارة 50 م حتى ثبات الوزن ( Harborne،1973; Ijarotimi ، واخرون ، 2013 ) .

3-6-6-7- تشخيص المركبات الفعالة (القلويدات) باستعمال تقانة كروماتوغرافي السائل ذات الاداء العالي High-performance Liquid Chromatography HPLC

جمع أنموذج العينات :- اخذت عينات الاوراق من كل الوحدات التجريبية عند مرحلة 50% من الازهار ، اما الحبوب فتم اخذ العينات في مرحلة النضج التام، جففت في درجة حرارة الغرفة لمدة يوم واحد وبعدها تم تجفيفها داخل الفرن الكهربائي بدرجة حرارية 75 م لغاية ثبات الوزن بعد ذلك طحنت الأوراق باستعمال الخلاط الكهربائي واخذت ( 50 غم ) من المسحوق الورقي من كل معاملة وتم وضعها في أكياس .

استخلاص المركبات الفعالة من الأنموذج :- تم أخذ 10 غم من أنموذج العينات ووضعت في دورق زجاجي وأضيف لها 50 مل من مزيج متكون من مادتي الإيثانول 25 % والأمونيا نسبة 20:1 وتركت بدرجة حرارة المختبر لمدة لا تقل عن نصف ساعة بعدها وضعت في جهاز السنترفيوج لمدة 10 دقائق بسرعة 5000 دورة دقيقة<sup>1</sup> .أخذت الطبقة العضوية وأضيف إليها



0.7 مل من حامض الهيدروكلوريك وتركنت لمدة 3 دقائق بعدها فلترت باستعمال فلتر ذا حجم  $\mu$  0.45 بعدها أضيف اليها 0.4 مل من كاربونات الصوديوم  $\text{Na}_2\text{CO}_3$  لمعادلة pH إلى 9.8 وأضيف إلى المزيج 3 مل من  $\text{CHCl}_3$  تم رجها لمدة دقيقتين وبعدها جففت ثم تم جمع الناتج وأضيف إليه 50 مل من ميثانول 50 % وحفظت في الثلاجة لحين إجراء التحليل عليها باستعمال جهاز HPLC . ( Mohammed و Al-naqeeb ، 2020 )

**تحضير المركب القياسي :-** تم أخذ 0.1 غم من المادة القياسية عالية النقاوة 99.9 % ووضعت في قنينة حجمية سعة 250 مل وأذيبت بالميثانول عالي النقاوة ورجت جيدا لحين الإذابة التامة وبعدها أكمل الحجم لحد المطلوب إذ أصبح التركيز النهائي 400 ملغم لتر<sup>-1</sup> وباستعمال قانون التخفيف تم تحضير المركبات القياسية التي تم حقنها في جهاز الكروماتوغرافي HPLC .

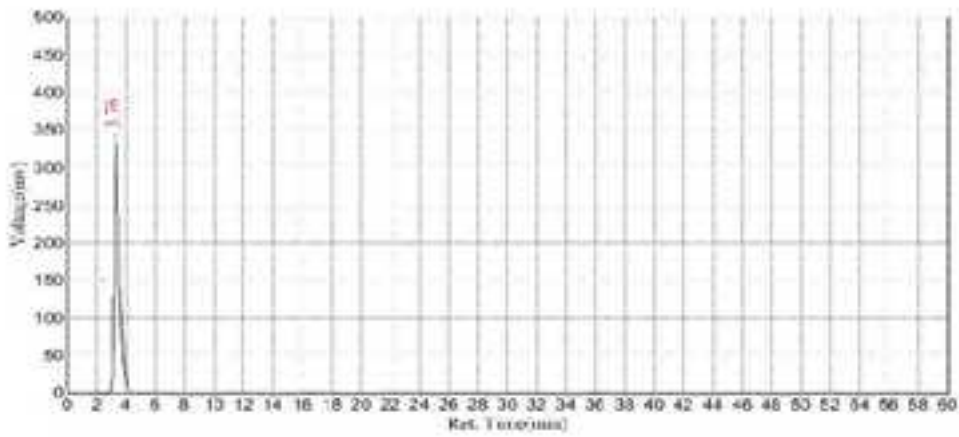
**عملية حقن الأنموذج :-** بعد اتمام عملية الاستخلاص ولغرض حقن الأنموذج في جهاز HPLC تم إضافة كمية محسوبة من مذيب الميثانول إلى الأنموذج المستخلص وأجري بعدها فلترة الأنموذج باستعمال فلتر ذو حجم 0.45 مايكروميتر ثم أخذ 100 ميكروليتر من الأنموذج وهي نفس كمية المادة القياسية التي تم أخذها وحقنت بالجهاز . بعد إتمام عملية الحقن تم الاعتماد على زمن احتجاز المادة القياسية (جدول 6، شكل 2 و 3 و 4) في عملية تشخيص المادة في الأنموذج وتم الاعتماد على مساحة الأنموذج لإجراء عملية حساب التركيز وفق المعادلة الآتية :-

$$\text{تركيز الأنموذج} = \frac{\text{تركيز المادة القياسية} \times \text{مساحة الأنموذج}}{\text{مساحة المادة القياسية}} \times \frac{\text{معامل التخفيف}}{\text{وزن الأنموذج}}$$

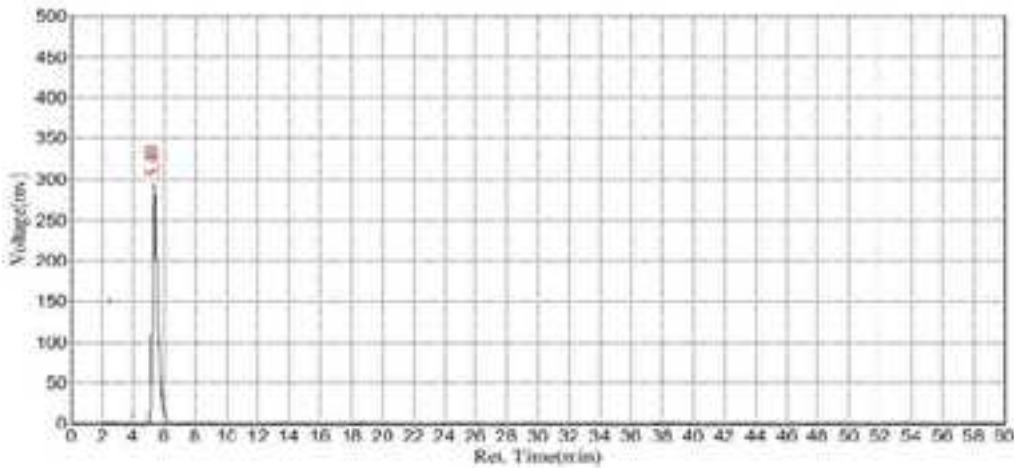
جدول 16: يوضح زمن الاحتجاز للنماذج القياسية من المركبات المشخصة باستعمال

طريقة الفصل الكروماتوغرافي HPLC

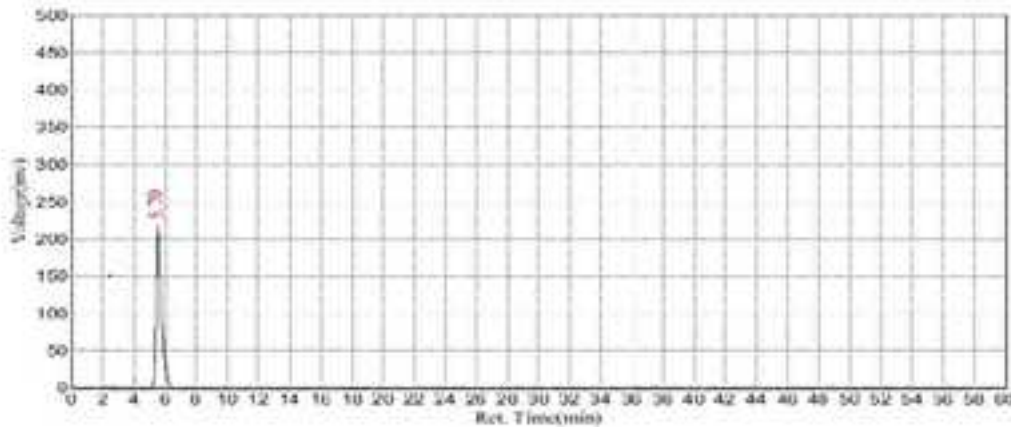
النموذج القياسي	زمن الاحتجاز (دقيقة)	مساحة المادة القياسية
Atropine	3.76	1225
Hyosamine	5.40	1011
Scopolamine	5.70	445



شكل 4: منحنى المادة القياسية لمركب Atropine



شكل 5: منحنى المادة القياسية لمركب Hyosamine



شكل6: منحنى المادة القياسية لمركب Scopolamine

ظروف التحليل :- أجري الفحص في مختبرات كلية الزراعة جامعة كربلاء باستخدام جهاز HPLC وحسب الطريقة المقدمة من قبل Plank و Wanger (1986) إذ استعمل الطور الناقل المتكون من ميثانول : ماء مقطر بنسبة ( 80 : 20 ) وكان عمود الفصل ( 4.6 × 25 سم ) C18- ODS ، الكاشف المستعمل لكشف القلويدات ( UV ) وطول موجي 254nm إذ كان معدل سرعة جريان الطور الناقل 1 مل بالدقيقة.

### 3-6-7-7- صفات الحاصل ومكوناته:

3-6-7-1- حاصل الأوراق كغم هـ<sup>1</sup> تم حساب حاصل الأوراق في المتر المربع وتم حول الى كغم في الهكتار.

3-6-7-2- عدد الثمار نبات<sup>1</sup> : أخذت خمسة نباتات بشكل عشوائي من الخطوط الوسطية ومن ثم استخراج المتوسط لها.

3-6-7-3- عدد البذور ثمرة<sup>1</sup> . تم القياس عن طريق عدد من الثمار المأخوذة من النباتات الخمسة المقاسة وعليه فقد استخراج المعدل.

3-6-7-4- وزن 1000 بذرة غم. تم حساب الوزن لـ 1000 بذرة بالغرام.

3-6-7-5- حاصل النبات غم . تم قياس حاصل النباتات من البذور بوحدة الغرام لكل وحدة تجريبية.

3-6-7-6- الحاصل الكلي للبذور كغم<sup>1</sup> : تم قياس الحاصل لكل وحدة تجريبية ومن ثم تحويله الى كغم .ه<sup>1</sup>

3-6-7-7- حاصل القلويدات من الاوراق (كغم ه<sup>1</sup>)

وتم تقديره من خلال المعادلة التالية:

حاصل القلويدات من الاوراق = نسبة القلويدات في الاوراق × حاصل الاوراق

3-6-7-8- حاصل القلويدات من البذور (كغم ه<sup>1</sup>)

وتم تقديره من خلال المعادلة التالية:

حاصل القلويدات من البذور = نسبة القلويدات في البذور × حاصل البذور

### 3-8- التحليل الإحصائي

اجري تحليل البيانات احصائياً ولجميع الصفات المدروسة. باستعمل اختبار اقل فرق معنوي (أ.ف.م) وعلى مستوى احتمالية 0.05 حسب طريقة تحليل التباين للمقارنة بين المتوسطات الحسابية استعمل البرنامج الاحصائي Gen stat في اجراء التحليل الاحصائي ، كما هو مبين في الملاحق 1 و2 و3. ( Steel و Torrie 1980).

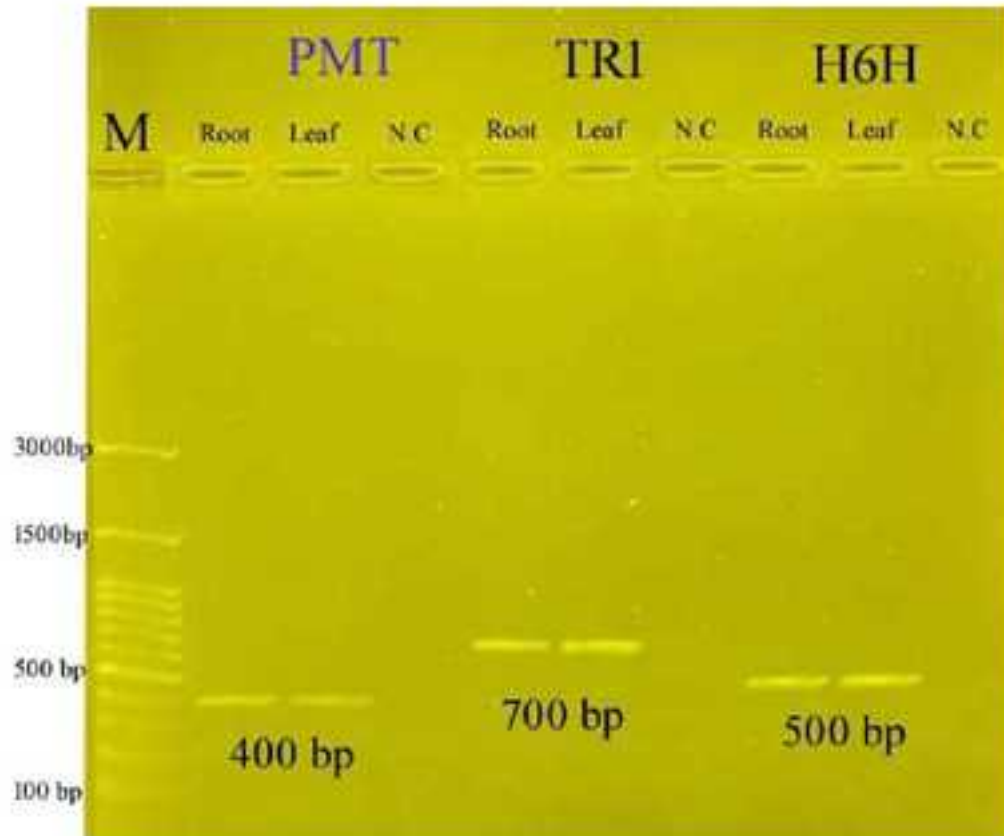
## 4- النتائج و المناقشة

## 1-4- تشخيص الجينات PMT TR1 DaH6H المسؤولة عن بناء الانزيمات المحفزة على تراكم المواد الفعالة (القلويدات).

بعد تهيئة ظروف تفاعل تقانة PCR تم ترحيل نواتج التفاعل على هلام الاكاروز اظهرت نتائج شكل 7، وجود حزمة ذات وزن جزيئي 400 bp في الجذور والاوراق تمثل الجين PMT المسؤول عن التخليق الحيوي لقلويدات الاتروبين، اذ ان مسار تخليق الاتروبين يتمثل بان ينشأ نظام حلقة التروبان من الأورنيثين أو الأرجينين عن طريق تكوين البوتريسين. ثم يتم ميثلة بوتريسين بواسطة انزيم PMT لتشكل تروبينون اذ يمكن تصنيع الأتروبين عن طريق تفاعل التروبين مع حامض التروبيك في وجود حامض الهيدروكلوريك (Dewick, 2009).

كما اظهرت نتائج شكل 7، وجود حزمة ذات وزن جزيئي 700 bp في الجذور والاوراق تمثل الجين TR1 ، وهو المسؤول عن تحويل التروبينون إلى التروبين عن طريق اختزال التروبينون (TRI). يتفاعل التروبين وحامض التروبيك ( الذي يشتق من فينيل ألانين) لإنتاج الليتورين الذي يؤدي إلى مركب الهيوسيامين في التفاعلات التي تتضمن عدة إنزيمات والتي تكون غير محددة (Facchini, 2006).

كما بين الشكل 7، وجود حزمة ذات وزن جزيئي 500 bp في الجذور والاوراق تمثل الجين H6H الذي يكون مسؤول عن تخليق السكوبولامين، اذ يحدث التحول الهام النهائي مع تكوين الإيبوكسيد داخل الجزيء بواسطة *hyoscyamine 6β-hydroxylase (H6H)* ليتكون مركب السكوبولامين، اذ يعتبر إنزيم ثنائي الوظيفة ، فيحول الهيوسيامين الى مركب سكوبولامين (Kramer, 2009).



شكل 7: ترحيل نواتج تفاعل PCR لبوادي ثلاث جينات PMT , TR1 , H6H مع معاملة مقارنة (N.C) بدون اضافة DNA الى بقية المكونات المطلوبة لتفاعل البلمرة المتسلسل. بالاضافة الى احجام سلم الحامض النووي (DNA ladder) مثبتة على الجانب الايسر من الشكل.

2-4- تأثير الفسفور والرش بالمغنيسيوم النانوي وتداخلهما في التعبير النسبي لجينات PMT و TR1 و H6H في جذور واوراق الداتورة عند مرحلتى 7-8 ورقة و الازهار.

4-2-1- تأثير الفسفور والرش بالمغنيسيوم النانوي وتداخلهما في التعبير النسبي لجينات PMT و TR1 و H6H في جذور الداتورة عند مرحلتى 7-8 ورقة و الازهار.

ضخمت جينات PMT و TR1 و H6H باستعمال تقنية RT-qPCR من اجل دراسة تعبيرها النسبي في جذور الداتورة تحت تأثير السماد الفوسفاتي والرش بالمغنيسيوم النانوي وتداخلهما، اذ كشفت نتائج جدول تحليل التباين (ملحق 1)، وجود فروقا معنوية بين معاملات الفسفور بقيم عتبة الدورة (CT) والتعبير النسبي لجين PMT و TR1 في جذور الداتورة عند

8-7 ورقة، إذ بينت نتائج جدول 17 و 18، أن زيادة الفسفور سببت زيادة معنوية في قيم CT لجين PMT و TR1 إذ أعطت المعاملة 75 كغم P هـ<sup>1</sup> متوسطين بلغا 34.05 و 32.08 دورة مقارنة بمعاملة عدم الأضافة التي أعطت 33.03 و 31.02 دورة، وهذا قد يؤدي إلى أن يكون التعبير الجيني عند المعاملة 75 كغم P هـ<sup>1</sup> أقل مما هو عليه في معاملة عدم الأضافة، وهذا ما أكدته حسابات التعبير الجيني النسبي إذ انخفض التعبير النسبي لجين PMT و TR1، في جذور الداتورة عند مرحلة 8-7 ورقة بمقدار 0.51 و 0.50 مرة عن معاملة عدم التسميد، كذلك يتضح عدم وجود فروق معنوية بين معاملي 50 و 75 كغم P هـ<sup>1</sup> بقيم التعبير النسبي لهذين الجينين، وربما يعزى سبب انخفاض التعبير النسبي لجين PMT و TR1 لتأثير مستويات التسميد العالية بعوامل النسخ، إذ تلعب عوامل النسخ دوراً مهماً في زيادة أو تثبيط التعبير الجيني (Wang وآخرون، 2016). كذلك وفقاً Pyne وآخرون (2019) فإن القلويدات هي منتجات لعمليات الأيض الثانوي لذا يتم إنتاجها تحت ظروف الأجهادات البيئية إذ أنها تساعد النبات على التكيف مع محيطه الخارجي، لذلك فإن عمليات الأيض الثانوي ممكن أن تبدأ نظراً لنقصان المغذيات، إذ تتحسس الخلايا هذه المؤشرات بواسطة جزيئات حساسة على سطوحها لتعطي إشارات إلى تغيير عمليات الأيض داخل الخلايا من خلال تغيير التعبير الجيني لبعض الجينات، لذا فإن زيادة مستويات الفسفور ربما تعمل على تقليل الإشارات اللازمة لعمل جين PMT و TR1، وبالتالي استمرار النبات ببناء المادة الخلوية على حساب المنتجات الثانوية.

كما كشفت نتائج جدول تحليل التباين (ملحق 1)، عدم وجود تأثيراً معنوياً لمعاملات رش المغنيسيوم الثانوي وكذلك عدم وجود تأثيراً معنوياً لتداخل الأضافة الفسفور و رش المغنيسيوم الثانوي في عتبة الدورة (CT) والتعبير النسبي لجين PMT و TR1 في جذور الداتورة عند مرحلة 8-7 ورقة.

كذلك بين ملحق تحليل التباين (ملحق 1) ونتائج جدول 19، عدم وجود تأثيراً معنوياً لأضافة الفسفور والرش بالمغنيسيوم الثانوي وتداخلهما في عتبة الدورة و التعبير النسبي لجين H6H في جذور الداتورة عند مرحلة 8-7 ورقة.

جدول 17 : تأثير معاملات اضافة الفسفور والرش بالمغثيسيوم النانوي في عتبة الدورة (CT) والتعبير النسبي لجين PMT في جذور الداتورة عند مرحلة 7-8 ورقة.

التعبير النسبي	$\Delta\Delta$ CT of PMT gene	$\Delta$ CT of PMT gene	CT of PMT gene	CT Actin gene	الفسفور (كم P هـ <sup>-1</sup> )
1.00	0.01	15.47	33.03	17.56	0
0.87	0.28	15.74	33.28	17.53	25
0.51	1.04	16.50	33.94	17.44	50
0.51	1.02	16.49	34.05	17.57	75
0.133	-----	-----	0.355	-----	ا.ف.م 0.05
التعبير النسبي	$\Delta\Delta$ CT of PMT gene	$\Delta$ CT of PMT gene	CT of PMT gene	CT Actin gene	المغثيسيوم النانوي (ملغم Mg لتر <sup>-1</sup> )
0.72	0.58	16.04	33.65	17.60	0
0.72	0.58	16.05	33.70	17.65	60
0.72	0.58	16.04	33.50	17.46	120
0.72	0.61	16.07	33.46	17.39	180
ا.م	-----	-----	ا.م	-----	ا.ف.م 0.05
التعبير النسبي	$\Delta\Delta$ CT of PMT gene	$\Delta$ CT of PMT gene	CT of PMT gene	CT Actin gene	تداخل الفسفور مع المغثيسيوم النانوي
1.00	0.00	15.46	33.16	17.69	0
0.99	0.02	15.48	33.19	17.71	60
1.01	-0.01	15.45	32.77	17.31	120
0.98	0.03	15.49	33.02	17.53	180
0.88	0.26	15.73	33.24	17.51	0
0.89	0.24	15.71	33.29	17.58	60
0.85	0.27	15.73	33.17	17.44	120
0.87	0.34	15.80	33.40	17.60	180
0.51	1.03	16.50	34.15	17.65	0
0.51	1.04	16.51	33.95	17.44	60
0.52	1.03	16.49	34.07	17.57	120
0.51	1.05	16.51	33.60	17.09	180
0.51	1.02	16.48	34.03	17.55	0
0.51	1.04	16.50	34.39	17.89	60
0.52	1.02	16.49	33.98	17.49	120
0.52	1.02	16.48	33.81	17.33	180
ا.م	-----	-----	ا.م	-----	ا.ف.م 0.05



جدول 18 : تأثير معاملات اضافة القسفور والرش بالمغنيسيوم النانوي في عتبة الدورة (CT) والتعبير النسبي لجين TRI في جذور الداتورة عند مرحلة 7-8 ورقة.

التعبير النسبي	$\Delta\Delta$ CT of PMT gene	$\Delta$ CT of PMT gene	CT of PMT gene	CT Actin gene	القسفور (كم P هـ <sup>1</sup> )
1.03	0.01-	13.46	31.02	17.56	0
0.86	0.30	13.77	31.30	17.53	25
0.50	1.07	14.54	31.97	17.44	50
0.50	1.05	14.52	32.08	17.57	75
0.136	-----	-----	0.306	-----	ا.ف.م 0.05
التعبير النسبي	$\Delta\Delta$ CT of PMT gene	$\Delta$ CT of PMT gene	CT of PMT gene	CT Actin gene	المغنيسيوم النانوي (ملغم Mg لتر <sup>1</sup> )
0.71	0.60	14.07	31.67	17.60	0
0.73	0.59	14.06	31.71	17.65	60
0.71	0.60	14.07	31.53	17.46	120
0.74	0.62	14.09	31.47	17.39	180
غ.م	-----	-----	غ.م	-----	ا.ف.م 0.05
التعبير النسبي	$\Delta\Delta$ CT of PMT gene	$\Delta$ CT of PMT gene	CT of PMT gene	CT Actin gene	تناخل القسفور مع المغنيسيوم النانوي
1.00	0.00	13.47	31.16	17.69	0
1.04	0.06-	13.41	31.12	17.71	60
1.00	0.00	13.47	30.79	17.31	120
1.08	0.02	13.49	31.01	17.53	180
0.86	0.30	13.77	31.28	17.51	0
0.87	0.27	13.74	31.31	17.58	60
0.84	0.29	13.76	31.20	17.44	120
0.86	0.35	13.82	31.41	17.60	180
0.49	1.06	14.53	32.18	17.65	0
0.50	1.08	14.55	31.98	17.44	60
0.51	1.06	14.53	32.10	17.57	120
0.51	1.07	14.54	31.63	17.09	180
0.50	1.04	14.51	32.06	17.55	0
0.50	1.07	14.54	32.42	17.89	60
0.51	1.04	14.51	32.01	17.49	120
0.51	1.04	14.51	31.84	17.33	180
غ.م	-----	-----	غ.م		ا.ف.م 0.05

جدول 19: تأثير معاملات اضافة الفسفور والرش بالمغنيسيوم الناتوي في عتبة الدورة (CT) والتعبير النسبي لجين H6H في جذور الداتورة عند مرحلة 7-8 ورقة.

التعبير النسبي	$\Delta\Delta$ CT of PMT gene	$\Delta$ CT of PMT gene	CT of PMT gene	CT Actin gene	الفسفور (كغم P هـ <sup>-1</sup> )
1.04	0.05-	17.98	35.54	17.56	0
1.02	0.02-	18.01	35.54	17.53	25
1.01	0.00	18.03	35.47	17.44	50
1.03	0.04-	17.99	35.55	17.57	75
م.غ م	-----	-----	م.غ م	-----	ا.ف.م 0.05
التعبير النسبي	$\Delta\Delta$ CT of PMT gene	$\Delta$ CT of PMT gene	CT of PMT gene	CT Actin gene	المغنيسيوم الناتوي (ملغم Mg لتر <sup>-1</sup> )
1.05	0.07-	17.96	35.56	17.60	0
1.03	0.02-	18.00	35.66	17.65	60
1.00	0.00	18.03	35.48	17.46	120
1.02	0.02-	18.01	35.40	17.39	180
م.غ م	-----	-----	م.غ م	-----	ا.ف.م 0.05
التعبير النسبي	$\Delta\Delta$ CT of PMT gene	$\Delta$ CT of PMT gene	CT of PMT gene	CT Actin gene	تناخل الفسفور مع المغنيسيوم الناتوي
1.00	0.00	18.03	35.72	17.69	0
1.07	0.10-	17.92	35.63	17.71	60
1.01	0.01-	18.02	35.33	17.31	120
1.07	0.09-	17.93	35.46	17.53	180
1.10	0.14-	17.89	35.40	17.51	0
1.00	0.00	18.02	35.60	17.58	60
0.99	0.02	18.05	35.49	17.44	120
0.99	0.05	18.07	35.67	17.60	180
1.03	0.04-	17.99	35.64	17.65	0
1.01	0.03	18.06	35.50	17.44	60
0.99	0.03	18.05	35.63	17.57	120
1.01	0.01-	18.02	35.11	17.09	180
1.07	0.09-	17.93	35.48	17.55	0
1.01	0.02-	18.01	35.89	17.89	60
1.02	0.03-	18.00	35.49	17.49	120
1.01	0.01-	18.02	35.35	17.33	180
م.غ م	-----	-----	م.غ م	-----	ا.ف.م 0.05

كشفت نتائج جدول تحليل التباين (ملحق 1)، وجود فروقا معنوية بين معاملات القسور بقيم عتبة الدورة (CT) والتعبير النسبي لجينات PMT و TR1 و H6H في جذور الداتورة عند مرحلة الازهار.

اذ بينت نتائج جدول 20 و 21 و 22 ، ان زيادة القسور سببت زيادة معنوية في قيم CT لجينات PMT و TR1 و H6H اذ اعطت المعاملة 75 كغم P هـ<sup>1</sup> متوسطات بلغت 37.08 و 36.11 و 35.13 دورة مقارنة بمعاملة عدم الاضافة التي اعطت 35.54 و 34.66 و 33.75 دورة، وهذا قد يسبب انخفاضاً معنوياً في التعبير الجيني عند المعاملة 75 كغم P هـ<sup>1</sup> اعلى مما هو عليه في معاملة عدم الاضافة، وهذا ما اكدته حسابات التعبير الجيني النسبي اذ انخفض بمقدار 0.36 و 0.38 و 0.35 مرة عن معاملة عدم التسميد، بينما لم يلاحظ وجود اختلافات معنوية بين معاملة 50 و 75 كغم P هـ<sup>1</sup> في قيمة التعبير النسبي، ربما يعزى سبب انخفاض التعبير النسبي لتأثير المغذيات (الفسفور) بشكل غير مباشر في عملية التعبير الجيني من خلال التغييرات في الاشارات الهرمونية والمحفزات لتغيير النشاط الحيوي، اذ ان ازدياد مستويات المغذيات تعمل على استمرار مسارات التمثيل الغذائي، بينما انخفاضها يعمل على تعديل مسارات الايض الثانوي وازدياد منتجاته فقد تعمل بعض انزيمات الايض الانتقالية ف النواة على تعديل نسخ الجينات استجابة للتغيرات في النبات (Li واخرون، 2021).

كما كشفت نتائج جدول تحليل التباين (ملحق 1)، عدم وجود تأثيراً معنوياً لرش المغنيسيوم النانوي وكذلك عدم وجود تأثيراً معنوياً لتداخل اضافة القسور و رش المغنيسيوم النانوي في عتبة الدورة (CT) والتعبير النسبي لجين PMT و TR1 و H6H في جذور الداتورة عند مرحلة الازهار.

جدول 20: تأثير معاملات اضافة القسفور والرش بالمغنيسيوم النانوي في عتبة الدورة (CT) والتعبير النسبي لجين PMT في جذور الداتورة عند مرحلة الازهار.

التعبير النسبي	$\Delta\Delta$ CT of PMT gene	$\Delta$ CT of PMT gene	CT of PMT gene	CT Actin gene	القسفور (كم P هـ <sup>1</sup> )
1.04	0.05-	17.98	35.54	17.56	0
0.61	0.72	18.74	36.28	17.53	25
0.35	1.51	19.53	36.97	17.44	50
0.36	1.49	19.51	37.08	17.57	75
0.031	-----	-----	0.244	-----	ا.ف.م 0.05
التعبير النسبي	$\Delta\Delta$ CT of PMT gene	$\Delta$ CT of PMT gene	CT of PMT gene	CT Actin gene	المغنيسيوم النانوي (ملغم Mg لتر <sup>1</sup> )
0.58	0.93	18.96	36.56	17.60	0
0.60	0.91	18.94	36.59	17.65	60
0.58	0.92	18.95	36.41	17.46	120
0.60	0.90	18.92	36.31	17.39	180
غ.م	-----	-----	غ.م	-----	ا.ف.م 0.05
التعبير النسبي	$\Delta\Delta$ CT of PMT gene	$\Delta$ CT of PMT gene	CT of PMT gene	CT Actin gene	تناخل القسفور مع المغنيسيوم النانوي
1.00	0.00	18.03	35.72	17.69	0
1.07	0.10-	17.92	35.63	17.71	60
1.01	0.01-	18.02	35.33	17.31	120
1.07	0.09-	17.93	35.46	17.53	180
0.60	0.73	18.76	36.27	17.51	0
0.62	0.72	18.74	36.32	17.58	60
0.61	0.72	18.75	36.19	17.44	120
0.62	0.70	18.73	36.32	17.60	180
0.35	1.51	19.53	37.18	17.65	0
0.35	1.53	19.55	36.99	17.44	60
0.36	1.49	19.52	37.09	17.57	120
0.35	1.50	19.53	36.62	17.09	180
0.36	1.49	19.51	37.06	17.55	0
0.36	1.50	19.52	37.41	17.89	60
0.36	1.49	19.52	37.01	17.49	120
0.36	1.48	19.50	36.83	17.33	180
غ.م	-----	-----	غ.م	-----	ا.ف.م 0.05

جدول 21: تأثير معاملات اضافة القسفور والرش بالمغنيسيوم النانوي في عتبة الدورة (CT) والتعبير النسبي لجين TRI في جذور الداتورة عند مرحلة الازهار.

التعبير النسبي	$\Delta\Delta$ CT of PMT gene	$\Delta$ CT of PMT gene	CT of PMT gene	CT Actin gene	القسفور (كم P هـ <sup>1</sup> )
1.04	0.06-	17.10	34.66	17.56	0
0.66	0.61	17.77	35.30	17.53	25
0.38	1.41	18.57	36.01	17.44	50
0.38	1.39	18.55	36.11	17.57	75
0.044	-----	-----	0.254	-----	ا.ف.م 0.05
التعبير النسبي	$\Delta\Delta$ CT of PMT gene	$\Delta$ CT of PMT gene	CT of PMT gene	CT Actin gene	المغنيسيوم النانوي (ملغم Mg لتر <sup>1</sup> )
0.60	0.85	18.01	35.61	17.60	0
0.61	0.86	18.01	35.66	17.65	60
0.62	0.83	17.98	35.44	17.46	120
0.62	0.83	17.98	35.37	17.39	180
غ.م	-----	-----	غ.م	-----	ا.ف.م 0.05
التعبير النسبي	$\Delta\Delta$ CT of PMT gene	$\Delta$ CT of PMT gene	CT of PMT gene	CT Actin gene	تناخل القسفور مع المغنيسيوم النانوي
1.00	0.00	17.16	34.85	17.69	0
1.03	0.04-	17.12	34.83	17.71	60
1.08	0.10-	17.05	34.37	17.31	120
1.07	0.09-	17.06	34.59	17.53	180
0.65	0.62	17.78	35.29	17.51	0
0.67	0.61	17.77	35.35	17.58	60
0.66	0.61	17.77	35.21	17.44	120
0.66	0.61	17.76	35.36	17.60	180
0.38	1.42	18.57	36.22	17.65	0
0.37	1.44	18.60	36.03	17.44	60
0.38	1.39	18.55	36.12	17.57	120
0.38	1.41	18.57	35.66	17.09	180
0.39	1.37	18.53	36.08	17.55	0
0.38	1.41	18.56	36.45	17.89	60
0.38	1.41	18.56	36.06	17.49	120
0.39	1.38	18.53	35.86	17.33	180
غ.م	-----	-----	غ.م	-----	ا.ف.م 0.05

جدول 22: تأثير معاملات اضافة الفسفور والرش بالمغنيسيوم الناتوي في عتبة الدورة (CT) والتعبير النسبي لجين H6H في جذور الداتورة عند مرحلة الازهار.

التعبير النسبي	$\Delta\Delta$ CT of PMT gene	$\Delta$ CT of PMT gene	CT of PMT gene	CT Actin gene	الفسفور (كغم P هـ <sup>-1</sup> )
1.03	0.04-	16.01	33.57	17.56	0
0.51	0.96	17.01	34.55	17.53	25
0.35	1.53	17.58	35.01	17.44	50
0.35	1.52	17.57	35.13	17.57	75
0.022	-----	-----	0.215	-----	ا.ف.م 0.05
التعبير النسبي	$\Delta\Delta$ CT of PMT gene	$\Delta$ CT of PMT gene	CT of PMT gene	CT Actin gene	المغنيسيوم الناتوي (ملغم Mg لتر <sup>-1</sup> )
0.55	1.00	17.05	34.66	17.60	0
0.57	0.98	17.03	34.68	17.65	60
0.55	1.00	17.05	34.51	17.46	120
0.57	0.98	17.03	34.41	17.39	180
غ.م	-----	-----	غ.م	-----	ا.ف.م 0.05
التعبير النسبي	$\Delta\Delta$ CT of PMT gene	$\Delta$ CT of PMT gene	CT of PMT gene	CT Actin gene	تناخل الفسفور مع المغنيسيوم الناتوي
1.00	0.00	16.05	33.74	17.69	0
1.06	0.09-	15.96	33.67	17.71	60
1.00	0.00	16.05	33.36	17.31	120
1.06	0.09-	15.96	33.49	17.53	180
0.52	0.94	16.99	34.50	17.51	0
0.51	0.98	17.03	34.60	17.58	60
0.51	0.99	17.04	34.48	17.44	120
0.52	0.96	17.01	34.60	17.60	180
0.34	1.54	17.59	35.24	17.65	0
0.35	1.51	17.56	34.99	17.44	60
0.35	1.52	17.57	35.14	17.57	120
0.35	1.53	17.58	34.67	17.09	180
0.35	1.54	17.59	35.14	17.55	0
0.35	1.52	17.57	35.45	17.89	60
0.35	1.50	17.55	35.05	17.49	120
0.35	1.51	17.56	34.89	17.33	180
غ.م	-----	-----	غ.م	-----	ا.ف.م 0.05

#### 2-2-4- تأثير الفسفور والرش بالمغنيسيوم النانوي وتداخلهما في التعبير النسبي لجينات PMT و TR1 و H6H في اوراق الداتورة عند مرحلة 7-8 ورقة و الازهار.

كشفت نتائج ملحق تحليل التباين (ملحق 2) وجداول 23 و 24 و 25 و 26 عدم وجود تأثيرا معنويا لمعاملات الفسفور والرش بالمغنيسيوم النانوي وتداخلهما في قيم عتبة الدورة (CT) والتعبير النسبي لجينات PMT و TR1 في اوراق الداتورة عند مرحلتي 7-8 ورقة و الازهار، وايضا بينت نتائج جدول 30 عدم وجود تأثيرا معنويا لهذه المعاملات في عتبة الدورة والتعبير النسبي لجين H6H في الاوراق عند مرحلة 7-8 ورقة.

جدول 23: تأثير معاملات اضافة الفسفور والرش بالمغنيسيوم النانوي في عتبة الدورة (CT) والتعبير النسبي لجين PMT في اوراق الداتورة عند مرحلة 7-8 ورقة.

التعبير النسبي	$\Delta\Delta$ CT of PMT gene	$\Delta$ CT of PMT gene	CT of PMT gene	CT Actin gene	الفسفور (كم P هـ <sup>-1</sup> )
1.04	0.05-	19.01	36.57	17.56	0
1.02	0.02-	19.04	36.58	17.53	25
1.01	0.00	19.06	36.49	17.44	50
1.02	0.02-	19.04	36.60	17.57	75
غ.م	-----	-----	غ.م	-----	ا.ف.م 0.05
التعبير النسبي	$\Delta\Delta$ CT of PMT gene	$\Delta$ CT of PMT gene	CT of PMT gene	CT Actin gene	المغنيسيوم النانوي (ملغم Mg لتر <sup>-1</sup> )
1.03	0.04-	19.02	36.62	17.60	0
1.03	0.03-	19.03	36.68	17.65	60
1.00	0.00	19.06	36.52	17.46	120
1.02	0.02-	19.04	36.43	17.39	180
غ.م	-----	-----	غ.م	-----	ا.ف.م 0.05
التعبير النسبي	$\Delta\Delta$ CT of PMT gene	$\Delta$ CT of PMT gene	CT of PMT gene	CT Actin gene	تداخل الفسفور مع المغنيسيوم النانوي
1.00	0.00	19.06	36.75	17.69	0
1.07	0.10-	18.96	36.67	17.71	60
1.00	0.01	19.07	36.38	17.31	120
1.07	0.10-	18.96	36.49	17.53	180
1.10	0.13-	18.93	36.44	17.51	0
1.01	0.01-	19.05	36.63	17.58	60
0.99	0.02	19.08	36.52	17.44	120
0.99	0.06	19.12	36.71	17.60	180
1.03	0.05-	19.01	36.66	17.65	0
1.02	0.03	19.09	36.53	17.44	60
1.00	0.02	19.08	36.65	17.57	120
1.01	0.01-	19.05	36.14	17.09	180
1.00	0.01	19.07	36.62	17.55	0
1.02	0.03-	19.03	36.91	17.89	60
1.03	0.04-	19.02	36.51	17.49	120
1.02	0.02-	19.04	36.37	17.33	180
غ.م	-----	-----	غ.م	-----	ا.ف.م 0.05

جدول 24: تأثير معاملات اضافة الفسفور والرش بالمغنيسيوم النانوي في عتبة الدورة (CT) والتعبير النسبي لجين TR1 في اوراق الداتورة عند مرحلة 7-8 ورقة.

التعبير النسبي	$\Delta\Delta$ CT of PMT gene	$\Delta$ CT of PMT gene	CT of PMT gene	CT Actin gene	الفسفور (كم P هـ <sup>1</sup> )
1.04	0.06-	16.01	33.57	17.56	0
1.02	0.02-	16.05	33.58	17.53	25
1.02	0.01-	16.06	33.50	17.44	50
1.04	0.05-	16.02	33.58	17.57	75
م.غ	-----	-----	م.غ	-----	ا.ف.م 0.05
التعبير النسبي	$\Delta\Delta$ CT of PMT gene	$\Delta$ CT of PMT gene	CT of PMT gene	CT Actin gene	المغنيسيوم النانوي (ملغم Mg لتر <sup>1</sup> )
1.05	0.06-	16.01	33.61	17.60	0
1.03	0.03-	16.04	33.69	17.65	60
1.01	0.01-	16.06	33.51	17.46	120
1.03	0.03-	16.04	33.43	17.39	180
م.غ	-----	-----	م.غ	-----	ا.ف.م 0.05
التعبير النسبي	$\Delta\Delta$ CT of PMT gene	$\Delta$ CT of PMT gene	CT of PMT gene	CT Actin gene	تناخل الفسفور مع المغنيسيوم النانوي
1.00	0.00	16.07	33.76	17.69	0
1.08	0.11-	15.96	33.67	17.71	60
1.01	0.02-	16.05	33.37	17.31	120
1.08	0.11-	15.96	33.49	17.53	180
1.07	0.10-	15.97	33.48	17.51	0
1.02	0.02-	16.05	33.63	17.58	60
1.00	0.00	16.07	33.51	17.44	120
1.00	0.04	16.11	33.71	17.60	180
1.03	0.04-	16.03	33.68	17.65	0
1.02	0.03	16.10	33.53	17.44	60
1.01	0.00	16.07	33.64	17.57	120
1.01	0.02-	16.05	33.14	17.09	180
1.08	0.11-	15.96	33.51	17.55	0
1.02	0.03-	16.04	33.92	17.89	60
1.02	0.03-	16.04	33.53	17.49	120
1.02	0.03-	16.04	33.37	17.33	180
م.غ	-----	-----	م.غ	-----	ا.ف.م 0.05



جدول 25: تأثير معاملات اضافة الفسفور والرش بالمغنيسيوم النانوي في عتبة الدورة (CT) والتعبير النسبي لجين H6H في اوراق الداتورة عند مرحلة 7-8 ورقة.

التعبير النسبي	$\Delta\Delta$ CT of PMT gene	$\Delta$ CT of PMT gene	CT of PMT gene	CT Actin gene	الفسفور (كم P هـ <sup>1</sup> )
1.03	0.04-	15.00	32.57	17.56	0
1.02	0.01-	15.04	32.57	17.53	25
1.00	0.02	15.07	32.50	17.44	50
1.02	0.03-	15.01	32.58	17.57	75
م.غ	-----	-----	م.غ	-----	ا.ف.م 0.05
التعبير النسبي	$\Delta\Delta$ CT of PMT gene	$\Delta$ CT of PMT gene	CT of PMT gene	CT Actin gene	المغنيسيوم النانوي (ملمع Mg لتر <sup>1</sup> )
1.02	0.03-	15.02	32.62	17.60	0
1.01	0.01-	15.04	32.69	17.65	60
1.02	0.02-	15.03	32.48	17.46	120
1.01	0.01-	15.04	32.42	17.39	180
م.غ	-----	-----	م.غ	-----	ا.ف.م 0.05
التعبير النسبي	$\Delta\Delta$ CT of PMT gene	$\Delta$ CT of PMT gene	CT of PMT gene	CT Actin gene	تناخل الفسفور مع المغنيسيوم النانوي
1.00	0.00	15.05	32.74	17.69	0
1.05	0.08-	14.97	32.68	17.71	60
1.00	0.00	15.04	32.36	17.31	120
1.06	0.09-	14.96	32.49	17.53	180
1.02	0.02-	15.02	32.54	17.51	0
0.99	0.01	15.06	32.63	17.58	60
1.06	0.08-	14.97	32.41	17.44	120
0.99	0.06	15.10	32.70	17.60	180
1.01	0.01-	15.03	32.68	17.65	0
1.00	0.04	15.09	32.53	17.44	60
0.98	0.04	15.09	32.66	17.57	120
1.00	0.00	15.05	32.14	17.09	180
1.05	0.07-	14.98	32.53	17.55	0
1.01	0.01-	15.04	32.92	17.89	60
1.02	0.03-	15.02	32.51	17.49	120
1.01	0.02-	15.03	32.36	17.33	180
م.غ	-----	-----	م.غ	-----	ا.ف.م 0.05

جدول 26: تأثير معاملات اضافة الفسفور والرش بالمغنيسيوم النانوي في عتبة الدورة (CT) والتعبير النسبي لجين PMT في اوراق الداتورة عند مرحلة الازهار.

التعبير النسبي	$\Delta\Delta$ CT of PMT gene	$\Delta$ CT of PMT gene	CT of PMT gene	CT Actin gene	الفسفور (كم P هـ <sup>1</sup> )
1.03	0.05-	20.04	37.60	17.56	0
1.02	0.01-	20.07	37.60	17.53	25
1.02	0.00	20.08	37.52	17.44	50
1.01	0.02-	20.07	37.63	17.57	75
م.غ	-----	-----	م.غ	-----	ا.ف.م 0.05
التعبير النسبي	$\Delta\Delta$ CT of PMT gene	$\Delta$ CT of PMT gene	CT of PMT gene	CT Actin gene	المغنيسيوم النانوي (ملغم Mg لتر <sup>1</sup> )
1.03	0.04-	20.04	37.65	17.60	0
1.03	0.03-	20.06	37.71	17.65	60
1.00	0.00	20.09	37.55	17.46	120
1.02	0.01-	20.07	37.46	17.39	180
م.غ	-----	-----	م.غ	-----	ا.ف.م 0.05
التعبير النسبي	$\Delta\Delta$ CT of PMT gene	$\Delta$ CT of PMT gene	CT of PMT gene	CT Actin gene	تناخل الفسفور مع المغنيسيوم النانوي
1.00	0.00	20.09	37.78	17.69	0
1.07	0.10-	19.98	37.69	17.71	60
0.99	0.01	20.10	37.41	17.31	120
1.07	0.09-	20.00	37.52	17.53	180
1.09	0.12-	19.96	37.48	17.51	0
1.01	0.01-	20.07	37.65	17.58	60
0.99	0.02	20.11	37.55	17.44	120
0.99	0.06	20.14	37.74	17.60	180
1.04	0.06-	20.03	37.68	17.65	0
1.02	0.03	20.11	37.55	17.44	60
1.00	0.02	20.10	37.68	17.57	120
1.00	0.00	20.08	37.17	17.09	180
0.99	0.01	20.10	37.65	17.55	0
1.01	0.02-	20.07	37.95	17.89	60
1.03	0.04-	20.05	37.54	17.49	120
1.02	0.02-	20.06	37.39	17.33	180
م.غ	-----	-----	م.غ	-----	ا.ف.م 0.05

جدول 27: تأثير معاملات اضافة الفسفور والرش بالمغنيسيوم الناتوي في عتبة الدورة (CT) والتعبير النسبي لجين TRI في اوراق الداتورة عند مرحلة الازهار.

التعبير النسبي	$\Delta\Delta$ CT of PMT gene	$\Delta$ CT of PMT gene	CT of PMT gene	CT Actin gene	الفسفور (كم P هـ <sup>-1</sup> )
1.05	0.06-	16.24	33.80	17.56	0
1.03	0.03-	16.28	33.81	17.53	25
1.02	0.01-	16.29	33.73	17.44	50
1.03	0.05-	16.26	33.82	17.57	75
م.غ	-----	-----	م.غ	-----	ا.ف.م 0.05
التعبير النسبي	$\Delta\Delta$ CT of PMT gene	$\Delta$ CT of PMT gene	CT of PMT gene	CT Actin gene	المغنيسيوم الناتوي (ملمع Mg لتر <sup>-1</sup> )
1.05	0.07-	16.24	33.84	17.60	0
1.03	0.03-	16.27	33.92	17.65	60
1.01	0.01-	16.29	33.75	17.46	120
1.03	0.03-	16.27	33.66	17.39	180
م.غ	-----	-----	م.غ	-----	ا.ف.م 0.05
التعبير النسبي	$\Delta\Delta$ CT of PMT gene	$\Delta$ CT of PMT gene	CT of PMT gene	CT Actin gene	تناخل الفسفور مع المغنيسيوم الناتوي
1.00	0.00	16.30	34.00	17.69	0
1.08	0.11-	16.19	33.90	17.71	60
1.02	0.03-	16.28	33.59	17.31	120
1.08	0.11-	16.19	33.72	17.53	180
1.08	0.11-	16.19	33.71	17.51	0
1.02	0.02-	16.28	33.86	17.58	60
1.01	0.01-	16.30	33.74	17.44	120
1.00	0.04	16.34	33.94	17.60	180
1.03	-0.05	16.25	33.90	17.65	0
1.02	0.03	16.33	33.77	17.44	60
1.01	0.00	16.30	33.87	17.57	120
1.02	0.02-	16.28	33.37	17.09	180
1.07	0.10-	16.20	33.75	17.55	0
1.02	0.03-	16.27	34.16	17.89	60
1.01	0.01-	16.29	33.78	17.49	120
1.03	0.04-	16.26	33.59	17.33	180
م.غ	-----	-----	م.غ	-----	ا.ف.م 0.05

بينت نتائج جدول 28 ان رش المغنيسيوم النانوي سبب زيادة معنوية في عتبة الدورة لجين H6H في اوراق الداتورة عند مرحلة الازهار، اذ اعطت المعاملة 180 ملغم Mg لتر<sup>-1</sup> اعلى عدد دورات بلغ 30.95 دورة مقارنة بمعاملة عدم الرش التي اعطت عدد دورات 30.66 دورة، ان هذه الزيادة بعدد الدورات نتيجة لزيادة تركيز الرش بالمغنيسيوم النانوي سببت انخفاضاً معنوياً في التعبير النسبي لجين H6H في اوراق الداتورة عند مرحلة الازهار، اذ اعطت المعاملة 180 ملغم Mg لتر<sup>-1</sup> اقل تعبير نسبي بلغ 0.74 مرة من معاملة المقارنة، كذلك بين جدول 31 عدم وجود فروق معنوية بين المعاملات 0 و 60 و 120 ملغم Mg لتر<sup>-1</sup> في قيم التعبير النسبي لجين H6H، ان انخفاض التعبير النسبي عند زيادة مستويات المغنيسيوم النانوي ربما تعزى الى ان المغنيسيوم يحفز من بعض الانزيمات التي تنقل الاشارة للجينات وبالتالي ينخفض او يزداد تعبير وعمل هذه الجينات تبعاً لاحتياج النبات (Li واخرون، 2022).

وضحت نتائج جدول 28 ان اضافة الفسفور سببت انخفاضاً معنوياً في التعبير النسبي لجين H6H في اوراق الداتورة عند مرحلة الازهار، اذ بلغ 0.91 و 0.92 و 0.93 مرة عن معاملة عدم اضافة الفسفور، ان انخفاض التعبير النسبي نتيجة لاضافة الفسفور ربما يعزى لسيطرة الفسفور على عمل الاشارات المحفزة لعمل جين H6H وبالتالي ربما يكون سبب بتحويل اشارة لتثبيط عمل هذا الجين (Shi واخرون، 2022).

كذلك وضحت نتائج جدول 28 وجود تداخلاً معنوياً بين معاملات اضافة الفسفور ومعاملات رش مغنيسيوم النانوي في التعبير النسبي لجين H6H في اوراق الداتورة عند مرحلة الازهار، اذ سبب تداخل معاملة 75 كغم P هـ<sup>-1</sup> مع 120 Mg لتر<sup>-1</sup> انخفاض بلغ 0.61 عن معاملة المقارنة.

جدول 28 : تأثير معاملات اضافة القسفور والرش بالمغنيسيوم النانوي في عتبة الدورة (CT) والتعبير النسبي لجين H6H في اوراق الداتورة عند مرحلة الازهار.

التعبير النسبي	$\Delta\Delta$ CT of PMT gene	$\Delta$ CT of PMT gene	CT of PMT gene	CT Actin gene	القسفور (كم P هـ <sup>1</sup> )
1.03	0.04-	13.03	30.59	17.56	0
0.91	0.17	13.25	30.78	17.53	25
0.92	0.16	13.24	30.68	17.44	50
0.93	0.17	13.24	30.81	17.57	75
0.098	-----	-----	ل.م	-----	ا.ف.م 0.05
التعبير النسبي	$\Delta\Delta$ CT of PMT gene	$\Delta$ CT of PMT gene	CT of PMT gene	CT Actin gene	المغنيسيوم النانوي (ملغم Mg لتر <sup>1</sup> )
1.02	0.02-	13.05	30.66	17.60	0
1.02	0.01-	13.07	30.72	17.65	60
1.01	0.00	13.07	30.53	17.46	120
0.74	0.49	13.57	30.95	17.39	180
0.098	-----	-----	0.238	-----	ا.ف.م 0.05
التعبير النسبي	$\Delta\Delta$ CT of PMT gene	$\Delta$ CT of PMT gene	CT of PMT gene	CT Actin gene	تناخل القسفور مع المغنيسيوم النانوي
1.00	0.00	13.08	30.77	17.69	0
1.07	0.09-	12.98	30.69	17.71	60
1.01	0.01-	13.07	30.38	17.31	120
1.05	0.07-	13.00	30.53	17.53	180
1.01	0.01-	13.07	30.58	17.51	0
0.99	0.02	13.10	30.67	17.58	60
0.99	0.02	13.10	30.54	17.44	120
0.63	0.66	13.74	31.33	17.60	180
1.01	0.01-	13.07	30.72	17.65	0
1.01	0.04	13.12	30.55	17.44	60
0.99	0.03	13.10	30.68	17.57	120
0.67	0.59	13.66	30.75	17.09	180
1.05	0.07-	13.01	30.56	17.55	0
1.01	0.01-	13.07	30.95	17.89	60
1.03	0.05-	13.03	30.52	17.49	120
0.61	0.79	13.87	31.20	17.33	180
0.195	-----	-----	0.476	-----	ا.ف.م 0.05

### 3-4- تأثير الفسفور والرش بالمغنيسيوم النانوي وتداخلهما في بعض صفات النمو الخضري للذاتورة

#### 3-4-1- ارتفاع النبات (سم)

بينت نتائج تحليل التباين (ملحق 2) وجود تأثيرا معنويا لمعاملات اضافة الفسفور في ارتفاع الذاتورة.

اظهرت نتائج جدول 29، ان اضافة الفسفور سببت زيادة معنوية في ارتفاع النبات، اذ اعطت المعاملة 75 كغم P هـ<sup>1</sup> اعلى متوسط لارتفاع النبات بلغ 80.62 سم، متفوقة على معاملة عدم الاضافة التي اعطت اقل متوسط بلغ 52.31 سم، والتي لم تختلف معنويا عن المعاملة 25 و 50 كغم P هـ<sup>1</sup> التي اعطت متوسطات 59.28 و 66.99 سم، ان التفوق بارتفاع النبات بزيادة مستويات السماد الفوسفاتي ربما يعود الى دور الفسفور بتنشيط الانقسام الخلوي من خلال دخوله في تكوين المركبات الغنية بالطاقة (ATP ، CTP ، GTP)، وكذلك دخوله في تركيب الاحماض النووية DNA و RNA والمرافقات الانزيمية وبالتالي تعمل على زيادة النمو وتطور وانقسام الخلايا النباتية (Alinijad، 2020)، بالاضافة الى زيادة نشاط العمليات الحيوية في الخلايا وتنظيم مستوى الهرمونات ودخوله بتكوين مشتقات الأمينات، التي تعمل على تنظيم تكوين حامض الجبريليك (Gibberellic acid) وتجعل النبات اكثر سمكا وذات ارتفاعات مناسبة تمنعها من الرقاد (Izadi، 2022). تتفق هذه النتيجة مع ما توصل اليه Bozhinova (2016) من ان السماد الفوسفاتي يعمل على زيادة ارتفاع النبات في نباتات العائلة الباذنجانية.

يوضح ايضا جدول 29 عدم وجود تأثيرا معنويا لمعاملات الرش بالمغنيسيوم النانوي في ارتفاع النبات، وكذلك عدم وجود تداخلا معنويا بين معاملات اضافة الفسفور ومعاملات رش المغنيسيوم النانوي.

جدول 29: تأثير معاملات اضافة الفسفور والرش بالمغنيسيوم النانوي وتداخلهما في ارتفاع نبات الداتورة (سم)

متوسط المغنيسيوم	الفسفور (كغم P هـ <sup>1</sup> )				المغنيسيوم (ملغم Mg لتر <sup>1</sup> )
	75	50	25	0	
63.07	78.60	65.53	57.62	50.54	0
63.65	79.93	66.41	58.03	50.22	60
65.20	80.53	67.60	59.91	52.77	120
67.27	83.41	68.41	61.55	55.70	180
غ.م	غ.م	غ.م	غ.م	غ.م	أ.م.م 0.05
	80.62	66.99	59.28	52.31	متوسط الفسفور
		12.534			أ.م.م 0.05

#### 4-3-2- عدد الافرع (فرع نبات<sup>1</sup>)

بينت نتائج تحليل التباين (ملحق 2) وجود تأثيرا معنويا لمعاملات اضافة الفسفور في عدد افرع نبات الداتورة.

وضحت نتائج جدول 30، ان اضافة الفسفور سببت زيادة معنوية في عدد افرع نبات الداتورة، اذ اعطت المعاملة 75 كغم P هـ<sup>1</sup> اعلى متوسط لعدد الافرع بلغ 38.59 فرع. نبات<sup>1</sup> متفوقة على معاملة عدم الاضافة التي اعطت متوسط بلغ 12.64 فرع. نبات<sup>1</sup>، بينما اعطت المعاملتين 25 و 50 كغم P هـ<sup>1</sup> متوسطين بلغا 19.84 و 27.62 فرع نبات<sup>1</sup>، بالتتابع، ربما تعزى هذه الزيادة بعدد الافرع الى دور الفسفور في تحسين انتشار المجموع الجذري وبالتالي زيادة امتصاص العناصر الغذائية من مساحة اكبر وتوفير المواد الاولية اللازمة لانقسام الخلايا ونموها وتطورها و بزوغ الافرع ، اضافة لدور الفسفور في تحفيز النبات على انتاج السايٹوكاينينات والتي لها دور مهم في زيادة نمو البراعم الجانبية وبالتالي زيادة عدد التفرعات نتيجة لكسر السيادة القمية . اثت هذه النتيجة متناغمة مع ما توصل اليه (Tuwei 2013) من ان السماد الفوسفاتي يعمل على زيادة عدد افرع النبات في نباتات العائلة الباذنجانية.

جدول 30: تأثير معاملات اضافة الفسفور والرش بالمغنيسيوم النانوي وتداخلهما في عدد افرع الداتورة (فرع نبات<sup>1</sup>)

متوسط المغنيسيوم	الفسفور (كغم P هـ <sup>1</sup> )				المغنيسيوم (ملغم Mg لتر <sup>1</sup> )
	75	50	25	0	
24.64	38.52	27.69	19.95	12.40	0
24.58	38.69	27.37	19.59	12.68	60
24.81	38.77	27.77	19.89	12.83	120
24.65	38.37	27.64	19.92	12.66	180
ع.م		ع.م			أ.م
	38.59	27.62	19.84	12.64	متوسط الفسفور
		6.983			أ.م

اظهرت نتائج جدول 30 ، عدم وجود تأثيرا معنويا لمعاملات الرش بالمغنيسيوم النانوي في عدد افرع نبات الداتورة، وكذلك عدم وجود تأثيرا معنويا لتداخل معاملات اضافة الفسفور ومعاملات رش المغنيسيوم النانوي.

#### 3-3-4- عدد الاوراق (ورقة نبات<sup>1</sup>)

اوضحت نتائج تحليل التباين (ملحق 2) وجود تأثيرا معنويا لمعاملات الفسفور و معاملات رش المغنيسيوم النانوي وتداخلهما في عدد اوراق نبات الداتورة.

بينت نتائج جدول 31، ان اضافة الفسفور سببت زيادة معنوية في عدد الاوراق اذ اعطت المعاملة 75 كغم P هـ<sup>1</sup> اعلى متوسط لعدد الاوراق في نبات الداتورة بلغ 168.18 ورقة نبات<sup>1</sup>، متفوقة على معاملة عدم الاضافة التي اعطت متوسط بلغ 83.30 ورقة نبات<sup>1</sup>، بينما اعطت المعاملتين 25 و 50 كغم P هـ<sup>1</sup> متوسطين بلغا 98.72 و 122.99 ورقة نبات<sup>1</sup>، بالتتابع. وقد يعزى سبب زيادة عدد الاوراق الى دور الفسفور بزيادة عدد الافرع في النبات (جدول 30) مما ينعكس على زيادتها، او ربما لدور الفسفور من خلاله دخوله في تركيب الانزيمات اللازمة لتفاعلات الطاقة في عملية التمثيل الضوئي وكذلك اشتراكه في تمثيل البروتينات النووية مما يعمل على زيادة عدد مثائى الاوراق (Vashaei, 2019). تتفق هذه



النتيجة مع ما توصل اليه Tuwei (2013) من ان السماد الفوسفاتي يعمل على زيادة عدد افرع النبات في نباتات العائلة الباذنجانية

جدول 31: تأثير معاملات اضافة الفسفور والرش بالمغنيسيوم النانوي وتداخلهما في عدد اوراق الداتورة (ورقة نبات<sup>1</sup>)

متوسط المغنيسيوم	الفسفور (كغم P هـ <sup>1</sup> )				المغنيسيوم ( ملغم Mg لتر <sup>1</sup> )
	75	50	25	0	
104.35	132.38	110.70	92.72	81.61	0
107.09	142.91	109.49	94.45	81.52	60
116.55	157.83	124.61	100.27	83.50	120
145.19	239.59	147.14	107.45	86.58	180
35.251	17.626				أ.ف.م
	168.18	122.99	98.72	83.30	متوسط الفسفور
	17.626				أ.ف.م

كما بين جدول 31 ان رش المغنيسيوم النانوي سببت زيادة معنوية في عدد اوراق نبات الداتورة، اذ اعطت المعاملة 180 ملغم Mg لتر<sup>1</sup> اعلى متوسط لعدد الاوراق بلغ 145.19 ورقة نبات<sup>1</sup>، متفوقة على معاملة المقارنة التي اعطت متوسط بلغ 104.35 ورقة نبات<sup>1</sup>، بينما لم تختلف معنويا عن المعاملتين 60 و 120 ملغم Mg لتر<sup>1</sup>، ربما يعزى زيادة عدد الاوراق الى دور المغنيسيوم النانوي في زيادة توفر بكتات المغنيسيوم التي تشترك مع بكتات الكالسيوم في لصق ألياف السليلوز عند بناء جدر الخلايا، وبالتالي زيادة عملية انقسام الخلايا مما يعمل على زيادة عدد الاوراق (Mutisya واخرون، 2014). تتفق هذه النتيجة مع ما توصل اليه Harris واخرون (2018) من ان التغذية بالمغنيسيوم تعمل على زيادة عدد افرع الاوراق في نباتات العائلة الباذنجانية.

اظهرت نتائج جدول 31 وجود تداخلا معنويا بين معاملات الفسفور ومعاملات رش المغنيسيوم النانوي في عدد افرع الداتورة، اذ اعطت المعاملة 180 ملغم Mg لتر<sup>1</sup> متداخلة مع المعاملة 75 كغم P هـ<sup>1</sup> اعلى عدد اوراق لنبات الداتورة بلغ 239.59 ورقة نبات<sup>1</sup>، بينما اعطت

مستويات المغنيسيوم النانوي الأربعة متداخلة مع معاملة عدم اضافة الفسفور اقل المتوسطات لعند الاوراق.

#### 4-3-4- المساحة الورقية (سم<sup>2</sup>)

اوضحت نتائج تحليل التباين (ملحق 2) وجود تأثيرا معنويا لمعاملات اضافة الفسفور ومعاملات رش المغنيسيوم النانوي وتداخلهما في المساحة الورقية لنبات الداتورة.

بينت نتائج جدول 32 ، ان اضافة الفسفور سببت زيادة معنوية في المساحة الورقية لنبات الداتورة، اذ اعطت المعاملة 75 كغم P هـ<sup>1</sup> اعلى متوسط بلغ 2549.96 سم<sup>2</sup> ، بالتتابع، متفوقة على معاملة عدم الاضافة التي اعطت متوسط بلغ 1897.39 سم<sup>2</sup>، والتي لم تختلف معنويا عن المعاملتين 25 و 50 كغم P هـ<sup>1</sup> اذ اعطتا متوسطين بلغا 1942.18 و 1987.62 سم<sup>2</sup> ، يمكن ان يرجع سبب زيادة المساحة الورقية الى دور الفسفور في تكوين الاغشية الخلوية والمساهمة في نقل السكريات وبالتالي توسع الاوراق ، اضافة لزيادة عدد الاوراق في النبات (جدول 31). تتفق هذه النتيجة مع ما توصل اليه Manohar (2012) من ان السماد الفوسفاتي يعمل على زيادة المساحة الورقية في نباتات العائلة الباذنجانية.

اظهرت نتائج جدول 32، ان رش المغنيسيوم النانوي سببت زيادة معنوية في المساحة الورقية لنبات الداتورة، اذ اعطت المعاملة 180 ملغم Mg لتر<sup>1</sup> اعلى متوسط للمساحة الورقية بلغ 2389.62 سم<sup>2</sup>، متفوقة على معاملة المقارنة التي اعطت متوسط بلغ 1971.84 سم<sup>2</sup> ، ربما يعزى هذا التفوق الى زيادة عدد الاوراق في النبات (جدول 31)، او ربما لدخول المغنيسيوم في جزيئة الكلوروفيل مما يعمل على زيادة عملية التمثيل الضوئي مما وفر الطاقة و المواد الممثلة اللازمة لعملية الانقسام و بالتالي توسع الورقة.

اوضحت نتائج جدول 32 وجود تداخلا معنويا بين معاملات اضافة الفسفور ومعاملات رش المغنيسيوم النانوي في المساحة الورقية للداتورة، اذ اعطت المعاملة 180 ملغم Mg لتر<sup>1</sup> متداخلة مع 75 كغم P هـ<sup>1</sup> اعلى مساحة ورقية لنبات الداتورة بلغت 3628.59 سم<sup>2</sup>، بينما اعطت مستويات المغنيسيوم النانوي الأربعة متداخلة مع معاملة عدم اضافة الفسفور اقل المتوسطات للمساحة الورقية.

جدول 32 تأثير معاملات اضافة الفسفور والرش بالمغنيسيوم النانوي وتداخلهما في المساحة الورقية الداتورة (سم<sup>2</sup>)

متوسط المغنيسيوم	الفسفور (كغم P هـ <sup>1</sup> )				المغنيسيوم (ملغم Mg لتر <sup>1</sup> )
	75	50	25	0	
1971.84	2113.38	1952.37	1927.40	1894.22	0
1986.48	2178.52	1956.22	1934.37	1876.82	60
2029.20	2279.34	1985.28	1946.59	1905.58	120
2389.62	3628.59	2056.60	1960.37	1912.94	180
255.722	511.443				ا.ق.م
متوسط الفسفور					1897.39
2549.96					1942.18
255.722					ا.ق.م

4-4- تأثير الفسفور والرش بالمغنيسيوم النانوي وتداخلهما في تركيز كلوروفيل a و b في اوراق الداتورة.

#### 4-4-1- تركيز كلوروفيل a في الاوراق (ملغم غم<sup>1</sup>)

اوضحت نتائج تحليل التباين (ملحق 2) وجود تأثيرا معنويا لمعاملات اضافة الفسفور ومعاملات رش المغنيسيوم النانوي وتداخلهما في تركيز كلوروفيل a في اوراق الداتورة.

بينت نتائج جدول 33، ان اضافة الفسفور سببت زيادة معنوية في تركيز كلوروفيل a في الاوراق، اذ اعطتا المعاملتين 50 و 75 كغم P هـ<sup>1</sup> اعلى متوسطين بلغا 24.59 و 32.27 ملغم غم<sup>1</sup>، بالتتابع، متفوقة على معاملة عدم الاضافة التي اعطت متوسط بلغ 12.85 ملغم غم<sup>1</sup>، بينما اعطت المعاملة 25 كغم P هـ<sup>1</sup> متوسطا بلغ 19.54 ملغم غم<sup>1</sup>، يمكن ان يعزى سبب زيادة تركيز كلوروفيل a الى ان السماد الفوسفاتي سبب زيادة في مساحة الاوراق (جدول 32) وبالتالي استلام اكبر قدر ممكن من اشعة الشمس مؤدية الى زيادة عملية البناء الضوئي وبالتالي زيادة تراكم الكلوروفيل في النبات، اضافة لدور الفسفور الذي يعمل على تنشيط بعض الانزيمات المسؤولة عن بناء الكلوروفيل (Manohar وآخرون، 2012). تتفق هذه النتيجة مع ما توصل

اليه ، AlBauome, Helaly (2020) من ان السماد الفوسفاتي يعمل على زيادة محتوى كلوروفيل النبات في نباتات العائلة الباذنجانية.

كما بين جدول 33 ان رش المغنيسيوم النانوي سبب زيادة معنوية في تركيز كلوروفيل a في الاوراق، اذ اعطت المعاملة 180 ملغم Mg لتر<sup>-1</sup> اعلى متوسط لكلوروفيل a بلغ 29.58 ملغم غم<sup>-1</sup>، متفوقة على معاملة المقارنة التي اعطت متوسط بلغ 16.85 ملغم غم<sup>-1</sup>، بينما اعطت المعاملتين 60 و 120 ملغم Mg لتر<sup>-1</sup> متوسطين بلغا 19.00 و 23.82 ملغم غم<sup>-1</sup>، ربما يعزى هذا التفوق لكون عنصر المغنيسيوم جزء اساسي لتكوين الكلوروفيل وبالتالي زيادة توفره تعمل على زيادة تكون الكلوروفيل a. تتفق هذه النتيجة مع ما توصل اليه Gokul وآخرون (2021). من ان رش المغنيسيوم يعمل على زيادة محتوى كلوروفيل النبات في نباتات العائلة الباذنجانية.

اظهرت نتائج جدول 33 وجود تداخلا معنويا بين معاملات اضافة الفسفور ومعاملات رش المغنيسيوم النانوي في تركيز كلوروفيل a في الاوراق، اذ اعطت التوليفة 75 كغم P هـ<sup>1</sup> متداخلة مع المعاملتين 120 و 180 ملغم Mg لتر<sup>-1</sup> اعلى تركيزا لكلوروفيل a في الاوراق بلغا 34.47 و 46.28 ملغم غم<sup>-1</sup>، بينما اعطت مستويات المغنيسيوم النانوي الاربعة متداخلة مع معاملة عدم اضافة الفسفور اقل المتوسطات لتركيز كلوروفيل a في اوراق الداتورة.

جدول 33: تأثير معاملات اضافة الفسفور والرش بالمغنيسيوم النانوي وتداخلهما في تركيز كلوروفيل a في اوراق الداتورة (ملغم غم<sup>-1</sup>)

متوسط المغنيسيوم	الفسفور (كغم P هـ <sup>-1</sup> )				المغنيسيوم (ملغم Mg لتر <sup>-1</sup> )
	75	50	25	0	
16.85	20.47	18.76	15.84	12.34	0
19.00	27.85	17.85	17.86	12.45	60
23.82	34.47	27.48	20.36	12.97	120
29.58	46.28	34.28	24.11	13.64	180
3.341	6.683				ا.ق.م
متوسط الفسفور					12.85
32.27					19.54
24.59					12.85
3.341					ا.ق.م

4-4-2- تركيز كلوروفيل b في الاوراق (ملغم غم<sup>-1</sup>)

وضحت نتائج تحليل النيتروجين (ملحق 2) وجود تأثيرا معنويا لمعاملات الفسفور ومعاملات رش المغنيسيوم النانوي وتداخلهما في تركيز كلوروفيل b في اوراق الداتورة.

بينت نتائج جدول 34 ان اضافة الفسفور سببت زيادة معنوية في تركيز كلوروفيل b في اوراق الداتورة، اذ اعطنا المعاملتين 50 و 75 كغم P هـ<sup>1</sup> اعلى متوسطين بلغا 17.42 و 18.71 ملغم غم<sup>-1</sup> بالتتابع ، متفوقة على معاملة عدم الاضافة التي اعطت متوسط بلغ 8.01 ملغم غم<sup>-1</sup>، بينما اعطت المعاملة 25 كغم P هـ<sup>1</sup> متوسط بلغ 11.35 ملغم غم<sup>-1</sup>، يمكن ان يعزى سبب زيادة تركيز كلوروفيل b الى ان السماد الفوسفاتي سبب زيادة في مساحة الاوراق (جدول 32) مما سبب زيادة تراكم الكلوروفيل في النبات (Khan و Nasir، 2012)، او يمكن ان يعزى لدور الفسفور في تطوير المجموع الجذري وبالتالي زيادة امتصاص العناصر الغذائية مما يعمل على زيادة تركيز كلوروفيل b في الاوراق (Manohar وآخرون، 2012). تتفق هذه النتيجة مع ما توصل اليه Helaly و AlBauome (2020) من ان السماد الفوسفاتي يعمل على زيادة محتوى كلوروفيل النبات في نباتات العائلة الباذنجانية.

جدول 34 : تأثير معاملات اضافة الفسفور والرش بالمغنيسيوم النانوي في تركيز كلوروفيل b في اوراق الداتورة (ملغم غم<sup>-1</sup>).

متوسط المغنيسيوم	الفسفور (كغم P هـ <sup>1</sup> )				المغنيسيوم (ملغم Mg لتر <sup>-1</sup> )
	75	50	25	0	
10.31	12.67	11.85	9.17	7.56	0
12.14	15.84	14.84	10.16	7.71	60
14.32	19.64	17.67	11.85	8.13	120
18.72	26.68	25.34	14.22	8.65	180
2.645	5.291				أ.ق.م
	18.71	17.42	11.35	8.01	متوسط الفسفور
	2.645				أ.ق.م

كما بين جدول 34 ان رش المغنيسيوم النانوي سبب زيادة معنوية في تركيز كلوروفيل b في اوراق الداتورة، اذ اعطت المعاملة 180 ملغم Mg لتر<sup>-1</sup> اعلى تركيز لكلوروفيل b بلغ 18.72 ملغم غم<sup>-1</sup>، متفوقة على معاملة المقارنة التي اعطت متوسط بلغ 10.31 ملغم غم<sup>-1</sup>، بينما اعطت المعاملتين 60 و 120 ملغم Mg لتر<sup>-1</sup> متوسطين بلغا 12.14 و 14.32 ملغم غم<sup>-1</sup>، بالتتابع، قد يعزى هذا التفوق لكون عنصر المغنيسيوم جزء اساسي لتكوين الكلوروفيل وبالتالي زيادة توفره تعمل على زيادة تكون الكلوروفيل b، تتفق هذه النتيجة مع ما توصل اليه Gokul وآخرون (2021). من ان رش المغنيسيوم يعمل على زيادة محتوى كلوروفيل النبات في نباتات العائلة الباذنجانية.

اظهرت نتائج جدول 34 وجود تداخلا معنويا بين اضافة الفسفور ورش بالمغنيسيوم النانوي في تركيز كلوروفيل b في اوراق الداتورة، اذ اعطت التوليفة 180 ملغم Mg لتر<sup>-1</sup> متداخلة مع المعاملتين 50 و 75 كغم P هـ<sup>1</sup> اعلى تركيز لكلوروفيل b في اوراق الداتورة بلغا 25.34 و 26.68 ملغم غم<sup>-1</sup> بالتتابع، بينما اعطت مستويات المغنيسيوم الاربعة متداخلة مع معاملة عدم اضافة الفسفور اقل المتوسطات لتركيز كلوروفيل b في اوراق الداتورة.

5-4 تأثير الفسفور والرش بالمغنيسيوم النانوي وتداخلهما في نسبة بعض العناصر الكيمائية في اوراق الداتورة.

#### 4-5-1- نسبة النتروجين في الاوراق (%)

بينت نتائج تحليل التباين (ملحق 2) وجود تأثيرا معنويا لمعاملات اضافة الفسفور والرش بالمغنيسيوم النانوي وتداخلهما في تركيز النتروجين في الاوراق.

اظهرت نتائج جدول 35، ان اضافة الفسفور سببت زيادة معنوية في تركيز النتروجين في اوراق الداتورة، اذ اعطت المعاملتين 50 و 75 كغم P هـ<sup>1</sup> اعلى متوسطين بلغا 3.05 و 3.06 % متفوقة على معاملة عدم الاضافة التي اعطت اقل متوسط بلغ 2.19 %، بينما اعطت المعاملة 25 كغم P هـ<sup>1</sup> تركيزا بلغ 2.70 %، ربما يعود هذا التفوق الى الدور المهم للفسفور في العمليات الحيوية المختلفة وانعكاس ذلك على زيادة كفاءة النباتات ومقدرته على امتصاص النتروجين فارتماح نسبه في الاوراق تسبب زيادة مقدرة النباتات على الاستفادة من النتروجين وزيادة معدل امتصاصه (الزويبي وآخرون، 2000).

اظهرت نتائج جدول 35 ان اضافة المغنيسيوم النانوي سببت زيادة معنوية في تركيز النتروجين بالاوراق اذ اعطت المعاملة 180 ملغم Mg هـ<sup>1</sup> اعلى تركيز بلغ 3.10 % متفوقة على معاملة عدم الاضافة اقل متوسط بلغ 2.53 % ، ربما يعزى هذا التفوق الى ان المغنيسيوم سبب تحسين امتصاص الجذور للعناصر الغذائية ومنها النتروجين وبالتالي زيادة تركيزه في الاوراق ( Campbell و Heenan ، 1981 ).

اظهرت نتائج جدول 35، وجود تداخلا معنويا بين معاملات الفسفور ومعاملات رش المغنيسيوم النانوي في تركيز النتروجين في الاوراق اذ اعطت المعاملة 180 ملغم Mg لتر<sup>1</sup> متداخلة مع المعاملة 75 كغم P هـ<sup>1</sup> اعلى تركيز بلغ 3.64 % بينما اعطت معاملات رش الماء فقط اقل متوسط بلغ 2.03 %.

جدول 35: تأثير معاملات اضافة الفسفور والرش بالمغنيسيوم النانوي وتداخلهما في نسبة النتروجين في اوراق الداتورة (%)

متوسط المغنيسيوم	الفسفور (كغم P هـ <sup>1</sup> )				المغنيسيوم ( ملغم Mg لتر <sup>1</sup> )
	75	50	25	0	
2.53	2.78	2.75	2.55	2.03	0
2.63	2.86	2.87	2.66	2.13	60
2.73	2.95	2.98	2.76	2.25	120
3.10	3.64	3.58	2.84	2.35	180
0.101	0.203				أ.م.
	3.06	3.05	2.70	2.19	متوسط الفسفور
	0.101				أ.م.

#### 4-5-2- نسبة الفسفور في اوراق الداتورة (%)

بينت نتائج تحليل التباين (ملحق 2) وجود تأثيرا معنويا لمعاملات اضافة الفسفور والرش بالمغنيسيوم وتداخلهما في تركيز الفسفور في اوراق الداتورة.

اظهرت نتائج جدول 36، ان اضافة الفسفور سببت زيادة معنوية في تركيز الفسفور في الاوراق اذ اعطت المعاملتين 50 و 75 كغم P هـ<sup>1</sup> اعلى تركيزين بلغا 0.69 و

0.73 % . متفوقة على معاملة عدم الاضافة التي اعطت اقل نسبة بلغت 0.32 % يعود هذا التفوق الى ان الاضافة المباشرة لهذا العنصر يزيد من جاهزيته مما يزيد من امتصاصه من قبل النبات وبالتالي زيادة نسبه في النسجة النبات ( الجبوري وصحن، 2006).

اظهرت نتائج جدول 36، ان اضافة المغنيسيوم النانوي سببت زيادة معنوية في نسبة الفسفور في اوراق الداتورة اذ اعطت المعاملة 180 ملغم  $Mg$  هـ<sup>1</sup> اعلى تركيز بلغ 0.80 % ، متفوقة على معاملة عدم الرش التي اعطت نسبة بلغت 0.43 % ، ربما يعزى هذا التفوق الى دور المغنيسيوم النانوي بتحسين قابلية الجذر على امتصاص العناصر الغذائية ومنها الفسفور (Geng والآخرين، 2021).

اظهرت نتائج جدول 36، وجود تداخلا معنويا بين معاملات الفسفور ومعاملات رش المغنيسيوم النانوي في نسبة الفسفور في الاوراق اذ اعطت المعاملة 180 ملغم  $Mg$  لتر<sup>1</sup> متداخلة مع المعاملة 75 كغم P هـ<sup>1</sup> اعلى متوسط اذ بلغ 1.17 %، بينما اعطت معاملات عدم الاضافة اقل متوسط بلغ 0.26 %.

جدول 36 : تأثير معاملات اضافة الفسفور والرش بالمغنيسيوم النانوي وتداخلهما في نسبة الفسفور في نبات الداتورة (%).

متوسط المغنيسيوم	الفسفور (كغم P هـ <sup>1</sup> )				المغنيسيوم ( ملغم Mg لتر <sup>1</sup> )
	75	50	25	0	
0.43	0.54	0.51	0.41	0.26	0
0.47	0.59	0.53	0.44	0.31	60
0.49	0.62	0.55	0.47	0.33	120
0.80	1.17	1.15	0.50	0.38	180
0.138	0.276				أ.ق.م
	0.73	0.69	0.46	0.32	متوسط الفسفور
	0.138				أ.ق.م



## 4-5-3- نسبة البوتاسيوم في اوراق الداتورة (%)

بينت نتائج تحليل التباين (ملحق 2) وجود تأثيرا معنويا لمعاملات اضافة الفسفور والرش بالمغنيسيوم الناتوي وتداخلهما في نسبة البوتاسيوم في اوراق الداتورة.

اظهرت نتائج جدول 37 ، ان اضافة الفسفور سببت زيادة معنوية في تركيز البوتاسيوم في الاوراق اذ اعطتا المعاملتين 50 و 75 كغم P هـ<sup>1</sup> اعلى نسب بلغت 1.82 و 1.83 %، متفوقة على معاملة عدم الاضافة التي اعطت اقل تركيز بلغ 1.32 % . ربما يعود هذا التفوق الى دور السماد الفوسفاتي بتحسين كفاءة النبات على امتصاص المغذيات ومنها البوتاسيوم من خلال زيادة انتشار المجموع الجذري ومن ثم تراكمه في الاوراق (الجبوري و صحن 2006) ، تتفق هذه النتيجة مع ما توصل اليه Nasir (2009) من ان السماد الفوسفاتي يعمل على زيادة نسبة البوتاسيوم في نباتات العائلة الباذنجانية.

اظهرت نتائج جدول 37، ان اضافة المغنيسيوم الناتوي سببت زيادة معنوية في نسبة البوتاسيوم بالاوراق اذ اعطت المعاملة 180 ملغم Mg هـ<sup>1</sup> اعلى متوسط بلغ 1.94 % متفوقة على معاملة عدم الاضافة التي اعطت متوسط بلغ 1.49 % ، ربما يعزى هذا التفوق الى دور المغنيسيوم بتحسين كفاءة النبات على امتصاص المغذيات، اذ يعمل بطريقة مباشرة او غير مباشرة على تحسين البناء الحيوي للنبات مما يساهم في زيادة امتصاص العناصر الغذائية ومنها البوتاسيوم وايونات اخرى لزيادة التركيز في الاوراق النباتية (Geng واخرون، 2019).

اظهرت نتائج جدول 37 وجود تداخلا معنويا بين معاملات الفسفور ومعاملات رش المغنيسيوم الناتوي في تركيز البوتاسيوم في الاوراق اذ اعطت المعاملة 180 ملغم Mg لتر<sup>1</sup> متداخلة مع المعاملة 75 كغم P هـ<sup>1</sup> اعلى متوسط اذ بلغ 2.33 %، بينما اعطت معاملات عدم الاضافة اقل متوسط بلغ 1.22 %.

جدول 37: تأثير معاملات اضافة الفسفور والرش بالمغنيسيوم النانوي وتداخلهما في نسبة البوتاسيوم في اوراق الداتورة (%)

متوسط المغنيسيوم	الفسفور (كغم P هـ <sup>-1</sup> )				المغنيسيوم ( ملغم Mg لتر <sup>-1</sup> )
	75	50	25	0	
1.49	1.61	1.60	1.54	1.22	0
1.55	1.66	1.67	1.60	1.28	60
1.62	1.73	1.73	1.65	1.35	120
1.94	2.33	2.30	1.71	1.41	180
0.108	0.216				ا.ق.م
متوسط الفسفور					1.32
0.108					ا.ق.م

#### 4-5-4- نسبة المغنيسيوم في اوراق الداتورة (%)

بينت نتائج تحليل التباين (ملحق 2) وجود تأثيرا معنويا لمعاملات اضافة الفسفور والرش بالمغنيسيوم النانوي وتداخلهما في نسبة المغنيسيوم في اوراق الداتورة.

اظهرت نتائج جدول 38، ان اضافة الفسفور سببت زيادة معنوية في نسبة المغنيسيوم في اوراق الداتورة، اذ اعطت المعاملة 75 كغم P هـ<sup>-1</sup> اعلى متوسط بلغ 0.78 %، متفوقة على معاملة عدم الرش التي اعطت اقل متوسط بلغ 0.55 %، ربما يعود هذا التفوق الى دور الفسفور في عمليات تكوين ATP المفيدة في النقل وتكوين المركبات الخلوية التي تحفز من زيادة تراكيز العناصر في النبات (Frei وWang (2011).

اظهرت نتائج جدول 38، ان رش المغنيسيوم النانوي سببت زيادة معنوية في تركيز المغنيسيوم بالاوراق اذ اعطت المعاملة 180 ملغم Mg هـ<sup>-1</sup> اعلى متوسط بلغ 0.94 %، متفوقة على معاملة عدم الاضافة اقل متوسط بلغ 0.50 %، يعزى هذا التفوق الى رش المغنيسيوم النانوي على الاوراق بصورة مباشرة مما ادى الى امتصاصه من قبل الاوراق.

جدول 38: تأثير معاملات اضافة الفسفور والرش بالمغنيسيوم النانوي وتداخلهما في نسبة المغنيسيوم في اوراق الداتورة (%)

متوسط المغنيسيوم	الفسفور (كغم هـ <sup>-1</sup> )				المغنيسيوم (ملغم Mg لتر <sup>-1</sup> )
	75	50	25	0	
0.50	0.57	0.53	0.48	0.44	0
0.56	0.63	0.58	0.53	0.52	60
0.63	0.69	0.66	0.58	0.59	120
0.94	1.24	1.23	0.64	0.65	180
0.131	0.263				ا.ق.م
	0.78	0.75	0.56	0.55	متوسط الفسفور
	0.131				ا.ق.م

اظهرت نتائج جدول 38 وجود تداخلا معنويا بين معاملات الفسفور وومعاملات رش المغنيسيوم النانوي في تركيز المغنيسيوم في الاوراق اذ اعطت المعاملة 180 ملغم Mg لتر<sup>-1</sup> متداخلة مع المعاملة 75 كغم P هـ<sup>-1</sup> اعلى متوسط اذ بلغ 1.24 % بينما اعطت معاملات عدم الاضافة اقل متوسط بلغ 0.44 %.

#### 6-4- حاصل الاوراق (كغم هـ<sup>-1</sup>)

اوضحت نتائج تحليل التباين (ملحق 2) وجود تأثيرا معنويا لمعاملات اضافة الفسفور و رش المغنيسيوم النانوي وتداخلهما في حاصل اوراق الداتورة:

بينت نتائج جدول 39، ان اضافة الفسفور سببت زيادة معنوية في حاصل اوراق الداتورة، اذ اعطت المعاملة 75 كغم P هـ<sup>-1</sup> اعلى متوسط لحاصل اوراق الداتورة بلغ 974.50 كغم هـ<sup>-1</sup>، متفوقة على معاملة عدم الاضافة التي اعطت متوسط بلغ 671.59 كغم هـ<sup>-1</sup>، بينما اعطتا المعاملتين 25 و 50 كغم هـ<sup>-1</sup> متوسطين بلغا 797.80 و 945.76 كغم هـ<sup>-1</sup>، بالتتابع. وربما تعزى زيادة حاصل الاوراق الى زيادة الكمية الممتصة من الفسفور في مراحل النمو المبكرة التي عملت على توفير الاسباب المودية لزيادة عدد الافرع و عدد الاوراق و المساحة

الورقية (الجدول 30 و 31 و 32)، فضلاً عن دور الفسفور غير المباشر في امتصاص النترجين و البوتاسيوم من خلال تطور المجموع الجذري مما يعمل على زيادة النمو الخضري (Bozhinova, 2016). تتفق هذه النتيجة مع ما توصل اليه Nasir (2009) من ان السماد الفوسفاتي يعمل على زيادة حاصل الاوراق في نبات الداتورة.

كما بين جدول 39 ان رش المغنيسيوم النانوي سبب زيادة معنوية في حاصل اوراق الداتورة، اذ اعطت المعاملة 180 ملغم Mg لتر<sup>-1</sup> اعلى متوسط لحاصل الاوراق بلغ 903.09 كغم هـ<sup>-1</sup>، متفوقة على معاملة المقارنة التي اعطت متوسط بلغ 815.21 كغم هـ<sup>-1</sup>، بينما اعطت المعاملتين 60 و 120 ملغم Mg لتر<sup>-1</sup> متوسطين بلغا 822.01 و 849.33 كغم هـ<sup>-1</sup>، بالتتابع، قد يعزى هذا التفوق الى دور المغنيسيوم في زيادة عدد الاوراق والمساحة الورقية (الجدولين 31 ، 32) مما انعكس ايجابا في زيادة حاصل الاوراق.

اظهرت نتائج جدول 39 وجود تداخلا معنويا بين معاملات اضافة الفسفور ورش المغنيسيوم النانوي في حاصل اوراق الداتورة، اذ اعطت التوليفة 180 ملغم Mg لتر<sup>-1</sup> متداخلة مع المعاملتين 50 و 75 كغم P هـ<sup>-1</sup> اعلى حاصلًا للاوراق بلغا 1018.24 و 1088.66 كغم هـ<sup>-1</sup> بالتتابع، بينما اعطت معاملات المغنيسيوم الاربعة متداخلة مع معاملة عدم اضافة الفسفور اقل المتوسطات لحاصل اوراق الداتورة.

جدول 39: تأثير معاملات اضافة الفسفور والرش بالمغنيسيوم النانوي وتداخلهما في حاصل الاوراق في الداتورة (كغم هـ<sup>-1</sup>).

متوسط المغنيسيوم	الفسفور (كغم P هـ <sup>-1</sup> )				المغنيسيوم (ملغم Mg لتر <sup>-1</sup> )
	75	50	25	0	
815.21	910.48	910.57	789.12	650.66	0
822.01	919.29	919.63	789.64	659.48	60
849.33	979.55	934.61	800.58	682.58	120
903.09	1088.66	1018.24	811.85	693.63	180
31.80	63.700				أ.م.م
متوسط الفسفور					671.59
					31.850
					أ.م.م

7-4- تأثير معاملات اضافة الفسفور والرش بالمغنيسيوم الناتوي وتداخلهما في بعض صفات النمو الثمري للداتورة.

#### 7-4-1- عدد الثمار (ثمرة نبات<sup>1</sup>)

وضحت نتائج تحليل التباين (ملحق 2) وجود تأثيرا معنويا لمعاملات اضافة الفسفور في عدد ثمار الداتورة.

بين جدول 40، ان اضافة الفسفور سببت زيادة معنوية في عدد ثمار الداتورة، اذ اعطتا المعاملتين 50 و 75 كغم P هـ<sup>1</sup> اعلى متوسطين لعدد الثمار بلغا 30.02 و 29.98 ثمرة نبات<sup>1</sup> بالتتابع ، متفوقة على معاملة عدم الاضافة التي اعطت متوسط بلغ 20.83 ثمرة نبات<sup>1</sup> ، يمكن ان تعزى هذه الزيادة الى لتفوق المعاملتين نفسيهما في اعطاء اعلى عدد افرع (جدول 30) مما سبب زيادة عدد البراعم الزهرية وبالتالي زيادة عدد الثمار ، كذلك يمكن ان يعزى لدور الفسفور بزيادة المساحة الورقية وتركيز كلوروفيل a و b (الجدول 32 ، 33 ، 34) مما زاد كمية التمثيل الغذائي المهمة في زيادة البراعم الزهرية وتحفيزها على تكوين الثمار. تتفق هذه النتيجة مع ما توصل اليه Nasir (2009) من ان السماد الفوسفاتي يعمل على زيادة عدد الثمار في نباتات العائلة الباذنجانية.

كما بين جدول 40 عدم وجود تأثيرا معنويا لمعاملات رش المغنيسيوم الناتوي وتداخله مع اضافة الفسفور في عدد ثمار نبات الداتورة.

جدول 40: تأثير معاملات اضافة الفسفور والرش بالمغنيسيوم الناتوي في عدد الثمار في نبات الداتورة (ثمرة نبات<sup>1</sup>).

متوسط المغنيسيوم	الفسفور (كغم P هـ <sup>1</sup> )				المغنيسيوم (ملغم Mg لتر <sup>1</sup> )
	75	50	25	0	
25.21	26.76	26.86	24.65	22.56	0
26.93	29.73	29.75	25.56	22.66	60
26.49	30.01	30.05	24.94	20.94	120
26.56	33.43	33.44	22.23	17.15	180
غ.م	غ.م				أ.م.م
	29.98	30.02	24.35	20.83	متوسط الفسفور
	3.957				أ.م.م

4-7-2- عدد البذور (بذرة نبات<sup>1</sup>)

وضحت نتائج تحليل التباين (ملحق 3) وجود تأثيرا معنويا لمعاملات اضافة الفسفور ورش المغنيسيوم النانوي والتداخل بينهما في عدد بذور الداتورة.

بينت نتائج جدول 41، ان اضافة الفسفور سببت زيادة معنوية في عدد بذور الداتورة، اذ اعطتا المعاملتين 50 و 75 كغم P هـ<sup>1</sup> اعلى متوسطين لعدد البذور بلغا 228.14 و 224.86 بذرة نبات<sup>1</sup> بالتتابع ، متفوقة على معاملة عدم الاضافة التي اعطت متوسط بلغ 163.22 بذرة نبات<sup>1</sup>، بينما اعطت المعاملة 25 كغم P هـ<sup>1</sup> متوسطا بلغ 179.64 بذرة نبات<sup>1</sup>، ويمكن ان يعزى سبب زيادة عدد بذور الداتورة الى ان توفر الفسفور ادى لزيادة النمو وذلك لاهميته في العمليات الحيوية للنبات بالاضافة الى مساهمته في تكوين الاحماض النووية وتكوين بعض المركبات الغنية بالطاقة لانه يلعب دورا مهما واساسيا كركيزة في البلاستيدات الخضراء لتخليق Carstensen ATP واخزون(2018)، وهذا اعطى عدد افرع (جدول30) وعدد ثمار (جدول40) ومن ثم زيادة عدد البذور. تتفق هذه النتيجة مع ما توصل اليه Nasir (2009) من ان السماد الفوسفاتي يعمل على زيادة عدد البذور في نباتات العائلة الباذنجانية.

كما بين جدول 41 ان رش المغنيسيوم النانوي سببت زيادة معنوية في عدد البذور لنبات الداتورة، اذ اعطت المعاملة 180 ملغم Mg لتر<sup>1</sup> اعلى متوسط لعدد البذور بلغ 243.63 بذرة نبات<sup>1</sup> ، متفوقة على معاملة المقارنة التي اعطت متوسط بلغ 174.36 بذرة نبات<sup>1</sup>، بينما اعطت المعاملتين 60 و 120 ملغم Mg لتر<sup>1</sup> متوسطين بلغا 180.09 و 197.78 بذرة نبات<sup>1</sup>، يمكن ان يعزى هذا التفوق الى تفوق المعاملة نفسها باعطاء اعلى عدد ثمار (جدول40) مما سبب زيادة عدد البذور. تتفق هذه النتيجة مع ما توصل اليه Gokul (2019) من ان المغنيسيوم يعمل على زيادة عدد البذور في نباتات العائلة الباذنجانية.

اظهرت نتائج جدول 41 وجود تداخلا معنويا بين معاملات اضافة الفسفور ورش المغنيسيوم النانوي في عدد بذور الداتورة، اذ اعطت التوليفة 180 ملغم Mg لتر<sup>1</sup> متداخلة مع المعاملتين 50 و 75 كغم P هـ<sup>1</sup> اعلى عدد بذور لنبات الداتورة بلغا 288.63 و 330.61 بذرة نبات<sup>1</sup> بالتتابع، بينما اعطى عامل المقارنة للمغنيسيوم متداخلة مع معاملة عدم اضافة الفسفور اقل متوسط بلغ 155.22 بذرة نبات<sup>1</sup>.

جدول 41: تأثير معاملات اضافة الفسفور والرش بالمغنيسيوم النانوي وتداخلهما في عدد البذور لنبات الداتورة (بذرة نبات<sup>1</sup>).

متوسط المغنيسيوم	الفسفور (كغم P هـ <sup>1</sup> )				المغنيسيوم (ملغم Mg لتر <sup>1</sup> )
	75	50	25	0	
174.36	167.47	198.41	176.32	155.22	0
180.09	176.66	206.75	177.48	159.46	60
197.78	224.70	218.75	182.05	165.61	120
243.63	330.61	288.63	182.70	172.60	180
22.378	44.756				ا.ق.م
متوسط الفسفور					163.22
224.86					228.14
179.64					22.378
					ا.ق.م

#### 4-7-3- وزن 1000 بذرة (غم)

اظهرت نتائج تحليل التباين (ملحق 3) وجود تأثيرا معنويا لمعاملات رش المغنيسيوم النانوي وتداخله مع اضافة الفسفور في وزن 1000 بذرة نبات داتورة، بينما لم يكن هناك تأثيرا معنويا لمعاملات اضافة الفسفور.

بين جدول 42 ان رش المغنيسيوم النانوي سببت زيادة معنوية في وزن 1000 بذرة لنبات الداتورة، اذ اعطت المعاملة 180 ملغم Mg لتر<sup>1</sup> اعلى متوسط بلغ 11.62 غم ، متفوقة على معاملة المقارنة التي اعطت متوسط بلغ 8.17 غم، بينما اعطت المعاملتين 60 و 120 ملغم Mg لتر<sup>1</sup> متوسطين بلغا 8.43 و 9.25 غم، يعزى هذا التفوق الى دور المغنيسيوم بزيادة الكلوروفيل a و b (جدول 33 و 34) مما يعمل على زيادة المواد الممتلئة وتراكمها في البذور. تتفق هذه النتيجة مع ما توصل اليه Gokul (2019) من ان السماد الفوسفاتي يعمل على زيادة وزن البذور في نباتات العائلة الباذنجانية.

كما وضع جدول 42 وجود تداخلا معنويا بين معاملات اضافة الفسفور ورش المغنيسيوم النانوي في وزن 1000 بذرة لنبات الداتورة، اذ اعطت التوليفة 180 ملغم Mg لتر<sup>1</sup> متداخلة مع المعاملتين 50 و 75 كغم P هـ<sup>1</sup> اعلى وزن بذور لنبات الداتورة بلغا 11.41 و

14.45غم، بالتتابع، بينما أعطت معاملة المقارنة للمغنيسيوم متداخلة مع معاملة عدم اضافة الفسفور اقل المتوسطات.

جدول 42 : تأثير مستويات الفسفور والرش بالمغنيسيوم الناتوي وتداخلهما في وزن 1000 بذرة لنبات الداتورة (غم).

متوسط المغنيسيوم	الفسفور (كغم هـ <sup>-1</sup> )				المغنيسيوم ( ملغم Mg لتر <sup>-1</sup> )
	75	50	25	0	
8.17	6.63	8.34	8.36	9.36	0
8.43	6.52	8.95	8.71	9.55	60
9.25	9.34	9.14	8.60	9.92	120
11.62	14.45	11.41	10.07	10.57	180
1.074	2.147				أ.م
					متوسط الفسفور
					9.23 9.46 8.94 9.85
					أ.م
					ع.م

#### 4-7-4- حاصل البذور الكلي (كغم هـ<sup>-1</sup>)

وضحت نتائج تحليل التباين (ملحق 3) وجود تأثيرا معنويا لمعاملات اضافة الفسفور ورش المغنيسيوم الناتوي والتداخل بينهما في حاصل بذور الداتورة الكلي.

بينت نتائج جدول 43 ، ان اضافة الفسفور سببت زيادة معنوية في حاصل البذور الكلي، اذ اعطتا المعاملتين 50 و 75 كغم P هـ<sup>-1</sup> اعلى متوسطين لحاصل البذور بلغا 501.36 و 503.49 كغم هـ<sup>-1</sup>، متفوقة على معاملة عدم الاضافة التي اعطت متوسط بلغ 320.29 كغم هـ<sup>-1</sup>، بينما اعطت المعاملة 25 كغم P هـ<sup>-1</sup> متوسطا بلغ 384.12 كغم هـ<sup>-1</sup>، ويمكن ان يعزى هذا التفوق لدور الفسفور بزيادة عدد الافرع (جدول 30) مما سبب زيادة في عدد الثمار (جدول 40)، وكذلك زيادة عدد البذور (الجدول 42) مما انعكس على زيادة حاصل البذور الكلي. تتفق هذه النتيجة مع ما توصل اليه Nasir (2009) من ان السماد الفوسفاتي يعمل على زيادة حاصل البذور الكلي في نباتات العائلة الباذنجانية.



كما بين جدول 43 ان رش المغنيسيوم النانوي سبب زيادة معلوية في حاصل البذور الكلي ، اذ اعطت المعاملة 180 ملغم Mg لتر<sup>-1</sup> اعلى متوسط بلغ 486.17 كغم هـ<sup>-1</sup>، متفوقة على معاملة المقارنة التي اعطت متوسط بلغ 395.49 كغم هـ<sup>-1</sup>، ويمكن ان يعزى هذا التفوق لدور المغنيسيوم النانوي بزيادة عدد البذور و وزن البذور (الجداول 41 و 42) مما انعكس على زيادة حاصل البذور الكلي.

جدول 43: تأثير معاملات اضافة الفسفور والرش بالمغنيسيوم النانوي وتداخلهما في الحاصل الكلي لبذور الداتورة (كغم هـ<sup>-1</sup>).

متوسط المغنيسيوم	الفسفور (كغم P هـ <sup>-1</sup> )				المغنيسيوم ( ملغم Mg لتر <sup>-1</sup> )
	75	50	25	0	
395.49	454.44	451.19	365.92	310.39	0
405.54	469.78	467.06	373.63	311.69	60
422.07	488.85	487.37	387.77	324.29	120
486.17	600.88	599.81	409.15	334.81	180
25.905	51.809				أ.ف.م
503.49					متوسط الفسفور
501.36					أ.ف.م
384.12					أ.ف.م
320.29					أ.ف.م
25.905					أ.ف.م

اظهرت نتائج جدول 43 وجود تداخلا معنويا بين معاملات اضافة الفسفور ورش المغنيسيوم النانوي في حاصل البذور الكلي، اذ اعطت التوليفة 180 ملغم Mg لتر<sup>-1</sup> متداخلة مع المعاملتين 50 و 75 كغم P هـ<sup>-1</sup> اعلى حاصل بذور كلي لنبات الداتورة بلغا 599.81 و 600 كغم هـ<sup>-1</sup> بالتتابع، بينما اعطى عامل المقارنة في المغنيسيوم متداخل مع معاملة عدم اضافة الفسفور اقل المتوسطات لحاصل البذور الكلي بلغ 310.39 كغم هـ<sup>-1</sup>.

8-4- تأثير معاملات اضافة الفسفور والرش بالمغنيسيوم النانوي وتداخلهما في بعض الصفات النوعية للذاتورة.

#### 8-4-1- تركيز الاتروبين في الاوراق (ملغم 100غم<sup>-1</sup>)

وضحت نتائج تحليل التباين (ملحق 3) وجود تأثيرا معنويا لمعاملات اضافة الفسفور ورش المغنيسيوم النانوي وتداخلهما في تركيز الاتروبين في اوراق الذاتورة.

بينت نتائج جدول 44، ان اضافة الفسفور سببت انخفاضا معنوية في تركيز الاتروبين في اوراق الذاتورة، اذ اعطت المعاملة 75 كغم P هـ<sup>-1</sup> اقل متوسط بلغ 22.77 ملغم 100غم<sup>-1</sup>، بينما اعطت معاملة عدم الاضافة متوسط بلغ 48.86 ملغم 100غم<sup>-1</sup>، في حين اعطت المعاملتين 25 و 50 كغم P هـ<sup>-1</sup> متوسطين بلغا 43.48 و 29.57 ملغم 100غم<sup>-1</sup>، بالتتابع، يمكن يعزى هذا الاختزال بتركيز الاتروبين في اوراق الذاتورة الى انخفاض التعبير النسبي لجين PMT في جذور الذاتورة عند مرحلتي 7-8 ورقة والازهار (الجدول 17 و 20)، والذي يكون مسؤولا عن التشفير لانزيم putrescine N-methyl transferase الذي يساعد بانتاج قلويد الاتروبين.

كما بين جدول 44 ان رش المغنيسيوم النانوي سببت انخفاضا معنويا في تركيز الاتروبين في اوراق الذاتورة، اذ اعطت المعاملة 180 ملغم Mg لتر<sup>-1</sup> اقل تركيز الاتروبين في بذور الذاتورة بلغ 29.50 ملغم 100غم<sup>-1</sup>، مقارنة بمعاملة المقارنة التي اعطت 41.43 ملغم 100غم<sup>-1</sup>، بينما اعطت المعاملتين 60 و 120 ملغم Mg لتر<sup>-1</sup> متوسطين بلغا 39.90 و 33.86 ملغم 100غم<sup>-1</sup>، بالتتابع، قد يعزى هذا الانخفاض في تركيز الاتروبين في اوراق الذاتورة الى ان المغذيات تعمل على اختزال عملية الايض النانوي والتي احدى منتجاتها الاتروبين (Pyne واخرون، 2019).

اظهرت نتائج جدول 44 وجود تداخلا معنويا بين معاملات اضافة الفسفور ومعاملات رش المغنيسيوم النانوي في تركيز الاتروبين في اوراق الذاتورة، اذ اعطت التوليفة 180 ملغم Mg لتر<sup>-1</sup> متداخلة مع المعاملتين 50 و 75 كغم P هـ<sup>-1</sup> اقل نسبة تركيز الاتروبين في اوراق الذاتورة بلغتا 19.87 و 10.89 ملغم 100غم<sup>-1</sup>، بالتتابع، بينما اعطت معاملات رش المغنيسيوم النانوي الاربعة متداخلة مع معاملة عدم اضافة الفسفور اعلى المتوسطات.

جدول 44: تأثير معاملات اضافة الفسفور والرش بالمغنيسيوم الناتوي في تركيز الاتروبين في اوراق نبات الداتورة (ملغم 100غم<sup>-1</sup>).

متوسط المغنيسيوم	الفسفور (كغم P هـ <sup>-1</sup> )				المغنيسيوم (ملغم Mg لتر <sup>-1</sup> )
	75	50	25	0	
41.43	33.11	37.62	45.14	49.84	0
39.90	29.53	34.91	45.25	49.92	60
33.86	17.57	25.88	43.00	48.97	120
29.50	10.89	19.87	40.52	46.72	180
4.225	8.450				ا.ق.م
	22.77	29.57	43.48	48.86	متوسط الفسفور
	4.225				ا.ق.م

#### 4-8-2- تركيز الهبوسامين في الاوراق (ملغم 100غم<sup>-1</sup>)

اوضحت نتائج تحليل التباين (ملحق 3) وجود تأثيرا معنويا لمعاملات اضافة الفسفور ورش المغنيسيوم الناتوي في تركيز الهبوسامين في اوراق الداتورة .

بينت نتائج جدول 45 ، ان اضافة الفسفور سببت انخفاضا معنويا في تركيز الهبوسامين في اوراق الداتورة ، اذ اعطت المعاملة 75 كغم P هـ<sup>-1</sup> اقل متوسط لتركيز الهبوسامين في الاوراق بلغ 81.02 ملغم 100غم<sup>-1</sup> ، مقارنة بمعاملة عدم الاضافة التي اعطت متوسط بلغا 129.86 ملغم 100غم<sup>-1</sup> ، بينما اعطت المعاملتين 25 و 50 كغم P هـ<sup>-1</sup> متوسطين بلغا 112.23 و 96.82 ملغم 100غم<sup>-1</sup> بالتتابع، ربما يعزى هذا الاختزال بتركيز الهبوسامين في اوراق الداتورة نتيجة لانخفاض التعبير النسبي لجين TR1 في جذور الداتورة عند مرحلتى 7-8 ورقة والازهار (الجداول 18 و 21)، والذي يكن مسؤولا عن التثفير لانزيم Tropinone reductase الذي يعمل على زيادة انتاج الهبوسامين.

كما بين جدول 45 ان رش المغنيسيوم الناتوي سببت انخفاضا معنويا في تركيز الهبوسامين في اوراق الداتورة، اذ اعطت المعاملة 180 ملغم Mg لتر<sup>-1</sup> اقل تركيز للهوسامين في اوراق الداتورة بلغ 90.25 ملغم 100غم<sup>-1</sup>، مقارنة بمعاملة المقارنة التي اعطت 113.68

ملغم 100.غم<sup>1</sup>، بينما اعطت المعاملتين 60 و 120 ملغم Mg لتر<sup>1</sup> متوسطين بلغا 111.40 و 104.61 ملغم.100 غم<sup>1</sup>، بالتتابع، قد يعزى هذا الاختزال بتركيز الهيوسامين في اوراق الداتورة الى ان زيادة المغنيسيوم ربما تعمل على تقليل من عملية الايض الثانوي (Igamberdiev و Kleczkowski، 2021).

اظهرت نتائج جدول 45 وجود تداخلا معنويا بين معاملات اضافة الفسفور ومعاملات رش المغنيسيوم الثانوي في تركيز الهيوسامين في اوراق الداتورة، اذ اعطت التوليفة 180 ملغم Mg لتر<sup>1</sup> متداخلة مع المعاملتين 50 و 75 كغم P هـ<sup>1</sup> اقل تركيز للهيوسامين في اوراق الداتورة بلغا 78.87 و 48.89 ملغم 100.غم<sup>1</sup>، بالتتابع، بينما اعطت معاملات رش المغنيسيوم الثانوي الاربعة متداخلة مع معاملة عدم اضافة الفسفور اعلى المتوسطات.

جدول 45: تأثير معاملات اضافة الفسفور والرش بالمغنيسيوم الثانوي وتداخلهما في تركيز الهيوسامين في اوراق الداتورة (ملغم 100.غم<sup>1</sup>)

متوسط المغنيسيوم	الفسفور (كغم P هـ <sup>1</sup> )				المغنيسيوم ( ملغم Mg لتر <sup>1</sup> )
	75	50	25	0	
113.68	101.11	107.62	115.14	130.84	0
111.40	94.53	104.91	115.25	130.92	60
104.61	79.57	95.88	113.00	129.97	120
90.25	48.89	78.87	105.52	127.72	180
9.046	18.092				أ.م
متوسط الفسفور					129.86
9.046					أ.م

#### 4-8-3- تركيز السكوبولامين في الاوراق (ملغم غم<sup>1</sup>)

وضحت نتائج تحليل التبائن (ملحق 3) وجود تأثيرا معنويا لمعاملات اضافة الفسفور ومعاملات رش المغنيسيوم الثانوي وتداخلهما في تركيز السكوبولامين في اوراق الداتورة.

بينت نتائج جدول 64، ان اضافة الفسفور سببت انخفاضا معنويا في تركيز السكوبولامين في اوراق الداتورة ، اذ اعطت المعاملة 75 كغم P هـ<sup>1</sup> اقل متوسط لتركيز

السكوبولامين في الاوراق بلغ 68.90 ملغم غم<sup>-1</sup>، مقارنة بمعاملة عدم الاضافة التي اعطت متوسط بلغ 90.18 ملغم. 100 غم<sup>-1</sup>، بينما اعطت المعاملتين 25 و 50 كغم P ه<sup>-1</sup> متوسطين بلغا 85.92 و 80.76 ملغم. 100 غم<sup>-1</sup> بالتتابع، قد يعزى هذا الانخفاض في تركيز السكوبولامين في اوراق الداتورة الى ان الفسفور يعمل على انخفاض التعبير النسبي لجين H6H في جذور واوراق الداتورة عند مرحلة الازهار (الجدولين 22 و 28) والذي يشفر لانزيم Hyoscyamine 6b-hydroxylase والذي يساعد بانتاج قلويد السكوبولامين.

كما بين جدول 46 ان اضافة المغنيسيوم النانوي سببت انخفاضا معنويا في تركيز السكوبولامين لنبات الداتورة، اذ اعطت المعاملة 180 ملغم Mg لتر<sup>-1</sup> اقل متوسط لتركيز السكوبولامين في الاوراق بلغ 71.25 ملغم. 100 غم<sup>-1</sup>، مقارنة بمعاملة المقارنة التي اعطت متوسط بلغ 97.67 ملغم. 100 غم<sup>-1</sup>، في حين اعطت المعاملتين 60 و 120 ملغم Mg لتر<sup>-1</sup> متوسطين بلغا 82.77 و 74.08 ملغم. 100 غم<sup>-1</sup>، بالتتابع، يمكن ان يعزى هذا الانخفاض في تركيز السكوبولامين الى ان الرش بالمغنيسيوم النانوي سبب انخفاضا معنويا في التعبير النسبي لجين H6H في اوراق الداتورة عند مرحلة الازهار (جدول 28) مما يعمل على اختزال انتاج قلويد السكوبولامين.

اظهرت نتائج جدول 46 وجود تداخلا معنويا بين معاملات اضافة الفسفور ورش المغنيسيوم النانوي، اذ اعطت المعاملة 75 كغم P ه<sup>-1</sup> متداخلة مع المعاملة 120 و 180 ملغم Mg لتر<sup>-1</sup> اقل تركيز للسكوبولامين في اوراق نبات الداتورة بلغا 63.93 و 65.86 ملغم. 100 غم<sup>-1</sup> بالتتابع، بينما اعطت معاملة المقارنة للعاملين اعلى متوسط لتركيز السكوبولامين في الاوراق بلغ 114.25 ملغم. 100 غم<sup>-1</sup>.

جدول 46 : تأثير معاملات اضافة الفسفور والرش بالمغنيسيوم النانوي وتداخلهما في تركيز السكوبولامين في اوراق الداتورة (ملغم. 100غم<sup>-1</sup>)

متوسط المغنيسيوم	الفسفور (كغم P هـ <sup>-1</sup> )				المغنيسيوم (ملغم Mg لتر <sup>-1</sup> )
	75	50	25	0	
97.67	74.46	89.52	112.45	114.25	0
82.77	71.34	83.66	85.49	90.58	60
74.08	63.93	76.52	75.39	80.46	120
71.25	65.86	73.34	70.35	75.44	180
6.247	12.494				أ.ق.م
متوسط الفسفور					90.18
6.247					أ.ق.م

#### 4-8-4 - تركيز الاثروبين في البذور (ملغم. 100 غم<sup>-1</sup>)

وضحت نتائج تحليل التباين (ملحق 3) وجود تأثيرا معنويا لمعاملات اضافة الفسفور ومعاملات رش المغنيسيوم النانوي وتداخلهما في تركيز الاثروبين في بذور الداتورة.

بينت نتائج جدول 47 ، ان اضافة الفسفور سببت انخفاضا معنوية في تركيز الاثروبين في بذور الداتورة، اذ اعطت المعاملة 75 كغم P هـ<sup>-1</sup> اقل متوسط بلغ 40.93 ملغم. 100غم<sup>-1</sup> ، بينما اعطت معاملة عدم الاضافة متوسط بلغ 60.12 ملغم. 100غم<sup>-1</sup> ، بينما اعطت المعاملتين 25 و 50 كغم P هـ<sup>-1</sup> متوسطين بلغا 57.28 و 53.84 ملغم. 100غم<sup>-1</sup> ، بالتتابع، قد يعزى هذا الانخفاض بتركيز الاثروبين في بذور الداتورة لدور الفسفور بتقليل تركيز الاثروبين في الاوراق (جدول 43) مما يعمل على تقليل تراكمه في الاوراق . لم تتفق هذه النتيجة مع ما توصل اليه Nasir (2009) من ان السماد الفوسفاتي يعمل على زيادة تركيز اثروبين البذور في نباتات العائلة الباذنجانية.

كما بين جدول 47 ان رش المغنيسيوم النانوي سببت انخفاضا معنويا في تركيز الاثروبين في بذور الداتورة، اذ اعطت المعاملة 180 ملغم Mg لتر<sup>-1</sup> اقل تركيز الاثروبين في بذور الداتورة بلغ 46.25 ملغم. 100غم<sup>-1</sup> ، مقارنة بمعاملة المقارنة التي اعطت 64.61 ملغم

100غم<sup>-1</sup>، بينما اعطت المعاملتين 60 و 120 ملغم Mg لتر<sup>-1</sup> متوسطين بلغا 53.93 و 47.38 ملغم 100غم<sup>-1</sup>، بالتتابع، يمكن ان يعزى هذا الانخفاض الى دور المغنيسيوم النانوي بتقليل تركيز الاتروبيين في الاوراق (جدول 44) وبالتالي قلة تراكمه في البذور.

اظهرت نتائج جدول 47 وجود تداخلا معنويا بين معاملات اضافة الفسفور ومعاملات رش المغنيسيوم النانوي في تركيز الاتروبيين في بذور الداتورة، اذ اعطت التوليفة 120 و 180 ملغم Mg لتر<sup>-1</sup> متداخلة مع المعاملة 75 كغم P هـ<sup>1</sup> اقل نسبة تركيز الاتروبيين في بذور الداتورة بلغتا 34.62 و 38.90 ملغم 100غم<sup>-1</sup>، بالتتابع، بينما اعطت معاملات رش المغنيسيوم النانوي الاربعة متداخلة مع معاملة عدم اضافة الفسفور اعلى المتوسطات.

جدول 47: تأثير معاملات اضافة الفسفور والرش بالمغنيسيوم النانوي وتداخلهما في تركيز الاتروبيين في بذور نبات الداتورة (ملغم 100غم<sup>-1</sup>)

متوسط المغنيسيوم	الفسفور (كغم P هـ <sup>1</sup> )				المغنيسيوم (ملغم Mg لتر <sup>-1</sup> )
	75	50	25	0	
64.61	47.64	59.68	74.97	76.17	0
53.93	42.56	55.77	56.99	60.39	60
47.38	34.62	51.01	50.26	53.64	120
46.25	38.90	48.89	46.90	50.29	180
4.165	8.329				أ.ق.م
	40.93	53.84	57.28	60.12	متوسط الفسفور
	4.165				أ.ق.م

#### 4-8-5- تركيز الهبوسامين في البذور (ملغم 100غم<sup>-1</sup>)

اوضحت نتائج تحليل التباين (ملحق 3) وجود تأثيرا معنويا لمعاملات اضافة الفسفور ورش المغنيسيوم النانوي وتداخلهما في تركيز الهبوسامين في بذور الداتورة .

بينت نتائج جدول 48، ان اضافة الفسفور سببت انخفاضا معنويا في تركيز الهبوسامين في بذور الداتورة، اذ اعطت المعاملة 75 كغم P هـ<sup>1</sup> اقل متوسط لتركيز الهبوسامين في البذور بلغ 65.69 ملغم 100غم<sup>-1</sup>، مقارنة بمعاملة عدم الاضافة التي اعطت متوسط بلغ 124.12

ملغم 100غم<sup>1</sup>، بينما اعطت المعاملتين 25 و 50 كغم P هـ<sup>1</sup> متوسطين بلغا 98.49 و 75.53 ملغم 100غم<sup>1</sup> بالتتابع، يمكن ان يعزى هذا الانخفاض الى دور الفسفور بتقليل انتاج كلويد الهيوسامين في الاوراق (جدول 45) و بالتالي قلة نقله وتراكمه في البذور.

كما بين جدول 48 ان رش المغنيسيوم النانوي سببت انخفاضا معنويا في تركيز الهيوسامين في بذور الداتورة، اذ اعطت المعاملة 120 ملغم Mg لتر<sup>1</sup> اقل تركيز الاتروبيين في بذور الداتورة بلغ 81.75 ملغم 100غم<sup>1</sup>، مقارنة بمعاملة المقارنة التي اعطت 102.33 ملغم 100غم<sup>1</sup>، بينما اعطت المعاملتين 60 و 180 ملغم Mg لتر<sup>1</sup> متوسطين بلغا 97.27 و 82.49 ملغم 100غم<sup>1</sup>، بالتتابع، يمكن ان يعزى هذا الانخفاض بتركيز الهيوسامين في البذور الى دور المغنيسيوم النانوي بتقليل تركيز الهيوسامين في الاوراق (جدول 45).

اظهرت نتائج جدول 48 وجود تداخلا معنويا بين معاملات اضافة الفسفور ومعاملات رش المغنيسيوم النانوي في تركيز الهيوسامين في اوراق الداتورة، اذ اعطت التوليفة 75 كغم P هـ<sup>1</sup> متداخلة مع المعاملتين 120 و 180 ملغم Mg لتر<sup>1</sup> اقل تركيز للهيوسامين في بذور الداتورة بلغا 62.46 و 60.49 ملغم 100غم<sup>1</sup>، بالتتابع، بينما اعطت معاملات رش المغنيسيوم النانوي الاربعة متداخلة مع معاملة عدم اضافة الفسفور اعلى المتوسطات.

**جدول 48: تأثير معاملات اضافة الفسفور والرش بالمغنيسيوم النانوي وتداخلهما في تركيز الهيوسامين في بذور نبات الداتورة ( ملغم 100غم<sup>1</sup> )**

متوسط المغنيسيوم	الفسفور (كغم P هـ <sup>1</sup> )				المغنيسيوم ( ملغم Mg لتر <sup>1</sup> )
	75	50	25	0	
102.33	72.45	80.54	107.69	148.62	0
97.27	67.36	78.50	102.52	140.70	60
81.75	62.46	70.59	90.33	103.62	120
82.49	60.49	72.49	93.43	103.55	180
8.751	17.502				ا.ق.م
متوسط الفسفور					124.12
					65.69
					8.751
					ا.ق.م



4-8-6- تركيز السكوبولامين في البذور (ملغم 100غم<sup>-1</sup>)

وضحت نتائج تحليل التباين (ملحق 3) وجود تأثيرا معنويا لمعاملات اضافة الفسفور ومعاملات رش المغنيسيوم النانوي وتداخلهما في تركيز السكوبولامين في بذور الداتورة.

بينت نتائج جدول 49 ، ان اضافة الفسفور سببت انخفاضا معنويا في تركيز السكوبولامين في بذور الداتورة، اذ اعطت المعاملة 75 كغم P هـ<sup>1</sup> اقل متوسط لتركيز السكوبولامين في بذور الداتورة بلغ 99.79 ملغم 100غم<sup>-1</sup>، بالمقارنة مع معاملة عدم الاضافة التي اعطت متوسط بلغ 164.35 ملغم 100غم<sup>-1</sup>، بينما اعطت المعاملتين 25 و 50 كغم P هـ<sup>1</sup> متوسطين بلغا 144.22 و 128.09 ملغم 100غم<sup>-1</sup> بالتتابع، يمكن ان يعزى هذا الانخفاض الى دور الفسفور بتقليل تركيز السكوبولامين في اوراق الداتورة (جدول 46) وبالتالي قلة تراكمه في البذور.

كما بين جدول 49 ان اضافة المغنيسيوم النانوي سببت انخفاضا معنويا في تركيز السكوبولامين لبذور نبات الداتورة، اذ اعطت المعاملة 180 ملغم Mg لتر<sup>1</sup> اقل متوسط لتركيز السكوبولامين في الاوراق بلغ 121.60 ملغم 100غم<sup>-1</sup>، مقارنة بمعاملة المقارنة التي اعطت متوسط بلغ 161.62 ملغم 100غم<sup>-1</sup>، في حين اعطت المعاملتين 60 و 120 ملغم Mg لتر<sup>1</sup> متوسطين بلغا 130.50 و 122.74 ملغم 100غم<sup>-1</sup> ، بالتتابع. ان هذا الاختزال بتركيز السكوبولامين في بذور الداتورة يكون نتيجة لقلّة تركيزه في الاوراق (جدول 46).

اظهرت نتائج جدول 49 وجود تداخلا معنويا بين معاملات اضافة الفسفور ورش المغنيسيوم النانوي، اذ اعطت المعاملة 75 كغم P هـ<sup>1</sup> متداخلة مع المعاملة 120 و 180 ملغم Mg لتر<sup>1</sup> اقل تركيز للسكوبولامين في بذور نبات الداتورة بلغا 91.55 و 93.45 ملغم 100غم<sup>-1</sup> بالتتابع، بينما اعطت معاملة المقارنة للعاملين اعلى متوسط لتركيز السكوبولامين في الاوراق بلغ 208.61 ملغم 100غم<sup>-1</sup>.

جدول 49: تأثير معاملات اضافة الفسفور والرش بالمغنيسيوم الناتوي وتداخلهما في تركيز السكوبولامين في بذور الداتورة (ملغم 100غم<sup>-1</sup>).

متوسط المغنيسيوم	الفسفور (كغم P هـ <sup>-1</sup> )				المغنيسيوم (ملغم Mg لتر <sup>-1</sup> )
	75	50	25	0	
161.62	111.69	137.51	188.68	208.61	0
130.50	102.49	130.48	134.44	154.59	60
122.74	91.55	122.58	128.28	148.56	120
121.60	93.45	121.80	125.49	145.65	180
12.320	24,641				أ.ق.م
متوسط الفسفور					99.79 128.09 144.22 164.35
12.320					أ.ق.م

#### 9-4- نسبة القلويدات في الاوراق (%).

وضحت نتائج تحليل التباين ( ملحق 3) وجود تأثيرا معنويا لمعاملات اضافة الفسفور ومعاملات رش المغنيسيوم الناتوي وتداخلهما في نسبة القلويدات في اوراق الداتورة .

اظهرت نتائج جدول 50، ان اضافة الفسفور سببت انخفاضا معنويا في نسبة القلويدات في اوراق الداتورة، اذ اعطت المعاملة 75 كغم P هـ<sup>-1</sup> اقل نسبة للقلويدات في الاوراق بلغت 11.06% ، مقارنة بمعاملة عدم الاضافة التي اعطت نسبة بلغت 20.89%، بينما اعطت المعاملتين 25 و 50 كغم P هـ<sup>-1</sup> نسب بلغت 18.39% و 15.61% بالتتابع، يعزى سبب انخفاض نسبة القلويدات في اوراق الداتورة عند زيادة مستويات السماد الفوسفاتي الى ان القلويدات هي منتجات لعمليات الابيض الناتوي والتي تنخفض بازياد توفر المواد الغذائية ، كذلك يمكن ان يعزى الى انخفاض تركيز الاتروبيين والهيسامين والسكوبولامين في الاوراق (جدول 44 و 45 و 46).

كما بين جدول 50 ان رش المغنيسيوم الناتوي سببت انخفاضا معنويا في نسبة القلويدات في اوراق الداتورة، اذ اعطت المعاملة 180 ملغم Mg لتر<sup>-1</sup> اقل نسبة للقلويدات بلغت 12.95%، مقارنة بمعاملة المقارنة التي اعطت نسبة بلغت 19.10%، بينما اعطت المعاملتين

60 و 120 ملغم Mg لتر<sup>1</sup> نسب بلغت 16.63% و 17.27% بالتتابع، ان هذا الانخفاض بنسبة القلويدات قد يكون نتيجة لوجود العلاقة العكسية بين عمليات الابيض الاولى والابيض الثانوي، اذ ان توفر المغذيات يعمل على زيادة عمليات الابيض الاولى وبذلك تنخفض نسبة القلويدات (Kwon وآخرون، 2019)، كذلك يمكن ان يعزى لدور المغنيسيوم الثانوي بتخفيض تركيز الاتروبين و الهبوسامين و السكوبولامين في الاوراق (جدول 44 و 45 و 46).

اظهرت نتائج جدول 50 وجود تداخلا معنويا بين معاملات اضافة الفسفور ومعاملات رش المغنيسيوم الثانوي في نسبة القلويدات في الاوراق، اذ اعطت التوليفة 180 ملغم Mg لتر<sup>1</sup> متداخلة مع المعاملتين 50 و 75 كغم P هـ<sup>1</sup> اقل نسبة قلويدات في اوراق نبات الداتورة بلغت 11.13% و 4.15%، بالتتابع، بينما اعطت معاملات رش المغنيسيوم الثانوي الاربعة متداخلة مع معاملة عدم اضافة الفسفور اعلى المتوسطات لنسبة القلويدات في اوراق الداتورة .

جدول 50 : تأثير معاملات اضافة الفسفور والرش بالمغنيسيوم الثانوي وتداخلهما في نسبة القلويدات في اوراق نبات الداتورة (%).

متوسط المغنيسيوم	الفسفور (كغم P هـ <sup>1</sup> )				المغنيسيوم ( ملغم Mg لتر <sup>1</sup> )
	75	50	25	0	
19.10	15.63	17.42	20.70	22.66	0
16.63	12.07	15.22	18.76	20.47	60
17.27	12.40	18.66	17.77	20.24	120
12.95	4.15	11.13	16.32	20.21	180
1.979	3.957				ا.ق.م
متوسط الفسفور					20.89
1.979					ا.ق.م

## 10-4- نسبة القلويدات في البذور (%)

أوضحت نتائج تحليل النيتروجين (ملحق 3) وجود تأثيراً معنوياً لمعاملات إضافة الفسفور ومعاملات رش المغنيسيوم النانوي وتداخلهما في نسبة القلويدات في بذور الداتورة .

بينت نتائج جدول 51 ، ان إضافة الفسفور سببت انخفاضاً معنوياً في نسبة القلويدات في بذور الداتورة، إذ أعطت المعاملة 75 كغم P هـ<sup>1</sup> أقل نسبة قلويدات في البذور بلغت 11.84% ، منخفضة على معاملة عدم الإضافة التي أعطت نسبة بلغت 20.07%، في حين أعطت المعاملتين 25 و 50 كغم P هـ<sup>1</sup> نسب بلغت 19.24% و 14.71% بالتتابع، يعزى هذا الانخفاض في نسبة القلويدات في البذور نتيجة لانخفاض نسبتها في الأوراق (جدول 50) مما عمل على قلة تراكمها في البذور، إضافة لانخفاض تركيز قلويد الاتروبيين والهيسامين والسكوبولامين في البذور (جداول 47 و 48 و 49).

كما بين جدول 51، ان رش المغنيسيوم النانوي سبب انخفاضاً معنوياً في نسبة القلويدات في بذور الداتورة، إذ أعطت المعاملة 180 ملغم Mg لتر<sup>1</sup> أقل نسبة قلويدات في البذور بلغت 13.07%، مقارنة بمعاملة عدم الرش التي أعطت نسبة بلغت 17.90%، بينما أعطت المعاملتين 60 و 120 نسب بلغت 17.95% و 16.94% بالتتابع، قد يعزى هذا الانخفاض الى اختزال نسبة القلويدات في الأوراق (50) وبالتالي قلة تراكمها في الأوراق، إضافة الى دور المغنيسيوم النانوي بتقليل تركيز قلويد الاتروبيين والهيسامين والسكوبولامين في البذور (جداول 47 و 48 و 49).

أظهرت نتائج جدول 51 وجود تداخلاً معنوياً بين معاملات إضافة الفسفور و رش المغنيسيوم النانوي في نسبة القلويدات في بذور الداتورة، إذ أعطت التوليفة 180 ملغم Mg لتر<sup>1</sup> متداخلة مع المعاملتين 50 و 75 كغم P هـ<sup>1</sup> أقل نسبة قلويدات في بذور الداتورة بلغنا 10.66% و 6.21% بالتتابع، بينما أعطت معاملات رش المغنيسيوم النانوي الأربعة متداخلة مع معاملة عدم إضافة الفسفور أعلى المتوسطات لنسبة القلويدات في بذور الداتورة .

جدول 51 : تأثير معاملات اضافة الفسفور والرش بالمغنيسيوم النانوي وتداخلهما في نسبة القلويدات في بذور الداتورة (%)

متوسط المغنيسيوم	الفسفور (كغم هـ <sup>-1</sup> )				المغنيسيوم (ملغم لتر <sup>-1</sup> )
	75	50	25	0	
17.90	14.41	16.55	19.79	20.87	0
17.95	14.52	16.48	20.03	20.75	60
16.94	12.22	15.14	19.88	20.55	120
13.07	6.21	10.66	17.28	18.12	180
1.229	2.458				ا.ق.م
	11.84	14.71	19.24	20.07	متوسط الفسفور
	1.229				ا.ق.م

#### 11-4- حاصل القلويدات في الاوراق (كغم هـ<sup>-1</sup>)

أوضحت نتائج تحليل النبتين (ملحق 3) وجود تأثيرا معنويا لمعاملات اضافة الفسفور ومعاملات رش المغنيسيوم النانوي والتداخل بينهما في حاصل القلويدات في اوراق الداتورة.

بينت نتائج جدول 52 ، ان اضافة الفسفور بالمستوى 25 و 50 كغم هـ<sup>-1</sup> سبب زيادة معنوية في حاصل القلويدات في الاوراق اذ اعطت متوسطين بلغا 149.10 و 149.12 كغم هـ<sup>-1</sup> مقارنة بمعاملة عدم الاضافة التي اعطت متوسط بلغ 142.63 كغم هـ<sup>-1</sup>، بينما سببت المعاملة 75 كغم هـ<sup>-1</sup> انخفاضاً معنوياً في حاصل قلويدات الاوراق اذ اعطت متوسط بلغ 106.68 كغم هـ<sup>-1</sup>. ان الزيادة في حاصل القلويدات في الاوراق عند المستويين 25 و 50 كغم هـ<sup>-1</sup> قد تكون نتيجة لاعطاء هذين المستويين افضل مقدار لحاصل اوراق وتركيز القلويدات في الاوراق (جدول 39)، اذ ان عند زيادة مستوى الفسفور الى 75 كغم هـ<sup>-1</sup> عمل على انخفاضاً كبيراً في تركيز القلويدات في الاوراق (جدول 50) مما انعكس سلبياً على حاصل القلويدات.

كما بين جدول 52 ان رش المغنيسيوم النانوي سبب زيادة معنوية في حاصل القلويدات في الاوراق، اذ اعطت معاملة عدم الرش و المعاملة 120 ملغم Mg لتر<sup>-1</sup> اعلى حاصل القلويدات في الاوراق اذ اعطيا متوسطين بلغا 152.30 و 152.81 كغم هـ<sup>-1</sup>، بالتتابع، بينما

سببت المعاملتين 60 و 180 ملغم Mg لتر<sup>-1</sup> انخفاضا معنويا في حاصل القلويدات في الاوراق اذ اعطيا متوسطين بلغا 134.14 و 108.27 كغم هـ<sup>-1</sup>. ان الزيادة في حاصل القلويدات عند معاملة المقارنة يعزى الى اختزال حاصل الاوراق (جدول 39) بينما عمل على زيادة تركيز القلويدات في الاوراق (جدول 50)

جدول 52: تأثير معاملات اضافة الفسفور والرش بالمغنيسيوم النانوي وتداخلهما في الحاصل القلويدي في اوراق نبات الداتورة (كغم هـ<sup>-1</sup>)

متوسط المغنيسيوم	الفسفور (كغم P هـ <sup>-1</sup> )				المغنيسيوم ( ملغم Mg لتر <sup>-1</sup> )
	75	50	25	0	
152.30	141.96	158.33	163.16	145.77	0
134.14	111.39	140.46	149.01	135.72	60
152.81	127.67	183.93	151.45	148.19	120
108.27	45.70	113.78	132.77	140.84	180
4.367	8.734				أ.ق.م
	106.68	149.12	149.10	142.63	متوسط الفسفور
	4.367				أ.ق.م

اظهرت نتائج جدول 52 وجود تداخلا معنويا بين معاملات اضافة الفسفور ومعاملات رش المغنيسيوم النانوي في حاصل القلويدات في الاوراق، اذ اعطت المعاملة 120 ملغم Mg لتر<sup>-1</sup> متداخلة مع المعاملة 50 كغم P هـ<sup>-1</sup> اعلى حاصل قلويدات من اوراق الداتورة بلغا 183.93 كغم هـ<sup>-1</sup>. بينما اعطت المعاملة 180 ملغم Mg لتر<sup>-1</sup> متداخلة مع 75 كغم P هـ<sup>-1</sup> اقل متوسط بلغ 45.70 كغم هـ<sup>-1</sup>.

#### 12-4- حاصل القلويدات من البذور (كغم هـ<sup>-1</sup>)

بينت نتائج تحليل التباين (ملحق 3) وجود تأثيرا معنويا لمعاملات اضافة الفسفور ورش المغنيسيوم النانوي وتداخلهما في حاصل القلويدات من بذور الداتورة.

يلاحظ من نتائج جدول 53، ان اضافة الفسفور بالمستوى 25 كغم P هـ<sup>-1</sup> اعطى اعلى حاصل قلويدات من البذور اذ اعطت متوسط بلغ 76.45 كغم هـ<sup>-1</sup>، متفوقة على معاملة عدم

الإضافة التي أعطت متوسط 66.72 كغم هـ<sup>1</sup>، بينما أعطت المعاملتين 50 و 75 كغم P هـ<sup>1</sup> متوسطين بلغا 73.55 و 58.86 كغم هـ<sup>1</sup>، بالتتابع. قد يعزى هذا الارتفاع بحاصل القلويدات من البذور إلى أن مستوى 25 كغم P هـ<sup>1</sup> قد حقق حاصل بذور ملائم (جدول 43) و نسبة قلويدات في البذور ملائمة (جدول 51)، وبالتالي قد حقق أعلى حاصل قلويدات من البذور، بنما عند زيادة مستوى الإضافة إلى 50 و 75 كغم P هـ<sup>1</sup> سيعمل على انخفاض حاصل القلويدات نتيجة لانخفاض نسبة القلويدات في البذور (جدول 51).

كما بين جدول 53 أن رش المغنيسيوم النانوي بالتركيز 60 و 120 ملغم Mg لتر<sup>1</sup> سبب زيادة معنوية في حاصل القلويدات من البذور، إذ أعطتا متوسطين بلغا 71.08 و 78.65 كغم هـ<sup>1</sup>، متفوقة على معاملة عدم الرش التي أعطت متوسط بلغ 67.94 كغم هـ<sup>1</sup>، بينما أعطت المعاملة 180 ملغم Mg لتر<sup>1</sup> أقل متوسط لحاصل القلويدات بلغ 57.92 كغم هـ<sup>1</sup>. إن هذا الازدياد بحاصل القلويدات عند تركيز 60 و 120 ملغم Mg لتر<sup>1</sup> لكونهما حققا حاصل البذور الأمثل (جدول 43) و نسبة قلويدات مثلى في البذور (جدول 51) مما انعكس على زيادة حاصل القلويدات في البذور، في حين أن زيادة المغنيسيوم عن هذا المستوى سيعمل على تخفيض حاصل القلويدات في البذور نتيجة لانخفاض نسبة القلويدات في البذور (جدول 51).

أظهرت نتائج جدول 53 عدم وجود تداخلا معنويا بين معاملات إضافة الفسفور ومعاملات رش المغنيسيوم النانوي في حاصل القلويدات لبذور الداتورة

جدول 53: تأثير معاملات إضافة الفسفور والرش بالمغنيسيوم النانوي في الحاصل القلويدي للبذور في نبات الداتورة (كغم هـ<sup>1</sup>)

متوسط المغنيسيوم	الفسفور (كغم P هـ <sup>1</sup> )				المغنيسيوم (ملغم Mg لتر <sup>1</sup> )
	75	50	25	0	
67.94	64.03	72.60	71.40	63.73	0
71.08	68.20	75.91	74.80	65.39	60
78.65	65.88	81.86	88.79	78.06	120
57.92	37.31	63.81	70.84	59.70	180
8.216	N.S				أ.ق.م
	58.86	73.55	76.45	66.72	متوسط الفسفور
	8.216				أ.ق.م

## 5. الاستنتاجات والمقترحات

### 1-5- الاستنتاجات

من خلال الدراسة الحالية يمكن استنتاج ما هو ات :

- 1- أفضل إنتاج لحاصل نبات الداتورة من الأوراق كان عند مستوى اضافة الفسفور الى التربة (75 كغم P ه<sup>-1</sup>) ورش المغنسيوم النانوي على المجموع الخضري (180 غم Mg لتر<sup>-1</sup>)
- 2- ان المستوى الاعلى من الاضافة للفسفور (75 كغم P ه<sup>-1</sup>) قد حققت اعلى مؤشرات لنمو الداتورة، بينما في المؤشرات الحاصل ومكوناته لم تختلف معنويا عن المستويات المتوسطة (50 كغم P ه<sup>-1</sup>). كما ان التركيز الاعلى للمغنسيوم النانوي (180 غم Mg لتر<sup>-1</sup>) قد حققت اعلى حاصل لبذور الداتورة.
- 3- ان وفرة اضافة الفسفور سببت انخفاضاً في التعبير النسبي لجينات TR1 و PMT و H6H، بينما اقتصر تأثير رش المغنسيوم النانوي على اختزال تعبير جين H6H، وان هذا الانخفاض انعكس على انخفاض تركيز قلويدات الاتروبين والهيوسامين والسكوبولامين في اوراق وبذور الداتورة.
- 4- لوحظ استجابة تعبير جين H6H سواء للفسفور او المغنسيوم النانوي في جذور او اوراق الداتورة خلال مرحلة الازهار فقط، بينما لم يتأثر في مرحلة 7-8 ورقة.
- 5- ان الفضل حاصل للقلويدات من اوراق او بذور الداتورة قد تحقق عند مستويات منخفضة من الفسفور (25 كغم P ه<sup>-1</sup>)، اما رش المغنسيوم النانوي قد حقق اعلى حاصل قلويدات من البذور عند التركيز المنخفض (60 ملغم Mg لتر<sup>-1</sup>)، بينما الفضل حاصل قلويدات من الاوراق فقد تحقق عند عدم رش المغنسيوم النانوي و رشه بتركز 120 ملغم Mg لتر<sup>-1</sup>.



## 2-5- المقترحات

- 1- لزيادة الحاصل الكلي لقلويدات الاتروبين والهيوسامين والمكوبولامين من الاوراق و البذور  
نقترح إضافة السماد الفوسفاتي بمستوى 25 كغم P ه<sup>1</sup> وكذلك رش المغنيسيوم النانوي على  
الاوراق بتركيز 120 ملغم Mg لتر<sup>1</sup> تحت ظروف التجربة الحالية .
- 2- لتحقيق اعلى حاصل بذور دائورة نقترح باضافة السماد الفوسفاتي بمستوى 50 كغم P ه<sup>1</sup>  
وكذلك رش المغنيسيوم النانوي على الاوراق بتركيز 180 ملغم Mg لتر<sup>1</sup> تحت الظروف  
المشابهة للدراسة .
- 3- اجراء المزيد من الدراسات على مراحل نمو الدائورة وتقسيمها ضمن مقياس موحد.
- 4- تنفيذ المزيد من الدراسات على جينات اخرى يعتقد بانها مسؤولة عن بناء الانزيمات اللازمة  
لانتاج وتراكم القلويدات ووفق مراحل نمو مختلفة لنبات الدائورة.
- 5- تفعيل تعاون مشترك بين اختصاصات الصيدلة والكيمياء والزراعة لانشاء نهج واحد متكامل  
للبحث عن المواد الفعالة في الدائورة ودراسة فعاليتها ، وتسجيلها كقيمة مضافة في المنتجات  
الطبية للاستفادة من موادها الفعالة سواء في الاستهلاك المحلي أو للتصدير. وكذلك لاستنباط  
طرق جديدة بعزل وفصل وتنقية المواد الفعالة من نباتات الدائورة.

6- المصادر

6-1- المصادر العربية

الامين ، ناديا عماد وسناريا عباس العلق . 2011. دراسة تأثير مسحوق أوراق نبات الداتورة *Datura L. stramonium* على افراد الجنس *Porcelliosp.* مجلة علوم ذي قار ، 2 (4): 84-90.

الجبوري، كاظم نبلي حسن و احمد كريم صحن. 2006. تأثير الرش ببعض العناصر المغذية في نمو البطاطا ومحتوى الاوراق منها. مجلة العلوم الزراعية العراقية، 37 (6) : 57 - 66.

الخفاجي، زهرة محمود وحسن محمود ابو المعالي. 2013. تفاعلات الكوثرية وتصميم البوادي وزارة التعليم العالي والبحث العلمي. جامعة بغداد. معهد الهندسة الوراثية والتقنيات الحيوية للدراسات العليا.

الزوبعي ، سلام زكم علي . 2000. تحديد ايزان النتروجين و الفسفور و البوتاسيوم للبطاطا ( *Solanum tuberosum L.* ) في تربة رسوبية. اطروحة دكتوراه ، قسم التربة ، كلية الزراعة ، جامعة بغداد.

الصحاف ،فاضل حسين .1989. تغذية النبات التطبيقي .وزارة التعليم العالي والبحث العلمي .جامعة بغداد .ع.ص.: 224 .

الطائي، حسين خضير .2017. أزهار الداتورة . وزارة الزراعة العراقية. مجلة زراعية إرشادية . العدد الثاني . ع .ص . 1 -64.

المهداوي، أحمد ياسين حسن . 2004. تأثير مستويات النتروجين في نمو وحاصل وقلويدات ثلاثة انواع من الداتورة *Datura metel L.* و *Datura innoxia M.* و *Datura stramonium L.* رسالة ماجستير . كلية الزراعة . جامعة الأنبار .

الكبيسي ، مجاهد اسماعيل حمدان . 2019 . كتاب الوراثة الجزيئية وتطبيقاتها .

زكريا،بالل فاضل 2011. دراسة بعض التغيرات الفسلجية والوراثية لصفة تحمل الملوحة في بعض التراكيب الوراثية المنتخبتين الحنطة (*Triticum spp*) . رسالة ماجستير، كلية التربية الرازي- جامعة ديالى

## 2-6- المصادر الاجنبية

- Al- snafi**, A. E. 2017. Medical importance of *Datura fastuosa* (syn : *Datura metel*) and *Datura stramonium*- Areview. *Journal of Pharmacy*. 7 (2) : 43- 58.
- Al Taweel**, S. K., H. A. Almrani and T. K. Al- Rawi .2019. Inducation and flow cytometry, GC-MS identification of tetraploids through colchicines treatment in *Datura stramonium* L. *Plant Archives*. 19 (1): 241- 250.
- Alinejad**, S., V. Sarabi, A. R. S. Bakhtvari and H. Hashempour. 2020. Variation in physiological traits, yield and secondary metabolites of jimsonweed (*Datura stramonium* L.) under different irrigation regimes and nutrition systems. *Industrial Crops and Products*, 143: 1-22.
- Anderzej**,Z. C., Cieccko, Z and M. Wyszowski.2002. Glycoalkaloids content in potato tubers as affected by fertilization during vegetation and storage.*Olsztyn*,122:27-30.
- Barroso**, F. D. L., C. D. C. Milagres, P. C. R. Fontes and P. R. Cecon. 2021. Magnesium-influenced seed potato development and yield. *Journal of Plant Nutrition*, 44(2):296-308.
- Basha**, S. J., P. Pulli, k. Prabhakar, J Manjunaths, K. Krishna and C. C . Rao . 2020. Management of phosphorus and potassium in bidi tobacco (*Nicotiana tabacum* L.) under rainfed conditions. *Annals of Plant and Soil Research*, 22(4): 420-424.

- Black, C. A.** (1965). Method of soil analysis part 2. Chemical and microbiological properties, 9, 1387-1388.
- Bozhinova, R.** 2016. Heavy metal concentrations in soil and tobacco plants following long-term phosphorus fertilization. *Bulgarian Journal of Agricultural Science*, 22(1): 16-20.
- Carpa, R., D. V. Dumitru, R. F. Burtescu, M. C. Maior, C. Dobrotă and N. K. Olah.** 2017. Bio-chemical analysis of *Datura stramonium* extract. *Studia Universitatis Babes-Bolyai Biologia*, 62(2):5-19..
- Carstensen A., A. Herdean, S. B. Schmidt, A. Sharma, C. Spetea, M. Pribil.**2018. The Impacts of phosphorus deficiency on the photosynthetic electron transport chain. *Plant Physiol*, 177:271–284.
- Cinelli, M. A and A.D. Jones.** 2021. Alkaloids of the genus *datura*: Review of a rich resource for natural product discovery. *Molecules*, 26(9):1-29.
- Cristofano, F., C. El-Nakhel and Y. Rouphael.** 2021. Biostimulant substances for sustainable agriculture: Origin, operating mechanisms and effects on cucurbits, leafy greens, and nightshade vegetables species. *Biomolecules*, 11(8):1-16.
- Dewick, P. M.**2009. *Medicinal Natural Products: A Biosynthetic Approach* (3rd ed.).Angewandte Chemie-International Edition:2277-2277.
- Dhanasekaran, S., T. M. Doherty, J. Kenneth and T. B. T. Group.** 2010. Comparison of different standards for real-time PCR-based absolute quantification. *Journal of Immunological Methods*, 354(2): 34–39.

- Duhan, J. S., R. Kumar, N. Kumar, P. Kaur, K. Nehra and S. Duhan.**2017. Nanotechnology: The new perspective in precision agriculture. *Biotechnology Reports*, 15 (1):11-23.
- Elkins, K. M.** 2022. Pyrosequencing Primer Design for Forensic Biology Applications. *Springer*,2(1):1-17.
- Facchini, P. J.**2006. Regulation of alkaloid biosynthesis in plants. From: The alkaloids chemistry and biology. Cordell GA editor. 63 (1):9-11.
- Geng, G., I. Cakmak, T. Ren, Z. Lu and J. Lu.**2021. Effect of magnesium fertilization on seed yield, seed quality, carbon assimilation and nutrient uptake of rapeseed plants. *Crops Research*, 264:1-37.
- Ghannam, M. G. and M. Varacallo, M.**2018. *Biochemistry, Polymerase Chain Reaction*.
- Gokul, D., P. Poonkodi and A. Angayarkanni.**2021 . Effects of inorganic fertilizers, organic manures, biofertilizers and magnesium sulfate on yield attributes, yield and quality of chilli. *Int. J. Anal. Exp. Modal Anal*, 13:779-783.
- Green, M. R and J. Sambrook.** 2021 . *A Guide To Cloning The Products Of Polymerase Chain Reactions. Cold Spring Harbor Protocols*, pp:319-328.
- Guo, J., D. Starr and H. Guo.** 2020. Classification and review of free PCR primer design software. *Bioinformatics*, 36(22): 5263-5268 .
- Guru, T., V. N. ; R. T. and N. R. S.** (2015). Crop nutrition management with nano fertilizers. *Int. J. Environ. Sci. Technol*, 1(1):4-6

- Harborne, J. B.** 1973 . *Phytochemical Methods: A guide to Modern Techniques of Plant Analysis*. Chapman and Hall Ltd, London. P. 279.
- Harris, K. D., T. Vanajahl and S. Puvanitha.** 2018. Effect of foliar application of Boron and Magnesium on growth and yield of green chilli (*Capsicum annum L.*). *Foliar Application of Nutrients*, 12(1): 26-33.
- He, X., H. Deng .and H. M. Hwang.**2019. The current application of nanotechnology in food and agriculture. *Journal of food and drug analysis*, 27(1):1-21.
- Heenan, D. P and L. C. Campbell.** 1981. Influence of potassium and manganese on growth and uptake of magnesium by soybeans (*Glycine max L.*) Merr. cv Bragg. *Plant and Soil* ,61 (3): 447–456.
- Helaly, A. A. E and Hemat. A. A. EL-Bauome .** 2020 . Phosphorus Fertilizer Level Related with Nano-Chitosan Concentration and their Influence on Growth, Yield and Chemical Constituents of Hot pepper. *Journal of Plant Production*, 11(12):1311-1317.
- Hossain, M., R. Ahmed, M. Haque, M. Alam and M. Islam.**2019. Identification and validation of reference genes for real-time quantitative RT-PCR analysis in jute. *BMC molecular biology*, 20(1): 1-13.
- Huang, H., Y. Zhou, J. Zhang, W. Yao and G. Zhang.** 2019. Prenatal diagnosis of genetic diseases directly using paper-dried cord blood as the starting material for PCR. *Analytical and Bioanalytical Chemistry* , 411(26), 6825-6835.

- Ijarotimi, O. S., T. N. Fagbemi and O. F. Osundahunsi.** 2013. Comparative study of nutritional profiles and phytochemical components of raw, blanched and fermented flour from the leaves of *Moringa oleifera* Lam. *Malays . J. Nutr.* 19 (3) : 371 – 382 .
- Ilyas, M.** 2016. Interactive effect of calcium and magnesium on the growth and yield of tomato (*Lycopersicon esculentum* L.). *Pure and Applied Biology (PAB)*, 5(4): 876-882
- Ilyas, M. G., F. Ayub, M. Begum, A. Ahmad and A. A. Awan.**2018. Yield and Quality of Tomato (*Lycopersicon Esculentum*) As Influenced by Different Calcium and Magnesium Concentrations. *World Applied Sciences Journal*, 31 (9): 1560-1564.
- Izadi, Z., A. Biabani, H. Sabouri and B. Bahreininejad** 2022. The effect of different levels of urea and planting density on the phytochemical characteristics, alkaloids, and yield of the medicinal plant jimsonweed (*Datura stramonium* L.). *Crop Science*, 62(3): 1264-1276.
- Jin, S., J. Liu, Y. Jia, T. Han, X. Zhao, C Sun and L. Na.** 2021. The association of dietary flavonoids, magnesium and their interactions with the metabolic syndrome in Chinese adults: a prospective cohort study. *British Journal of Nutrition*, 126(6): 892-902.
- Johanson, R. E.** 1967. Comparison of methods for estimating cotton leaf area . *Agron. J.*, 59. : 493 – 494 .
- Kadri, K.**2019. Polymerase Chain Reaction (PCR): Principle and Applications. *Synthetic Biology-New Interdisciplinary Science*. IntechOpen, chapter13.

- Karunanathie, H., P. S. Kee, S. F. Ng, M.A. Kennedy and E.W.Chua.** 2022. PCR enhancers: Types, mechanisms, and applications in long-range PCR *Biochimie*, 197:130-143.
- Kaur, A and S. Kaur.** 2021. Effect of foliar application of macro and micro-nutrients on growth, yield and economics of tomato (*Lycopersicon esculentum*) cv. NS-524. *Journal of Pharmacognosy and Phytochemistry*, 10(1):2772-2775.
- Khan, I., K. Saeed and I. Khan.** 2017. Nanoparticles : properties, applications and toxicities. *Arabian journal of chemistry*, 12(7): 908-931.
- Kınay, A and H. Erdem.** 2020. the effect of increasing doses of magnesium sulphate applications on leaf yield and quality of Tobacco plant. *Turkish Journal of Agriculture-Food Science and Technology*, 9(3): 601-606.
- Kleczkowski, L. A and A. U. Igamberdiev.** 2021. Magnesium signaling in plants. *International Journal of Molecular Sciences*, 22(3):1-18.
- Kohnen, K. L and O. Kayser.** 2019. Tropane alkaloids: chemistry, pharmacology, biosynthesis and production. *Molecules*, 24(4): 2-23.
- Korkmaz, M. F., M. BOSTANCI, O. N. U. R. Hatice and E. Çağan.** 2019. (*Datura stramonium* L.) poisoning: a case report and review of the literature. *The European Research Journal*, 5(1), 186-188.
- Kramer, L.** 2009. Identification of PMT, TR1, and H6h Gene Polymorphism and Tropane Alkaloid Chemotypes in *Hyoscyamus Niger* L.(Black henbane). PhD Thesis.University of Massachusetts Amherst.



- Kuganathan, N** and S. Ganeshalingam. 2011. Chemical analysis of *Datura metel* leaves and investigation of the acute toxicity on grasshoppers and red ants. *Journal of Chemistry*, 8(1): 107-112.
- Kwon, M. C., Y. X. Kim, S. Lee, E. S. Jung, D. Singh, J. Sung and C. H. Lee.**2019. Comparative metabolomics unravel the effect of magnesium oversupply on tomato fruit quality and associated plant metabolism. *Metabolites*, 9(10):1-31.
- Li, L., K. H. Liu and J. Sheen.** 2021. Dynamic nutrient signaling networks in plants. *Annual Review of Cell and Developmental Biology*, 37:341-367.
- Li, Q., T. Zhua, R. Zhanga , Q. Bub , J. Yin and L. Zhang .**2020. Wansheng Chen Molecular cloning and functional analysis of hyoscyamine 6 $\beta$ -hydroxylase (H6H) in the poisonous and medicinal plant *Datura innoxia* mill. *Plant physiology and biochemistry*, 153: 11-19
- Lichtenthaler, H. K.**1987. Chlorophylls and carotenoids: pigments of photosynthetic biomembranes. In *Methods in enzymology* .Academic Press, 148:350-382.
- Lin, J., D. L. Smith, K. Esteves and S. Drury.**2019. Telomere length measurement by qPCR–Summary of critical factors and recommendations for assay design. *Psychoneuroendocrinology*, 99: 271-278 .
- Livak, K. J. and T. D. Schmittgen.** 2001. Analysis of relative gene expression data using real-time quantitative PCR and the 2<sup>-</sup>  $\Delta\Delta$ CT method. *methods*, 25(4): 402-408.

- Lowry, G. V., A. Avellan and L. M. Gilbertson.** 2019. Opportunities and challenges for nanotechnology in the agri-tech revolution. *Nature nanotechnology*, 14(6): 517-522.
- Luna, C. M and R. Bye.** 2011. Phylogeographic analysis of the genus *Datura* (Solanaceae) in continental Mexico. *Revista mexicana de biodiversidad*, 82(3): 977-988.
- Luo, Q., B. Chen, J. Xu, W. Ma, C. Lao, Y. Li and Z. Chen.**2018. Development of a SYBR green II real-time polymerase chain reaction for the clinical detection of the duck-origin goose parvovirus in China. *Intervirology*, 61(5): 230-236.
- Mutisya, M. D., Okello, V. S., Anyango, S. P., & Masila, M. J.** (2014). Effects of fresh leaf materials of *Sesbania sesban* (L.) Merrill on the growth and photosynthetic pigments of nightshade (*Solanum nigrum* L. var. *popolo*). *International Journal of Agronomy and Agricultural Research*, 4(5): 10-21
- Manohar, S., M. R. Choudhary, B. L. Yadav, S. Dadheech and S. Singh.** 2012. Analyzing the efficacy of organic and inorganic sources of nitrogen and phosphorus on growth of ashwagandha (*Withania somnifera*). *Journal of Horticultural Sciences*, 7(2): 161-165.
- Mohammed, H. A. and M. A. Al-naqeeb.**2020. Response of datura plant grown on different spacing to mineral, organic and nano-fertilizers. *plant archives*, 20(1): 2753-2761.
- Moradi , A ., M. Sharifia and A. Mousavi .**2020 . Induced production of tropane alkaloids, and expression of hyoscyamine 6b-hydroxylase (h6h) and putrescine N-methyl transferase (pmt2) genes in hairy

- roots and propagated plantlets of *Atropa belladonna* L. elicited by methyl jasmonate. *South African Journal of Botany*, 131: 328-334.
- Mullis, K. B. and F. A. Faloon.**1987. Specific synthesis of DNA in vitro via a polymerase-catalyzed chain reaction. In *Methods in enzymology* .Academic Press, 1555: 335-350.
- Muzhinji , N., Dube, J. P., De Haan, E. G., Woodhall, J. W. Van der Waals, J. E.** 2020 . Development of a TaqMan PCR assay for specific detection and quantification of *Pectobacterium brasiliense* in potato tubers and soil. *European Journal of Plant Pathology*, 158(2), 521-532.
- Nair, R., S. H. Varghese, B. G. Nair, T. Maekawa, Y. Yoshida and D. S. Kumar.**2010. Nanoparticulate material delivery to plants. *Plant science*, 179(3), 154-163.
- Nasir, S.** 2009. Influence of Triacntanol and Macronutrient Elements on the Growth, Yield and Alkaloid Content of *Withania somnifera* Dunal L. and *Datura innoxia* (Doctoral dissertation, Aligarh Muslim University).
- Nasir, S and M. M. A. Khan.** 2012. Critical dose of nitrogen and phosphorus enhanced growth, yield and alkaloid content in *Withania somnifera* L. *Journal of plant nutrition*, 35(11):1705-1724.
- Navasi, F., B. H. Naghdi Badi, A. Mehrafarin, S. Rezazadeh, S. Mustafavi and M. Ghorbanpour.** 2019. A comprehensive overview on valuable tropane alkaloids: scopolamine, atropine, and hyoscyamine. *Journal of Medicinal Plants*, 18(70):21-44 .

- Page, A. I. ; H. Miller and D. R. Keeney . 1982 . Methods of Soil Analysis part2 . Chemical and Microbiological Properties. American Soc. Agron. Midison. Wisconsin. USA. P: 732.**
- Palazón, J., O. A. H. Navarro, L. Vazquez and M. H. Mirjalili. 2008.** Application of metabolic engineering to the production of scopolamine. *Molecules*, 13(8):1722-1742.
- Panda, A. C and M. Gorospe. 2018.** Detection and analysis of circular RNAs by RT-PCR. *Bio-protocol*, 8(6): 22-48.
- Plank, K. H and K. G. Wagner. 1986.** Determination of hyocyamine and scopolamine in *Datura innoxia* Plants by high performance liquid chromatography. *Zeitschrift für Naturforschung*. 41 : 391 – 395 .
- Pow. 2020 . Plants of the World Online <http://www.plantsoftheworldonline.org/> Facilitated by the Royal Botanic Gardens, Kew. Published on the Internet.**
- Preuss, C. V. and McLendon. K 2021.** Atropine. StatPearls Publishing. pp: 218.
- Pyne, M. E., L. Narcross and V. J. Martin. 2019.** Engineering plant secondary metabolism in microbial systems. *Plant physiology*, 179(3): 844-861
- Qiu, F., Y. Yan, J. Zeng, J. P. Huang, L. Zeng, W. Zhong and Z.Liao. 2021.**Biochemical and metabolic insights into hyosecyamine dehydrogenase. *ACS Catalysis*, 11(5):2912-2924.
- Ruttkey, B., O. Krystofova, L. Nejdil and V. Adam.2017.** Nanoparticles based on essential metals and their phytotoxicity. *Journal of Nanobiotechnology*, 15(1):1-19.

- Schlesinger, F., R. D. Salama , R. Rikanati, O. Sertchook. M.Tal, A. Yahyaa, M. Faigenboim, M. Ibdah, E. Inbar and S. Lewinsohn.** 2021. Further Insights on the *Datura innoxia* Hyoscyamine 6 $\beta$ -Hydroxylase (DiH6H) Based on Biochemical Characterization and Molecular Modeling. *American Journal of Plant Sciences*, 12(01): 53-72.
- Shakeel, M., A. Rodriguez, U. B. Tahir and F. Jin, F.**2018. Gene expression studies of reference genes for quantitative real-time PCR: an overview in insects. *Biotechnology Letters*, 40(2):227-236.
- Sharma, M., I. Dhaliwal, K. Rana, A. K. Delta and P. Kaushik.** 2021. Phytochemistry, Pharmacology, and Toxicology of *Datura* Species. *Antioxidants*, 10(8):1291.
- Shi, Z., W. Zou, Z. Zhu, Z. Xiong, S. Li, P. Dong and Z. Zhu.**2022. Tropane alkaloids (hyoscyamine, scopolamine and atropine) from genus *Datura*: extractions, contents, syntheses and effects. *Industrial Crops and Products*, 186:115-128.
- Shin, S. K., Y. Lee, H. Kwon, J.S.Rhee and J. K. Kim.** 2021. Validation of direct boiling method for simple and efficient genomic DNA extraction and PCR- based macroalgal species determination. *Journal of Phycology*, 57(4):1368-1372 .
- Soni, P. A., A. Siddiqui, J. Dwivedi and V. Soni.**2012. Pharmacological properties of *Datura stramonium* L. as a potential medicinal tree : an overview . *Asian Pac J Trop Biomed*, 2 (12) : 1002 – 1008 .
- Sreejith, K. R., L. Gorgannezhad, J. Jin, C. H. Ooi, H. Stratton, D. V. Dao and N. T. Nguyen.**2019. Liquid marbles as biochemical

- reactors for the polymerase chain reaction. *Lab on a Chip*, 19(19): 3220-3227.
- Steel** , R. G. D. and J. H. Torrie . 1980 . Principles and Procedures of Statistics . 2 nd ed Mc- Graw Hill Book Co., Inc. New York. pp : 481 .
- Subbotin**, S. A. 2020. Molecular Identification of Nematodes Using Polymerase Chain Reaction (PCR). *Techniques for Work with Plant and Soil Nematodes*, 218 .
- Tuwei**, C. C. 2013. Effect of phosphate fertilizer rates on growth and leaf yield of african nightshade genotypes in uasin gishu county. PhD Thesis. University of Eldoret.
- Usman**, M., M. Farooq, A. Wakeel, A. Nawaz, S. A. Cheema, H. Rehman and M. Sanaullah. 2020. Nanotechnology in agriculture: Current status, challenges and future opportunities. *Science of the Total Environment*, 7(21):1-16.
- VanGuilder**, H. D. , K. E. Vrana and W. M. Freeman. 2008. Twenty-five years of quantitative PCR for gene expression analysis. *Biotechniques*, 44(5):619–626.
- Vashvaei**, R. M., A. Ghanbari, M. R. Asgharipour, M. Ramroudi and M. Dahmardeh. 2019. Impact of different nutritional systems on vegetative and biochemical characteristics, yield, and yield components of thorn apple (*Datura stramonium* L.). *Journal of Crops Improvement*, 20(4):1-22.
- Velázquez-Márquez**, S., I. M. De-la-Cruz, R. Tapia-López and J. Núñez-Farfán. 2021. Tropane alkaloids and terpenes synthase genes of *Datura stramonium* (Solanaceae). *PeerJ*, 9 (12): 1-16.

- Wang Y., M. Frei M.**2011. Stressed food – the impact of abiotic environmental stresses on crop quality. *Agric. Ecosyst. Environ*, 141:271–286.
- Wang, H., H. Wang, H. Shao and X. Tang.** 2016. Recent advances in utilizing transcription factors to improve plant abiotic stress tolerance by transgenic technology. *Frontiers in Plant Science*, 7: 67-80.
- Wei, F., Z. Shi , R. Wan , Y. li, F. Wei, Z. Shi ,Y. Li , Y. Wang , W .An ,K. Qin , Y. Cao , X. Chen , X.Wang , L. Yang , G. Dai and J. Feng .** 2020. Impact of phosphorus fertilizer level on the yield and metabolome of goji fruit. *Scientific reports*, 10(1):1-11.
- White, J. C., B. Ying, L. A. Newman and X. Ma.**2013. Nanoparticle contamination of Agricultural crop species. *Nanoscale Science and Engineering Grantees Conference*, 1 (2): 4 – 6 .
- Wu, N., D. Jian, M. Xiang, M. Chen, X. Lan, Z. Liao and X. Liu.** 2019. Biochemical characterization reveals the functional divergence of two tropinone reductases from *Przewalskia tangutica*. *Biotechnology and Applied Biochemistry*, 66(4):597-606.
- Yaseen, S. E and E. M. Mutwali.** 2021. Allelopathic Effect of *Datura stramonium* on Germination and Some Growth Parameters of Swiss Chard (*Beta vulgaris* var). *GSC Advanced Research and Reviews*, 10(1): 90-95.
- Zhou, Z., X. Liu, K. Sun, C.Lin, J. Ma, M. He and W. Ouyang.**2019. Persulfate-based advanced oxidation processes (AOPs) for organic-

contaminated soil remediation: A review. Chemical Engineering Journal, 372:836-851.

**Page**, A. I. ; H. Miller and D. R. Keeney . 1982 . Methods of Soil Analysis part2 . Chemical and Microbiological Properties. American Soc. Agron. Midison. Wisconsin. USA. P: 732.

**Steel** , R. G. D. and J. H. Torrie . 1980 . Principles and Procedures of Statistics . 2 nd ed Mc- Graw Hill Book Co., Inc. New York. pp : 481 .



7- الملاحق

ملحق 1: تحليل التباين وفق متوسطات المربعات (M S) لتأثير التسميد الكيماوي الفوسفاتي والرش بالمغسيوم النانوي و التداخل بينهما للصفات المدروسة

التعبير النسبي لجين TR1 لجذور الدائرة عند مرحلة 8-7 ورقة	CT TR1 gene لجذور الدائرة عند 8-7 ورقة	التعبير النسبي لجين PMT لجذور الدائرة عند مرحلة 8-7 ورقة	CT PMT gene لجذور الدائرة عند 8-7 ورقة	درجات الحرية	مصادر التباين
0.78616	63.6996	0.50311	65.2600	2	القطاعات
*0.84428	*3.1887	*0.73859	*2.9776	3	التسميد الفوسفاتي
0.00204	0.1555	0.00003	0.1638	3	رش المغسيوم النانوي
0.00128	0.1046	0.00044	0.1083	9	التسميد الفوسفاتي X رش المغسيوم النانوي
0.02672	0.1350	0.02537	0.1817	30	الخطأ التجريبي
التعبير النسبي لجين PMT لجذور الدائرة عند مرحلة الإزهار	CT PMT gene لجذور الدائرة عند الإزهار	التعبير النسبي لجين H6H لجذور الدائرة عند مرحلة 8-7 ورقة	CT H6H gene لجذور الدائرة عند 8-7 ورقة	درجات الحرية	مصادر التباين
0.008976	64.64128	0.03469	66.37163	2	القطاعات
*1.242572	*6.12971	0.00155	0.01797	3	التسميد الفوسفاتي
0.001515	*0.20737	0.00456	*0.14674	3	رش المغسيوم النانوي
0.001101	0.08438	0.00392	*0.11311	9	التسميد الفوسفاتي X رش المغسيوم النانوي
0.001392	0.08530	0.01379	0.06007	30	الخطأ التجريبي
التعبير النسبي لجين H6H لجذور الدائرة عند مرحلة الإزهار	CT H6H gene لجذور الدائرة عند الإزهار	التعبير النسبي لجين TR1 لجذور الدائرة عند مرحلة الإزهار	CT TR1 gene لجذور الدائرة عند الإزهار	درجات الحرية	مصادر التباين
0.0016302	68.22717	0.022700	65.54240	2	القطاعات
*1.2568348	*6.07270	*1.183926	*5.51575	3	التسميد الفوسفاتي
0.0010093	*0.19290	0.001029	*0.23549	3	رش المغسيوم النانوي
0.0009780	0.08934	0.001017	0.09845	9	التسميد الفوسفاتي X رش المغسيوم النانوي
0.0006679	0.06662	0.002737	0.09284	30	الخطأ التجريبي
التعبير النسبي لجين TR1 لاوراق الدائرة عند مرحلة 8-7 ورقة	CT TR1 gene لاوراق الدائرة عند 8-7 ورقة	التعبير النسبي لجين PMT لاوراق الدائرة عند مرحلة 8-7 ورقة	CT PMT gene لاوراق الدائرة عند 8-7 ورقة	درجات الحرية	مصادر التباين
0.04678	66.05403	0.02062	66.79145	2	القطاعات
0.00152	0.02036	0.00109	0.02599	3	التسميد الفوسفاتي
0.00234	*0.15501	0.00197	*0.15366	3	رش المغسيوم النانوي
0.00316	0.10666	0.00445	0.10502	9	التسميد الفوسفاتي X رش المغسيوم النانوي
0.01315	0.06599	0.01443	0.06319	30	الخطأ التجريبي

ملحق 2: تحليل التباين وفق متوسطات المربعات (M S) لتأثير التسميد الكيماوي الفوسفاتي والرش بالمغسيوم النانوي و التداخل بينهما للصفات المدروسة

التعبير النسبي لجين PMT لأوراق الداتورة عند مرحلة الأزهار	CT PMT gene لأوراق الداتورة عند الأزهار	التعبير النسبي لجين H6H لأوراق الداتورة عند مرحلة 8-7 ورقة	CT H6H gene لأوراق الداتورة عند 8-7 ورقة	درجات الحرية	مصادر التباير
0.03533	66.71213	0.03940	65.33600	2	القطاعات
0.00096	0.02875	0.00234	0.01445	3	التسميد الفوسفاتي
0.00226	*0.15001	0.00007	*0.18276	3	رش المغسيوم النانوي
0.00402	0.10410	0.00275	0.10767	9	التسميد الفوسفاتي X رش المغسيوم النانوي
0.01418	0.06300	0.01270	0.06691	30	الخطأ التجريبي
التعبير النسبي لجين H6H لأوراق الداتورة عند مرحلة الأزهار	CT H6H gene لأوراق الداتورة عند الأزهار	التعبير النسبي لجين TRI لأوراق الداتورة عند مرحلة الأزهار	CT TRI gene لأوراق الداتورة عند الأزهار	درجات الحرية	مصادر التباير
0.00312	69.59419	0.03676	65.94317	2	القطاعات
*0.04075	0.11761	0.00131	0.02104	3	التسميد الفوسفاتي
*0.22237	*0.37900	0.00240	*0.16004	3	رش المغسيوم النانوي
*0.03218	*0.15541	0.00312	0.10931	9	التسميد الفوسفاتي X رش المغسيوم النانوي
0.01374	0.08132	0.01376	0.06574	30	الخطأ التجريبي
المساحة الورقية (سم <sup>2</sup> )	عدد الأوراق (ورقة نبات <sup>-1</sup> )	عدد الأفرع (فرع نبات <sup>-1</sup> )	ارتفاع النبات (سم)	درجات الحرية	مصادر التباير
4697915	22849.0	0.24	3.3	2	القطاعات
*1123671	*16471.9	*1481.63	*1766.1	3	التسميد الفوسفاتي
*472304	*4185.1	0.12	42.2	3	رش المغسيوم النانوي
*367103	*1336.5	0.08	1.3	9	التسميد الفوسفاتي X رش المغسيوم النانوي
94072	446.9	70.14	226.0	30	الخطأ التجريبي
الفسفور في الأوراق (%)	النترجين في الأوراق (%)	كلوروفيل b (ملغم غم <sup>-1</sup> )	كلوروفيل a (ملغم غم <sup>-1</sup> )	درجات الحرية	مصادر التباير
0.50767	3.57031	394.38	777.58	2	القطاعات
*0.45030	*1.99536	*306.96	*806.11	3	التسميد الفوسفاتي
*0.34567	*0.75598	*157.52	*383.20	3	رش المغسيوم النانوي
*0.07148	*0.07609	*22.44	*65.80	9	التسميد الفوسفاتي X رش المغسيوم النانوي
0.02740	0.01475	10.07	16.06	30	الخطأ التجريبي
عدد الثمار (ثمرة نبات <sup>-1</sup> )	حاصل الأوراق (كغم هـ <sup>-1</sup> )	المغسيوم في الأوراق (%)	البوتاسيوم في الأوراق (%)	درجات الحرية	مصادر التباير
0.01	7	0.48130	3.60119	2	القطاعات
*244.75	*236794	*0.18487	*0.69963	3	التسميد الفوسفاتي
6.74	*19146	*0.45274	*0.47427	3	رش المغسيوم النانوي
21.20	*3298	*0.06454	*0.06977	9	التسميد الفوسفاتي X رش المغسيوم النانوي
22.53	1459	0.02484	0.01676	30	الخطأ التجريبي

ملحق 3: تحليل التباين وفق متوسطات المربعات (M S) لتأثير التسميد الكيماوي الفوسفاتي والرش بالمغسيوم النانوي و التداخل بينهما للصفات المدروسة

مصادر التباين	درجات الحرية	عدد البذور (بذرة نبات <sup>1</sup> )	وزن 1000 بذرة (غم)	حاصل البذور الكلي (غم هـ <sup>1</sup> )	تركيز الآتروبيين في الأوراق (ملغم غم <sup>1</sup> )
القطاعات	2	565.7	0.266	14096.3	350.20
التسميد الفوسفاتي	3	*12690.5	1.779	*98418.0	*1750.19
رش المغسيوم النانوي	3	*11834.6	*29.670	*19912.6	*365.61
التسميد الفوسفاتي X رش المغسيوم النانوي	9	*3418.7	*6.584	*2797.0	*59.21
الخطأ التجريبي	30	720.4	1.658	965.3	25.68
مصادر التباين	درجات الحرية	تركيز الهبوسامين في الأوراق (ملغم غم <sup>1</sup> )	تركيز السكوبولامين في الأوراق (ملغم غم <sup>1</sup> )	تركيز الآتروبيين في البذور (ملغم غم <sup>1</sup> )	تركيز الهبوسامين في البذور (ملغم غم <sup>1</sup> )
القطاعات	2	10737.4	2069.79	919.91	4685.8
التسميد الفوسفاتي	3	*5248.9	*1017.37	*861.67	*8133.1
رش المغسيوم النانوي	3	*1335.9	*1693.23	*851.42	*1302.2
التسميد الفوسفاتي X رش المغسيوم النانوي	9	*286.5	*161.50	*58.86	*254.3
الخطأ التجريبي	30	117.7	56.14	24.95	110.2
مصادر التباين	درجات الحرية	تركيز السكوبولامين في البذور (ملغم غم <sup>1</sup> )	نسبة القلويدات في الأوراق (%)	نسبة القلويدات في البذور (%)	حاصل القلويدات في الأوراق (كغم هـ <sup>1</sup> )
القطاعات	2	566.1	108.417	199.837	8.17
التسميد الفوسفاتي	3	*8922.9	*212.919	*180.841	*4977.35
رش المغسيوم النانوي	3	*4223.1	*79.884	*64.164	*5269.61
التسميد الفوسفاتي X رش المغسيوم النانوي	9	*509.7	*12.912	*4.973	*1112.47
الخطأ التجريبي	30	218.4	5.632	2.172	27.43
مصادر التباين	درجات الحرية	حاصل القلويدات في البذور (كغم هـ <sup>1</sup> )			
القطاعات	2	1823.79			
التسميد الفوسفاتي	3	*737.14			
رش المغسيوم النانوي	3	*885.42			
التسميد الفوسفاتي X رش المغسيوم النانوي	9	104.40			
الخطأ التجريبي	30	97.10			

## ملحق (4) الجينات الداخلة في الدراسة ورمزها الدولي ووظيفتها الفسولوجية

الوظيفة	اسم الجين	Gene ID	رمز الجين
بناء انزيم المسؤول putrescine N- methyltransferase عن التخليق الحيوي للاتروبين	putrescine N- methyltransferase	AJ583514.1	<b>PMT</b>
بناء انزيم Tropinone reductase المسؤول عن التخليق الحيوي للبيوسامين	Tropinone reductase	L20475.1	<b>TRI</b>
بناء انزيم hyoscyamine 6 beta-hydroxylase المسؤول عن التخليق الحيوي للسكوبولامين	hyoscyamine 6 beta- hydroxylase	JX258921.1	<b>H6H</b>



زهرة الداتورة



انبات الداتورة مرحلة 2-3 ورقة



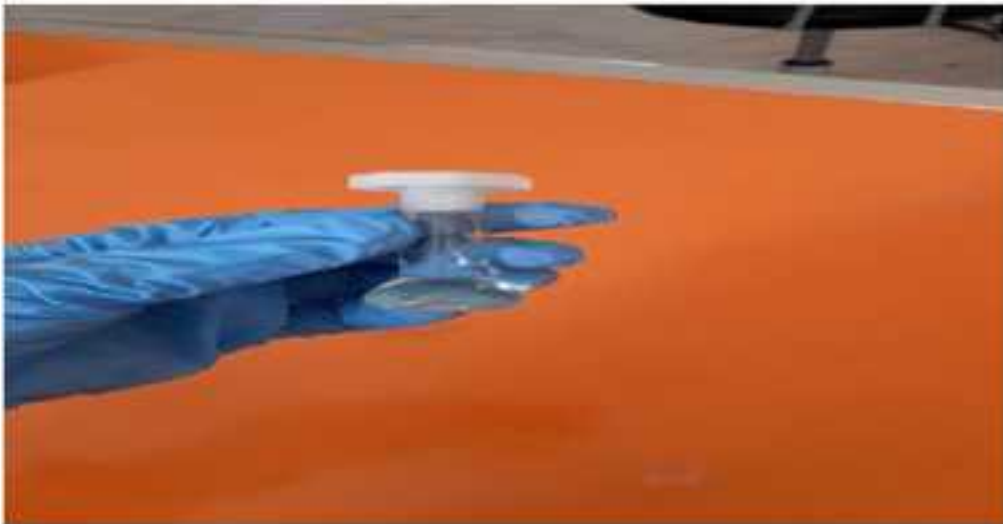
شغل نبال الالالورة



الجزء الخضرى للالورة



استخلاص المادة الفعالة



المواد الفعالة للداتورة



شكل يوضح استخلاص وتنقية المواد الفعالة للداتورة



اوراق الداتورة



## Summary

---

### Summary

A field experiment was carried out during the 2021 agricultural season in one of the experimental fields Ibn Al-Bitar Vocational High School located in Kerbala Governorate, in order to study the effects of phosphate fertilizers and spraying with Nano-magnesium on a number of genes responsible for controlling the synthesis of the active substance (Alkaloids), growth and yield traits of *Datura* plant. The experiment was carried out with three replications according to randomized complete block design with two factors. The first factor included four levels of phosphate fertilizers: 0, 25, 50 and 75 kg P ha<sup>-1</sup>, while the second factor included the spraying of Nano-magnesium with four concentrations: 0 (water distilled only), 60, 120 and 180 mg Mg L<sup>-1</sup>. The results showed the following:

1- Phosphate fertilizer at the level 75 kg.P ha<sup>-1</sup> caused a significant increase in plant height, number of branches, number of leaves, leaf area, chlorophyll a and b concentrate and leaf yield of *Datura* plant, superior to the control treatment (no addition) which gave the lowest averages.

2- Phosphate fertilizer at the level 50 and 75 kg P ha<sup>-1</sup> caused a significant increase in the number of fruits, the number of seeds, and the total seed yield of *Datura* plants, outperformed the control treatment (no phosphate addition), which produced the lowest averages.

3- Phosphate fertilizer caused a significant decrease in the concentration of Atropine, Hyosamine and Scopolamine in seeds and leaves of *Datura* plant. The treatment of 75 kg p.ha<sup>-1</sup> caused the maximum decrease, as it gave averages for leaves and for seeds

## Summary

---

4- Treatment 25 and 50 kg P ha<sup>-1</sup> gave the highest yield of alkaloids from Datura leaves, and treatment 25 kg P ha<sup>-1</sup> gave the highest yield of alkaloids from seeds .

5- The spraying of Nano-magnesium had no significant effect on the height and number of Datura branches, while the concentration of 180 mg L<sup>-1</sup> gave the highest average number of leaves, leaf area, chlorophyll a and b concentration, and leaf yield, superior to the control treatment (no spray) that gave the lowest averages.

6- The spraying of Nano-magnesium at a concentration of 180 mg Mg L<sup>-1</sup> caused a significant increase in the number of seeds, the weight of 1000 seeds and the total seed yield of Datura , superior to the control treatment (no spraying), which gave the lowest averages.

7- The spraying of Nano-magnesium caused a significant decrease in the concentration of Atropine, Hyosamine, and Scopolamine in seeds and leaves. As the treatment caused 180 mg Mg L<sup>-1</sup>, the maximum decrease, and for seeds

8- The concentrations of 0 and 120 mg Mg L<sup>-1</sup> gave the highest yield of alkaloids from the leaves, and the concentration of 120 mg Mg L<sup>-1</sup> gave the highest yield of alkaloids from the seeds

9- Phosphate fertilizer caused a significant decrease in the expression of PMT, TR1, and H6H genes, while the effect of spraying Nano-magnesium was limited to reducing the expression of the H6H gene. The response of H6H gene expression either to phosphorous or Nano magnesium in the roots or leaves of Datura was only during the flowering stage, while no changes were observed at the stage of 7-8 leaves.

### Summary

---

10- Phosphate fertilizer at a level  $50 \text{ kg P ha}^{-1}$  interaction with spraying Nano-magnesium at a concentration of  $120 \text{ mg Mg L}^{-1}$  achieved the highest yield of alkaloids, while the two treatments  $50$  and  $75 \text{ kg P ha}^{-1}$  interaction with spraying Nano-magnesium at a concentration of  $180$  gave The highest yield of total Datura seeds .



**University of Kerbala**

**The Republic of Iraq**

**Ministry of Higher Education and Scientific Research**

**University of Kerbala \_ Faculty of Agriculture**

**Field Crops Department**

**Effect of Phosphate Fertilizers and Spraying with Magnesium on Growth Characteristics, Yield, Active Substance, and Gene Expression of Datura stramonium L.**

**A thesis submitted to the Council of the Faculty of Agriculture / University of Kerbala, which is part of the requirements for obtaining a master's degree in agricultural sciences / field crops**

**By**

**Shrooq Khalifa Mohammed Al-Tamimi**

**Supervised by**

**Lect. Dr. Ali Nadhim Farhood**

**Rabia Alawwal 1444**

**Sep.2022**